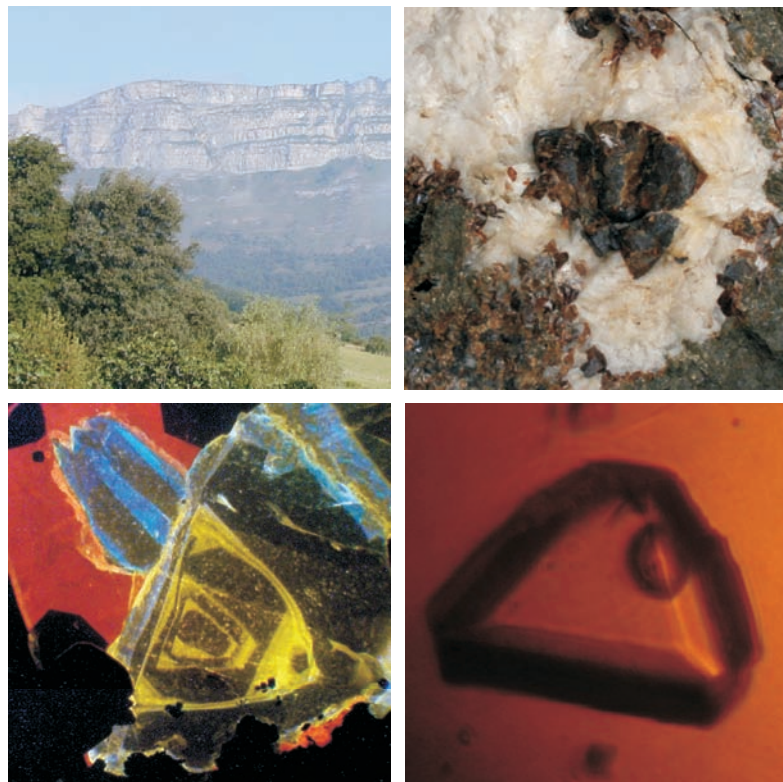


MINERALIZACIONES DE Zn-Pb ASOCIADAS A LOS DIAPIROS DE MURGUÍA Y ORDUÑA (CUENCA VASCO-CANTÁBRICA)



Tesis doctoral
Joaquín Perona Moreno

Directores:
Esteve Cardellach López
Àngels Canals Sabaté

Unitat de Cristal·lografia i Mineralogia
Departament de Geologia
Facultat de Ciències
2016

UAB
Universitat Autònoma de Barcelona

Fotos 132 y 133: Muestra DO-03-05 (Montaleón). Cristal centimétrico de esfalerita (Sp I), parcialmente reemplazado por dolomita IIIb. La pirita es una fase tardía respecto a la esfalerita (existen concentraciones de pirita en la interdase esfalerita-dolomita).

Foto 134: Muestra DO-03-00 (Montaleón). Fractura en un cristal de esfalerita no luminiscente (Sp I), rellena de dolomita IV (luminiscencia roja) y esfalerita tardía luminiscente (Sp II).

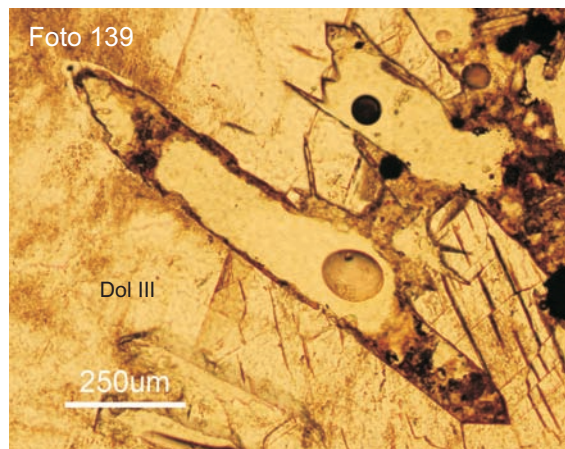
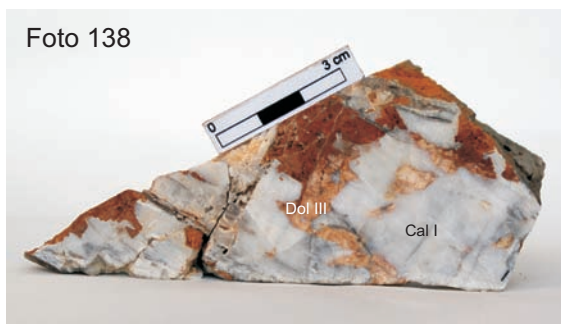
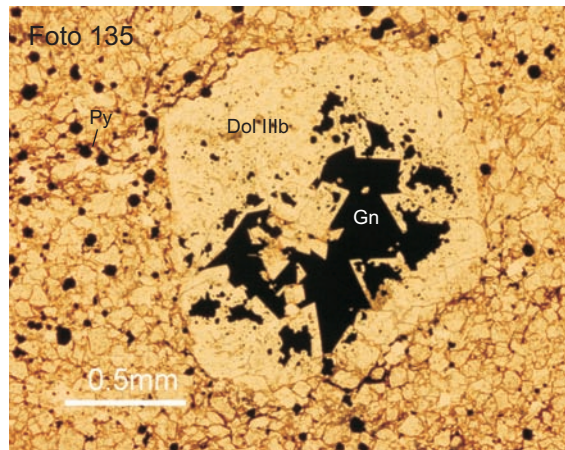
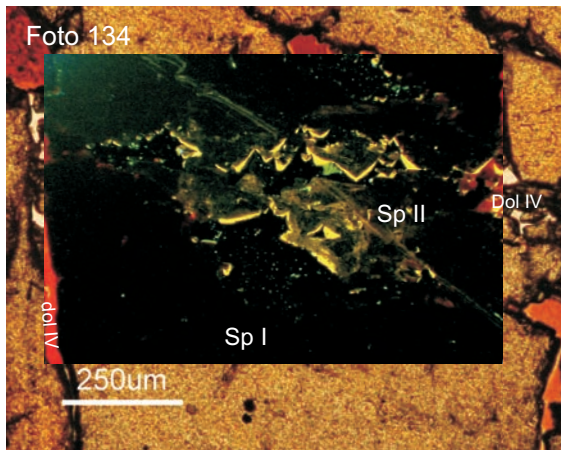
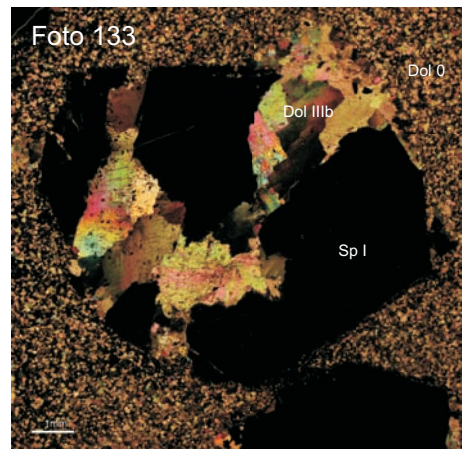
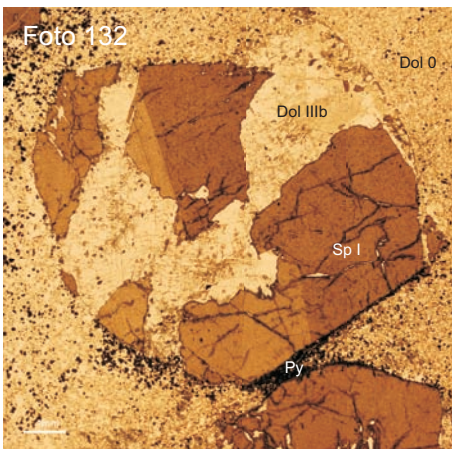
Foto 135: Muestra DO-03-05 (Montaleón). Asociación de galena (Gn) y dolomita IIIb (Dol IIIb) reemplazando completamente a un antiguo cristal de esfalerita. Se observa también la presencia de pirita (Py) diseminada.

Foto 136: Muestra DO-04-02 (Paúl). Mineralización de sulfuros masivos, constituida principalmente por pirita / marcasita (Py / Mrc) y cantidades menores de esfalerita de grano fino (Sp I). Asociados a los sulfuros masivos hay filones de esfalerita de mayor tamaño de grano (Sp II), galena y dolomita saddle (Dol III).

Foto 137: Concentrado de sulfuros extraídos de las diseminaciones en niveles de lutitas negras. Están constituidos principalmente por pirita (Py), con cantidades menores de esfalerita (Sp) y galena (Gn). La imagen muestra la fracción de mayor tamaño.

Foto 138: Muestra Paul-1 6,00, correspondiente a un filón de calcita espática (Cal I) y dolomita saddle (Dol III).

Foto 139: Muestra DO-04-01 (Paúl). Porosidad móldica en la dolomita III. Se observó la presencia de abundantes cristales de yeso en los niveles de lutitas negras. Inicialmente se interpretó que eran el resultado de la alteración supergénica de los sulfuros, pero la existencia de estos moldes sugiere que tal vez ya existían en el encajante cuando la mineralización se desarrolló.

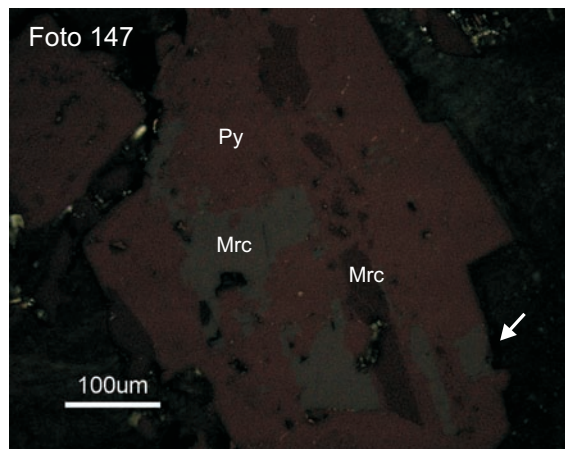
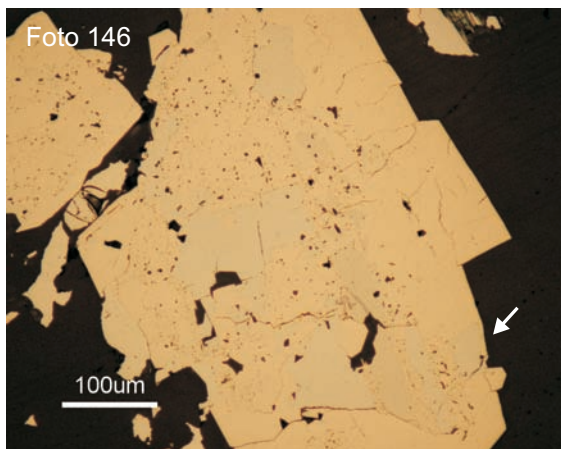
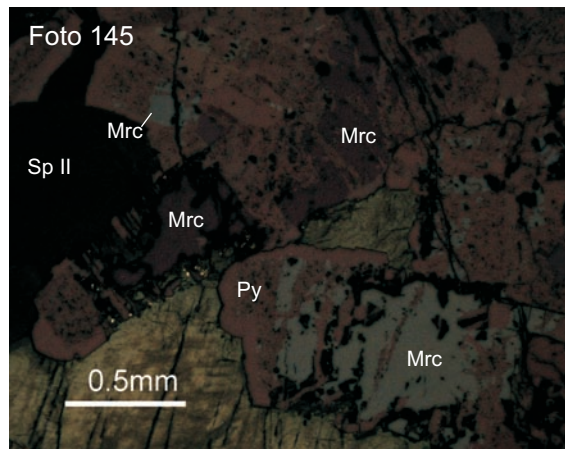
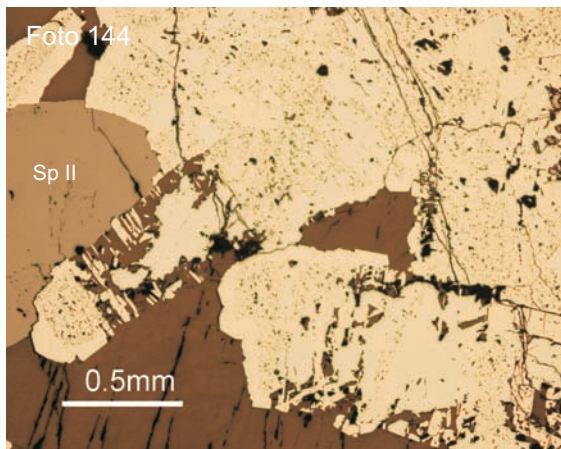
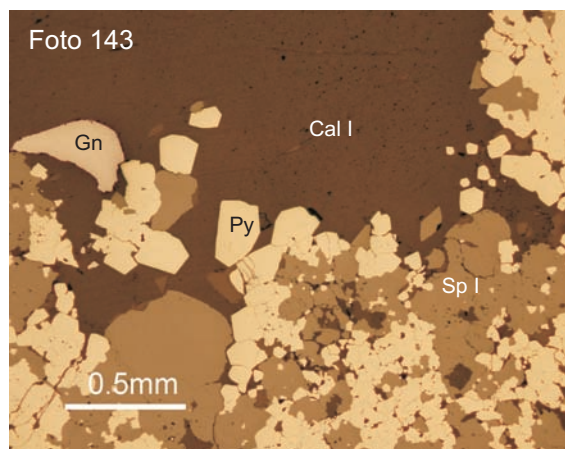
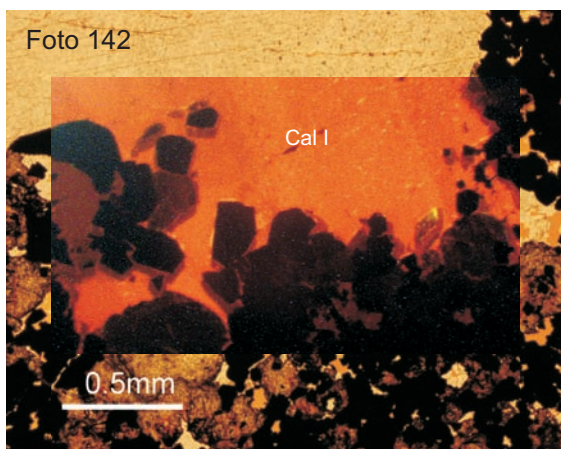
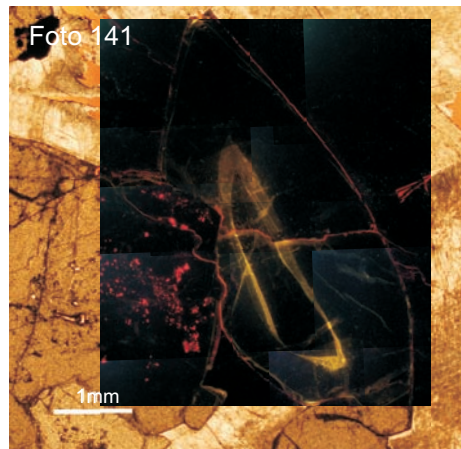
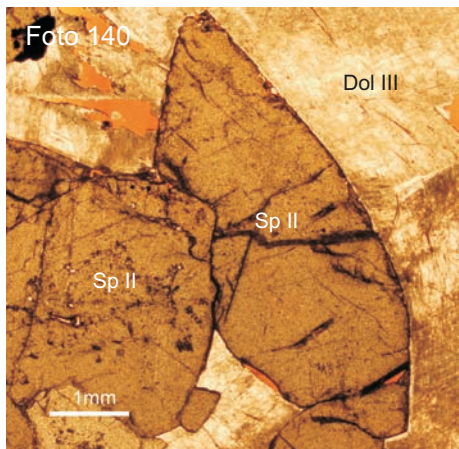


Fotos 140 y 141: Muestra DM-04-01 (Paúl). Cristales de esfalerita (Sp II), con una catodoluminiscencia tenue de color amarillo. Están englobados en dolomita *saddle* no luminiscence (Dol III). Los puntos de color rojo corresponden a calcita tardía.

Fotos 142 y 143: Muestra Paul-2 12,70. La calcita espática (Cal I) asociada a sulfuros masivos forma grandes cristales (más de 5 mm de tamaño), y presenta una catodoluminiscencia anaranjada homogénea. Los sulfuros masivos están constituidos por esfalerita no luminiscente (Sp I), pirita (Py) y galena (Gn).

Fotos 144 y 145: Muestra DO-01-0 (Paúl). Cristales prismáticos de marcasita (Mrc) parcialmente reemplazados por pirita (Py). Luz reflejada con polarizadores paralelos (arriba) y cruzados (abajo). Se ha modificado el ángulo de los polarizadores de 90° a 87° para distinguir con más claridad pirita de marcasita.

Fotos 146 y 147: Muestra Paul-2 15,50. Cristal prismático de marcasita (Mrc) parcialmente reemplazado por pirita (Py). En el centro del cristal, la pirita muestra un aspecto cariado, mientras que en el borde, es más nítida. Se indica un cristal de marcasita en el borde nítido de pirita (ver indicación con flecha).

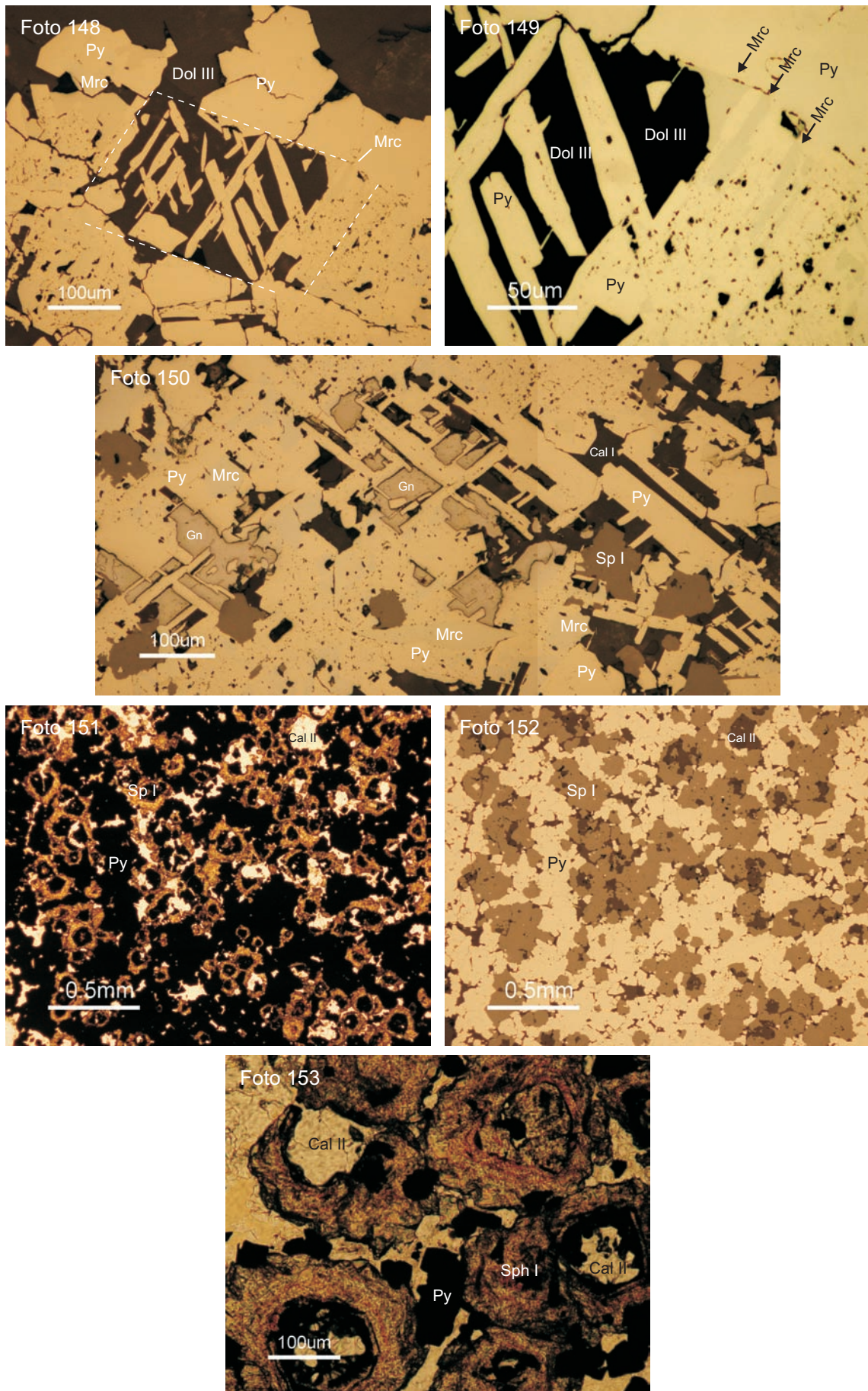


Fotos 148 y 149: Muestra DO-04-01 (Paúl). Espectacular textura en parrilla de cristales de Pирита (Py) que se han desarrollado a favor de la exfoliación de la dolomita *saddle* (Dol III), a la que reemplaza. En el interior de la pirita se observan inclusiones de marcasita (Mrc). En la ampliación, se aprecia que los cristales de marcasita asociados a la pirita también son paralelos a la exfoliación de la dolomita.

Foto 150: Muestra DO-04-01 (Paúl). Textura en parrilla generada por cristales de pirita que se desarrollan a favor de la exfoliación de la calcita espática (Cal I). En los intersticios generados por el entramado de pirita, parte de la calcita es reemplazada por galena (Gn) y esfalerita (Sp). En el interior de la pirita (Py) existen numerosas inclusiones de marcasita (Mrc).

Fotos 151 y 152: Muestra Paul-2 12,70. Nivel de sulfuros masivos constituidos por esfalerita (Sp I) y pirita (Py). Los cristales de esfalerita presentan zonación de crecimiento, con un núcleo más oscuro. El mineral transparente intersiticial es calcita esparítica (Cal II).

Foto 153: Muestra Paul-2 12,70. Detalle correspondiente a la muestra de la foto 151, en la que se observa que los núcleos de esfalerita I (Sp I) suelen ser reemplazados por calcita esparítica (Cal II).



Fotos 154 y 155: Muestra DO-04-01 (Paúl). Cristal de dolomita *saddle* (Dol III) de 7 mm de tamaño, englobado en sulfuros masivos (esfalerita I y pirita / marcasita). Su relación con los sulfuros masivos sugiere que éstos son posteriores, y se desarrollan siguiendo los límites intercristalinos de la dolomita. Posteriormente, cristalizan galena (Gn) y esfalerita II (Sp II), que nuclean en la interfase dolomita-sulfuros masivos, y que reemplazan al carbonato. Se observa un halo de impregnación alrededor de la galena (¿hidrocarburos?).

Foto 156 y 157: Muestra Paul-2 12,70. Porosidad móldica rellena por betún sólido. En la imagen con luz reflejada (abajo) se comprueba que el betún engloba un conjunto de fragmentos brechificados, constituidos por minerales transparentes y por sulfuros. También se observan algunos cristales de pirita y esfalerita de mayor tamaño que los detritos.

Foto 158: Muestra DBA-01-01 (Barambio). Mineralización filoniana constituida por cuarzo (Qz), dolomita / ankerita (Dol / Ank) y esfalerita (Sp).

Foto 159: Muestra DBA-01-03 (Barambio). Mineralización filoniana constituida por cuarzo (Qz), dolomita / ankerita (Dol / Ank), esfalerita (Sp), galena (Gn) y calcopirita (Ccp), dispuestos siempre en este orden de borde a centro del filón.

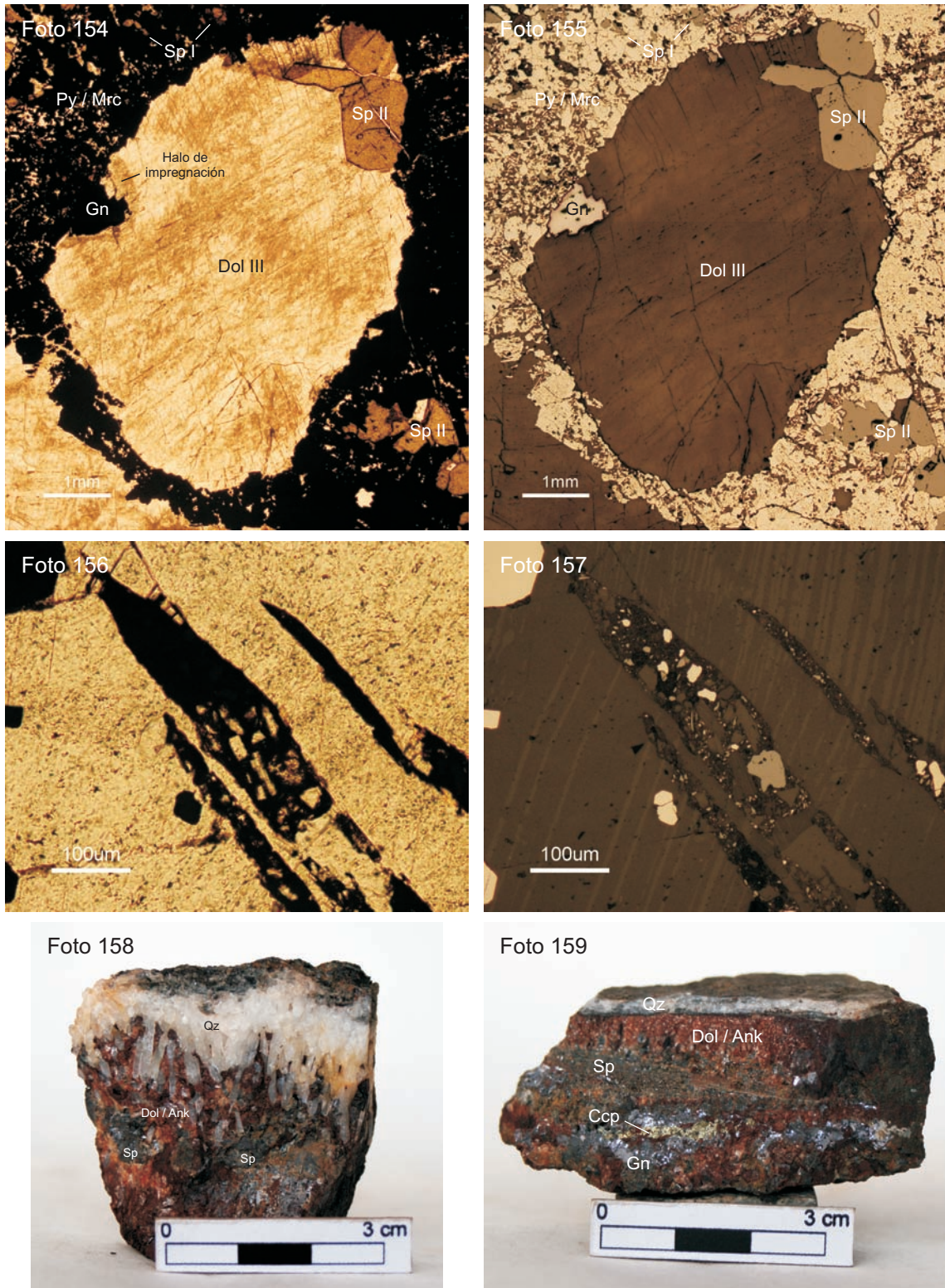


Foto 160: Muestra DBA-01-02 (Barambio). La secuencia de relleno de los filones no es una sucesión pasiva: la esfalerita (Sp) reemplaza parcialmente a las fases anteriores: dolomita/ankerita (Dol/Ank) y cuarzo (Qz).

Foto 161: Muestra DBA-01-03 (Barambio). Asociación de esfalerita (Sp), galena (Gn) y calcopirita (Ccp). La calcopirita forma inclusiones alineadas en la esfalerita. La relación entre la galena y la esfalerita no resulta fácil de interpretar: por un lado, la galena rellena grietas en la esfalerita, pero por otro, la esfalerita reemplaza a la galena (ver flechas)

Foto 162: Muestra VM-02-03 (Villasana de Mena). Mineralización diseminada de barita (Brt) y esfalerita (Sp) en areniscas de la Fm. Valmaseda. El color oscuro del encajante es debido a la presencia de materia orgánica (betún sólido).

Foto 163: Muestra VM-02-03 (Villasana de Mena). El betún puede aparecer asociado a caolinita (Kln + Bit) o bien libre de filosilicatos (Bit). La barita (Brt) parece estar asociada al betún. Todas las fases mencionadas ocupan posiciones intersticiales entre los granos de cuarzo, y los reemplazan parcialmente.

Foto 164: Muestra VM-02-03 (Villasana de Mena). Barita intersticial (Brt), asociada a caolinita - betún (Kln + Bit) y a cuarzo idiomórfico (Qz). Todos ellos reemplazan a los clastos de la Fm. Valmaseda.

Fotos 165 y 167: Muestra VM-02-03 (Villasana de Mena). Cristales de esfalerita reemplazando a los clastos de cuarzo. La esfalerita aparece exclusivamente asociada a la barita (Brt). En la ampliación, se aprecia claramente el carácter reemplazante de la esfalerita. También se observan relictos de barita en el interior de la esfalerita (ver flechas), lo que sugiere que el sulfato también es reemplazado.

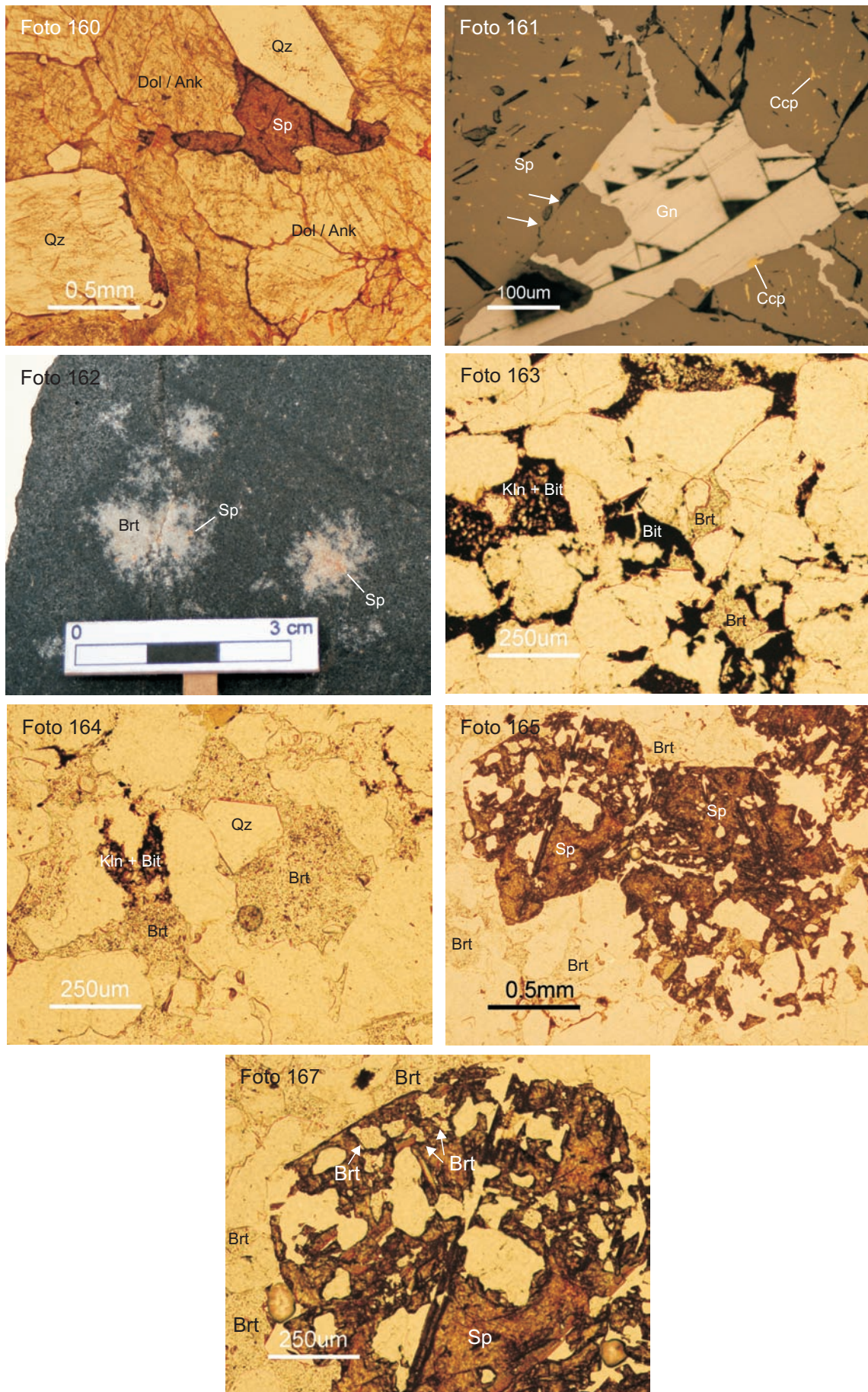


Foto 168: Muestra ALT-7 234,00. Mineralización diseminada encajada en una arenisca de la Fm. Valmaseda. El color oscuro del encajante es debido a la abundante presencia de betunes sólidos (Bit).

Foto 169: Muestra ALT-2 205,90. Sulfuros masivos, constituidos principalmente por esfalerita (Sp), con betunes sólidos intersticiales (Bit).

Foto 170: Muestra DM-05-06 (Aperregui). Fragmentos de betún sólido (Bit) con morfología angulosa, y cristales de esfalerita (Sp) englobados en dolomita III (Dol III).

Foto 171: Muestra FV-1. Betún intersticial (Bit) entre los clastos de cuarzo. Luz transmitida paralela, objetivo de inmersión.

Foto 172: Muestra ALT-7 228,30. Betún (Bit) con textura fluidal entre clastos de cuarzo (Qz). Destaca la presencia de pequeños cristales de pirita (Py) englobados en el betún, y alineados siguiendo las líneas de flujo. Luz reflejada, objetivo de inmersión.

Foto 173: Muestra ALT-7 233,70. Vesículas de desgasificación en betún (Bit). La textura sugiere que estas se formaron antes de la solidificación. Posteriormente, el conjunto se fracturó. Hay sulfuros asociados al betún: pirita idiomórfica (Py), pirita framboidal (Py fr) y esfalerita (Sp). Algunos cristales aparecen en el interior de las vesículas y reemplazan parcialmente el betún, lo que sugiere que su cristalización fue posterior a la solidificación del betún. Luz reflejada, objetivo de inmersión.

Foto 174: Muestra ALT-7 283,50. Fisuras de contracción (A) y vesículas de desgasificación (B) en betún (Bit). Hay filosilicatos (FS) englobados. Luz reflejada, objetivo de inmersión.

Foto 168



Foto 169

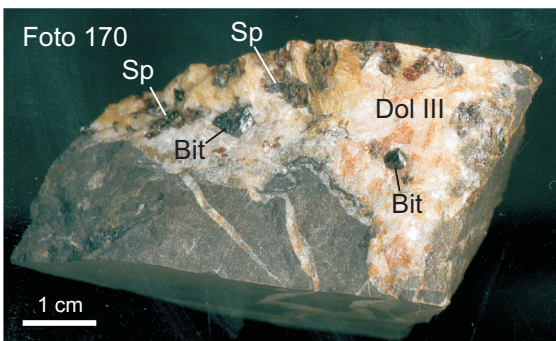


Foto 171

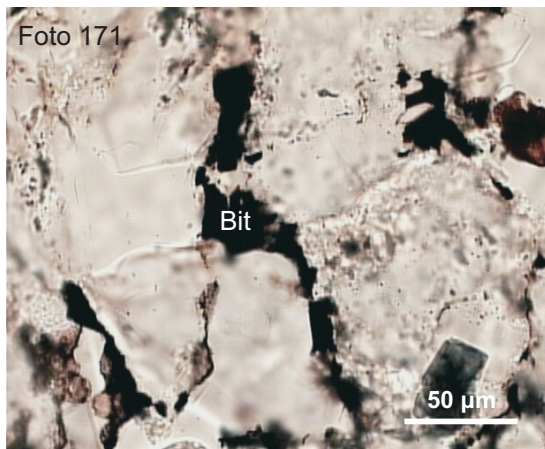


Foto 172

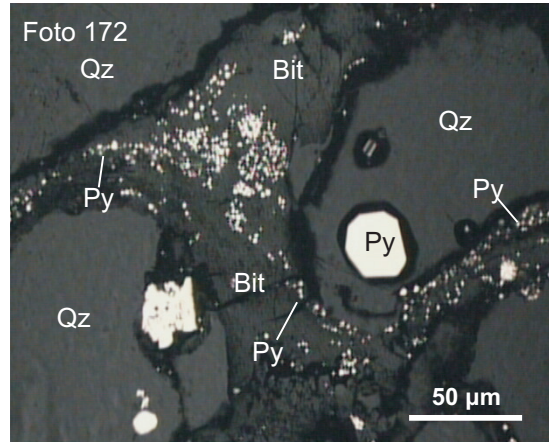


Foto 173

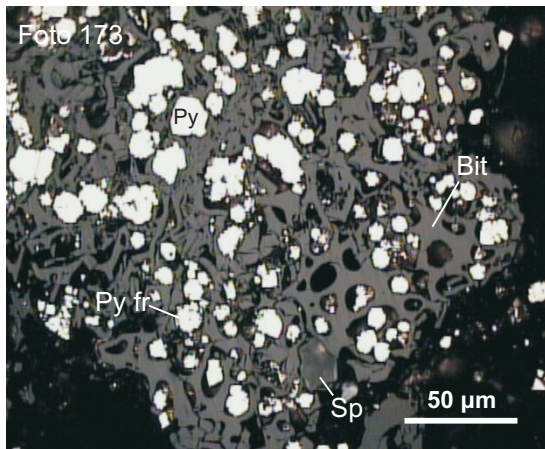


Foto 174

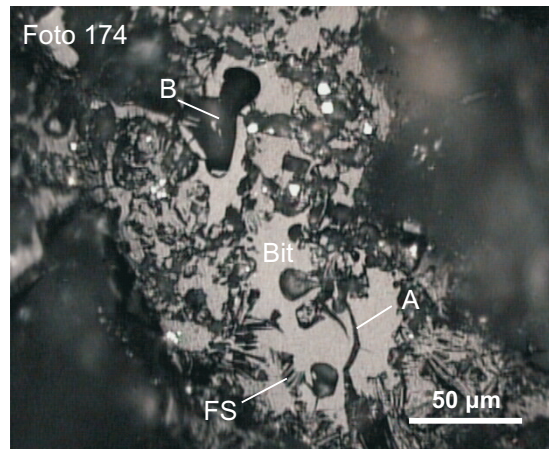


Foto 175: Muestra ALT-6 201,40. Betún (Bit) englobado en un filón de calcita gris (Cal). Está brechificado y cementado por el carbonato, lo que parece indicar un comportamiento frágil. Hay pirita (Py) asociada al betún. Objetivo de inmersión, luz reflejada.

Foto 176: Muestra ALT-6 195,50. Betún (Bit) en arenisca de la Fm. Valmaseda. Asociados al betún hay agregados de filosilicatos (FS), presumiblemente caolinita, y cristales de pirita (Py). Objetivo de inmersión, luz paralela reflejada.

Foto 177: Muestra ALT-3 328,00. Betún (Bit) que engloba agregados de filosilicatos, presumiblemente caolinita, y cristales de dolomita (Dol), probablemente Dol III. El encajante es una barra carbonatada en la Fm. Valmaseda. Objetivo de inmersión, luz paralela reflejada.

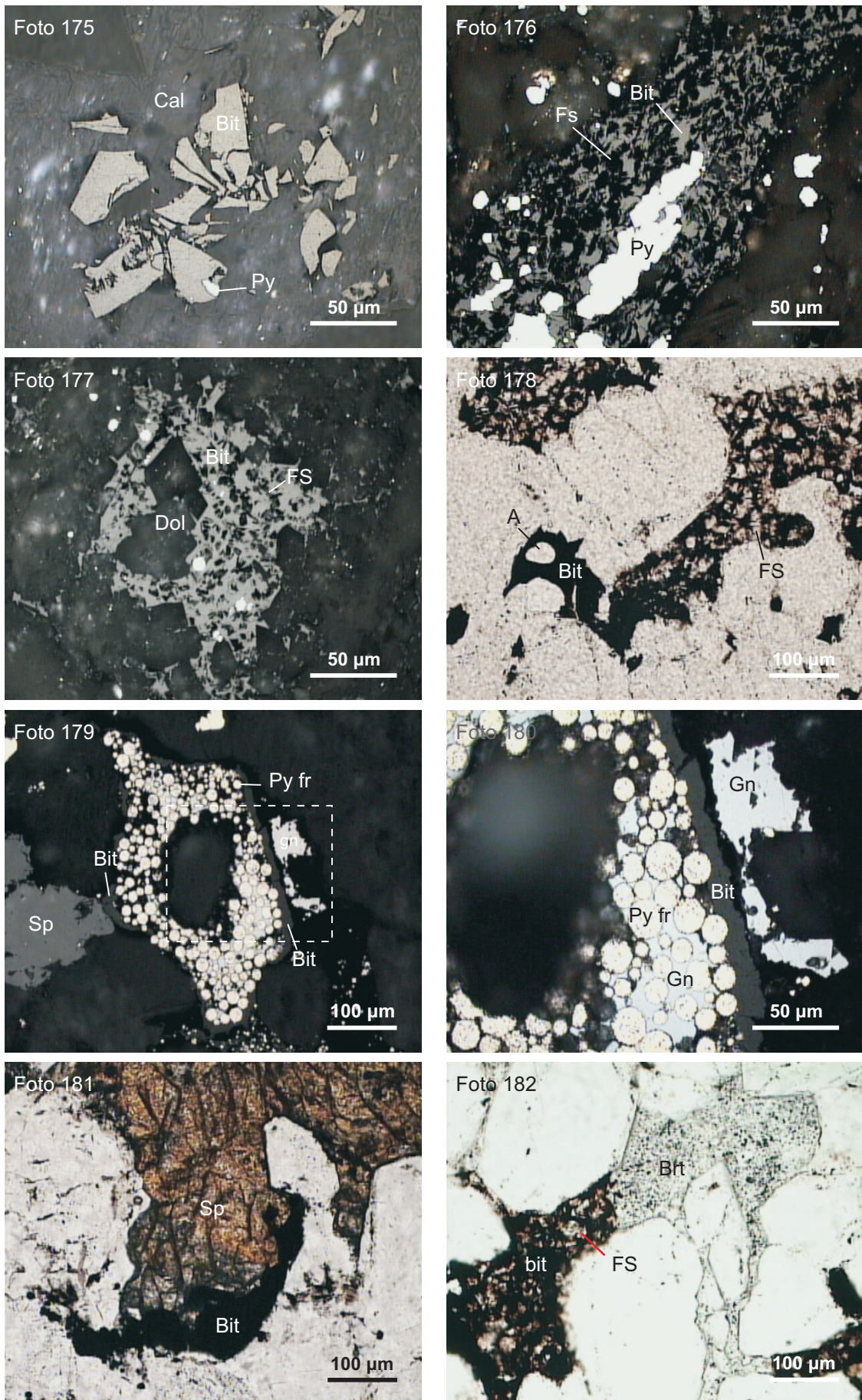
Foto 178: Muestra VM-02-03 (Villasana de Mena). Agregados de caolinita (FS) englobados en betún (Bit). La ausencia de orientaciones preferentes según líneas de flujo y/o deformaciones en la caolinita sugiere un carácter autigénico. El betún incluye también una vesícula (A). Objetivo de inmersión, luz paralela transmitida.

Foto 179: Muestra ALT-7 233,70. Esfalerita (Sp), galena (Gn) y framboídes de pirita (Py fr) asociados a betún (Bit). Los framboídes y la galena podrían haber precipitado cuando el betún era líquido, o bien haberlo reemplazado tras su solidificación. Objetivo de inmersión, luz paralela reflejada.

Foto 180: Ampliación de la imagen anterior.

Foto 181: Muestra DM-01-3. Asociación entre esfalerita (Sp) y betún (Bit). Objetivo de inmersión, luz paralela transmitida.

Foto 182: Muestra VM-02-03. Asociación entre barita (Brt) y betún (Bit). Ambos ocupan posiciones intergranulares y reemplazan al cuarzo detrítico. Hay agregados de caolinita (FS) englobados en el betún. Objetivo de inmersión, luz paralela transmitida.



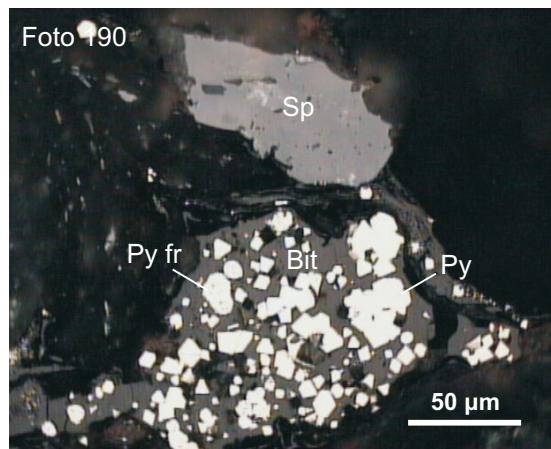
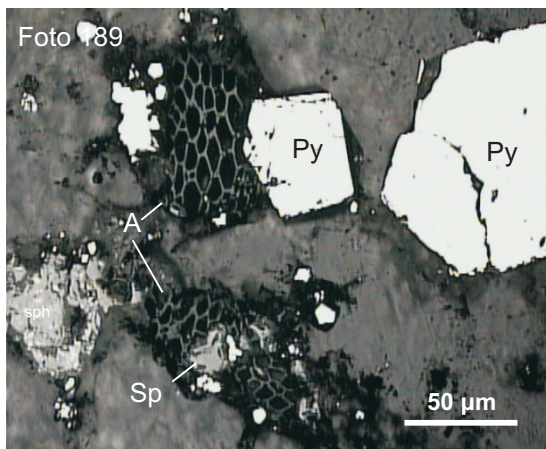
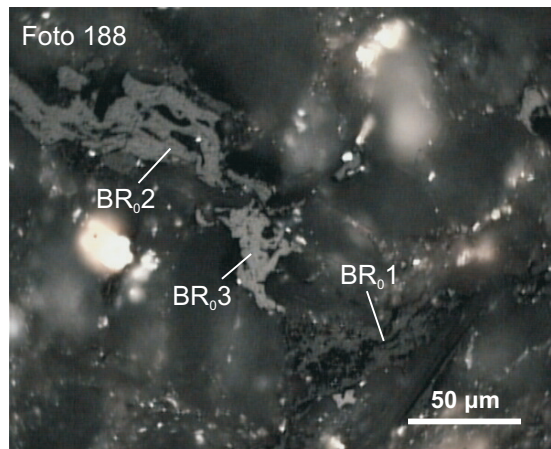
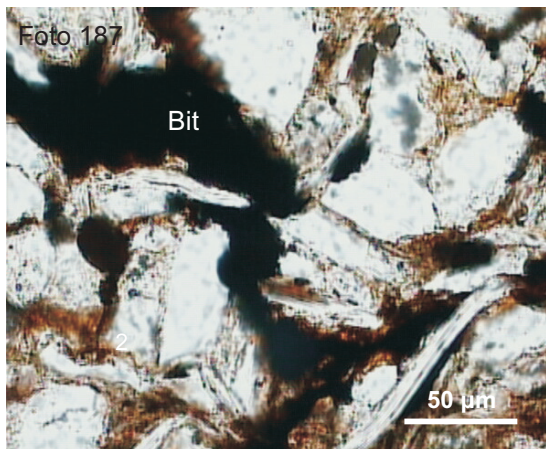
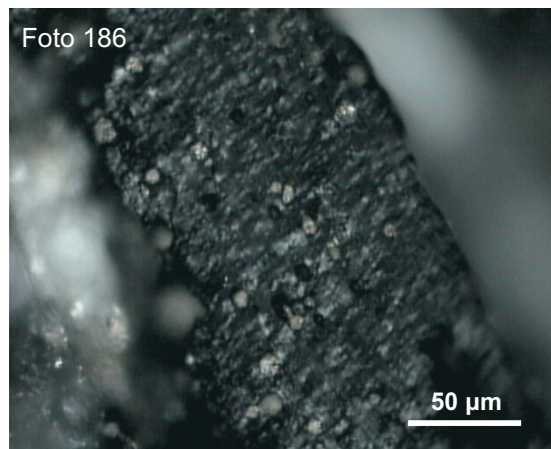
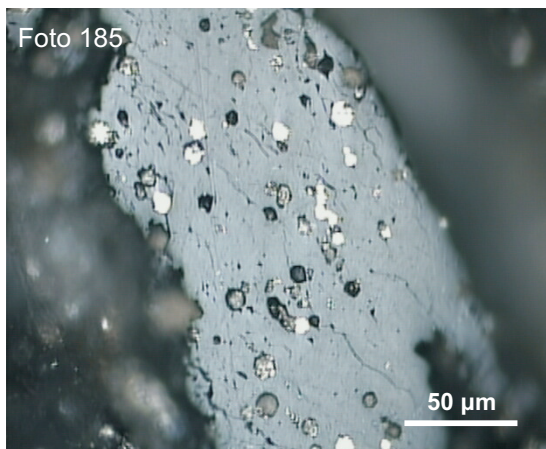
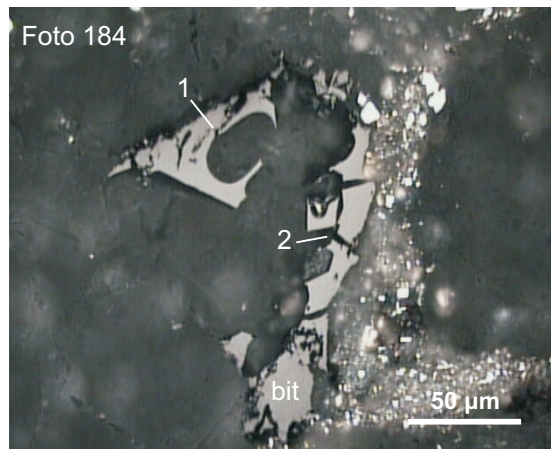
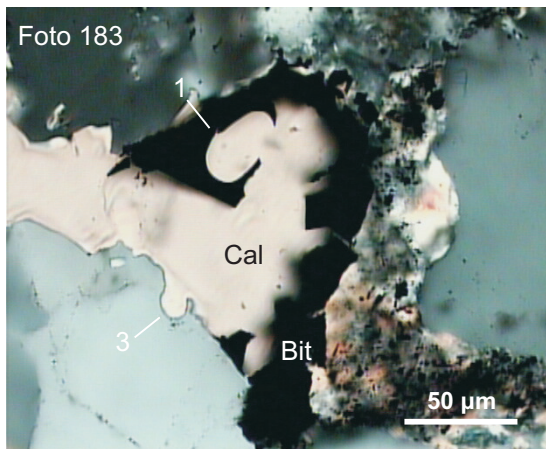
Fotos 183 y 184: Muestra ALT-7 194,30. Calcita (Cal) rellenando vesículas (1) y fracturas en betún (2). También reemplaza al cuarzo detrítico (3). Objetivo de inmersión, luz paralela transmitida y reflejada.

Fotos 185 y 186: Muestra ALT-7 211,80. Betún anisotrópo. Objetivo de inmersión, luz reflejada paralela y polarizada.

Fotos 187 y 188: Muestra VM-02-10 (Villasana de Mena). La imagen con luz paralela transmitida no revela la existencia de diferentes generaciones en el betún (Bit). Sin embargo, con luz paralela reflejada se diferencian tres generaciones con distintas BR₀, siendo BR₀1<BR₀2<Br₀3. Objetivo de inmersión, luz paralela transmitida y reflejada.

Foto 189: Muestra DM-01-3 (Altube). Partículas de fusinita (A). Destaca la estructura interna celular, cuya la geometría regular permite diferenciarlas del betún. Objetivo de inmersión, luz paralela reflejada.

Foto 190: Muestra FV-22. Asociación de betún (Bit) con pirita y esfalerita (Sp). La pirita aparece tanto en forma de framboides (Py fr) como de cristales idiomórficos (Py). Objetivo de inmersión, luz paralela reflejada.



Fotos 191 y 192: Muestra FV-22. Betún anisótropo (Bit), con textura fluidal. Objetivo de inmersión, luz reflejada paralela y polarizada.

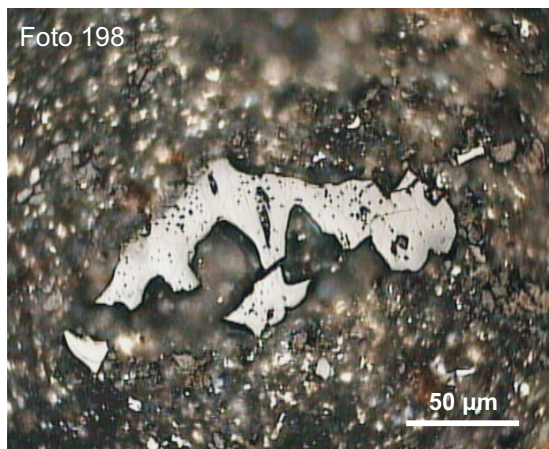
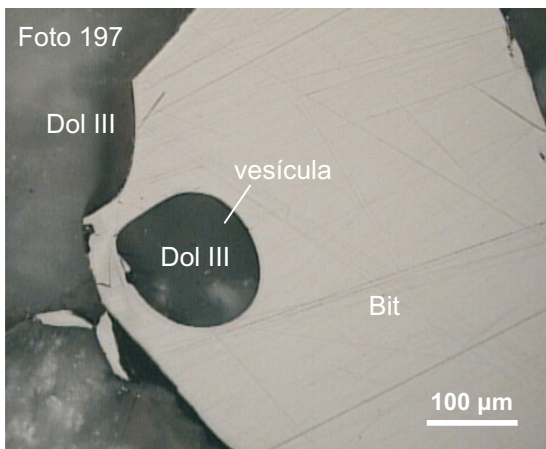
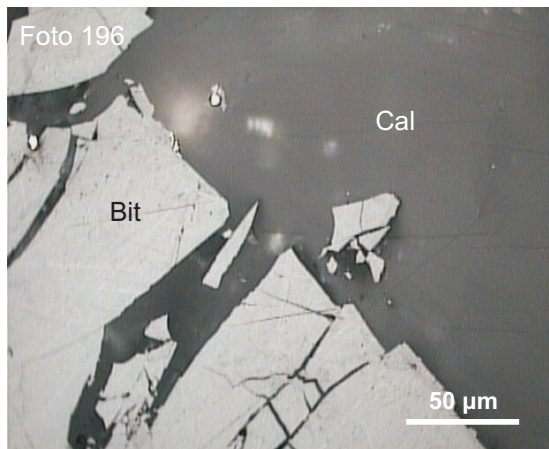
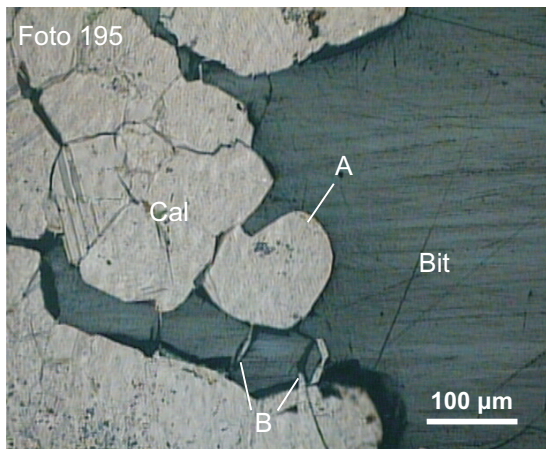
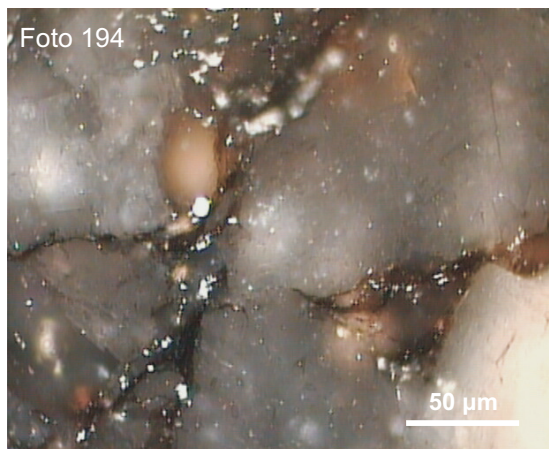
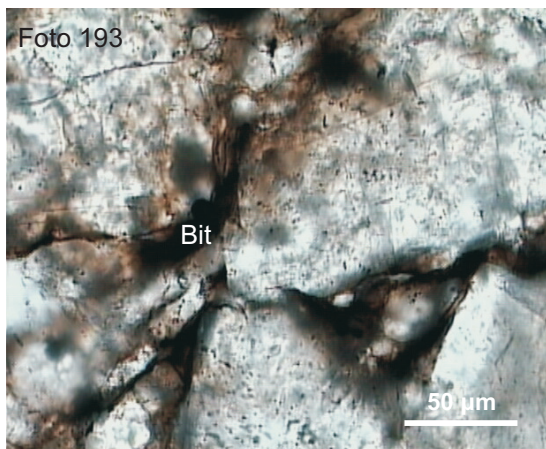
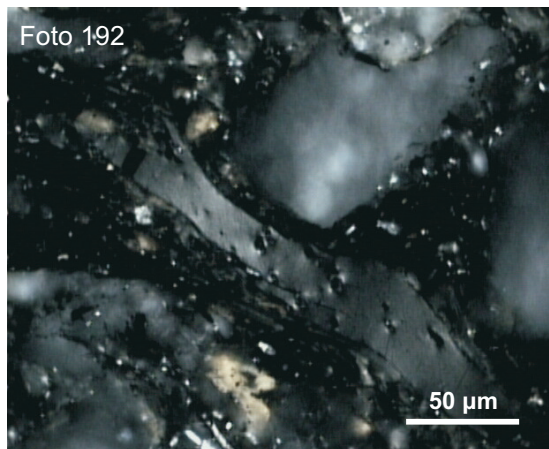
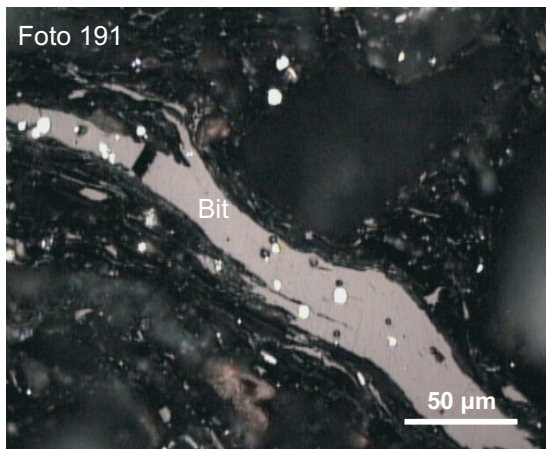
Fotos 193 y 194: Muestra DO-03-06 (Montaleón). Betún (bit) formando impregnaciones peliculares en el encajante dolomítico. No forma masas lo suficientemente grandes como para realizar mediciones de reflectancia. Objetivo de inmersión en aceite, luz transmitida y reflejada.

Foto 195: Muestra DO-01-02 (Artomaña). Vesícula de desgasificación (A) y fisuras de contracción (B) en el betún (Bit). Tanto la vesícula como las fisuras están cementadas por calcita esparítica tardía (Cal). Objetivo de inmersión, luz paralela reflejada.

Foto 196: Muestra DM-03-2 (Jugo). Betún (Bit) brechificado, cementado por calcita (Cal). Objetivo de inmersión, luz paralela reflejada.

Foto 197: Muestra DM-05-4 (Aperregui). Betún (Bit) con vesícula de desgasificación rellena de dolomita III (Dol III). Objetivo de inmersión, luz paralela reflejada.

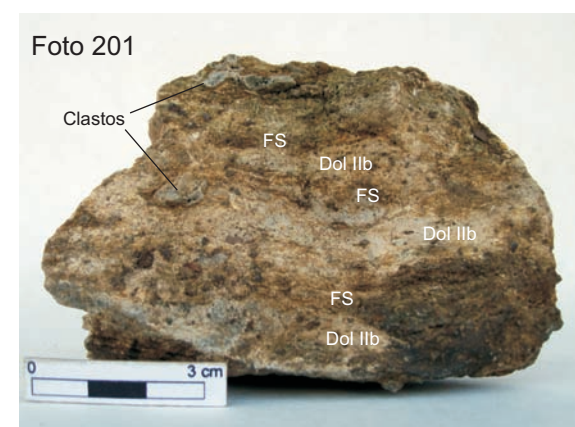
Foto 198: Muestra DO-04-NI (Paúl). Partícula de materia orgánica en la preparación por separación densimétrica. Las vesículas de desgasificación y la morfología redondeada sugieren que se trata de betún. Objetivo de inmersión, luz paralela reflejada.



Fotos 199: Muestra ALT-3 040,90. Filón constituido por esfalerita (Sp), calcita I (Cal I) y cuarzo accesorio (Qz). El encajante corresponde a una roca siliciclástica de la Fm. Valmaseda. La esfalerita parece nuclear a partir de una masa impregnada de betún, que presenta vesículas de desgasificación. Algunas vesículas siguen una evidente alineación. Microscopio petrográfico estándar, sin objetivo de inmersión.

Foto 200: Muestra Ju-16-07b (Jugo). Muestra procedente del margen oriental del diapiro de Murguía. Fue recogida *in situ* en las inmediaciones de la antigua mina de Jugo. La mineralización objeto de las principales labores mineras encaja en esta litología, relacionada con la tipología *cap rock*. Se observa una clara textura rítmica tipo cebra.

Foto 201: Muestra Ju-16-04 (Jugo). Muestra recogida en las inmediaciones de la antigua mina de Jugo. Se trata de una litología equivalente a la ZCT de Altube, constituida por una roca con fábrica bandeadas, foliación, y niveles ricos en filosilicatos (FS) o en dolomita (Dol IIb).



Apéndice II

Tablas

ALT-6 225,90							
Punto	Col.Pol.Ocre A6-12	Col.Pol.Ocre A6-13	Col.Pol.Ocre A6-14	Col.Pol.Ocre A6-16	Col.Pol.Ocre A6-17	Col.Pol.Ocre A6-18	Col.Pol.2º Ord A6-19
SiO ₂	49,00	45,81	43,23	50,62	50,73	49,14	47,32
TiO ₂	0,22	0,11	0,05	0,03	0,04	0,17	0,03
Al ₂ O ₃	35,47	35,07	37,80	33,35	33,92	35,68	36,81
Fe ₂ O ₃	1,56	4,09	0,63	0,12	0,10	1,05	0,12
MnO	0,02	0,00	0,00	0,05	0,00	0,00	0,00
MgO	1,98	1,45	2,83	1,94	2,22	1,87	0,89
CaO	0,12	0,08	0,14	0,06	0,07	0,10	0,15
Na ₂ O	0,09	0,34	0,10	0,17	0,17	0,36	0,13
K ₂ O	5,43	7,18	4,28	8,50	7,88	4,67	7,34
H ₂ O(c)	4,62	4,51	4,40	4,61	4,64	4,61	4,53
Sum Ox%	98,50	98,65	93,44	99,45	99,76	97,64	97,32

Fórmula estructural en base a ¿? oxígenos

Si	6,36	6,09	5,90	6,59	6,56	6,40	6,26
Ti	0,02	0,01	0,01	0,00	0,00	0,02	0,00
Al/Al ^{IV}	5,43	5,49	6,08	5,12	5,17	5,47	5,74
Al VI	0,00	0,00	0,00	0,00	0,00	0,00	0,00
Fe ³⁺	0,15	0,41	0,07	0,01	0,01	0,10	0,01
Mn ²⁺	0,00	0,00	0,00	0,01	0,00	0,00	0,00
Mg	0,38	0,29	0,58	0,38	0,43	0,36	0,18
Ca	0,02	0,01	0,02	0,01	0,01	0,01	0,02
Na	0,02	0,09	0,03	0,04	0,04	0,09	0,03
K	0,90	1,22	0,74	1,41	1,30	0,78	1,24
OH	4,00	4,00	4,00	4,00	4,00	4,00	4,00
Sum Cat#	17,29	17,60	17,41	17,57	17,52	17,23	17,49

Tabla II.1: Resultados de los análisis a microsonda de illita-moscovita en la ZCT.

Punto	ALT-6 230,50				ALT-2 225,90	
	Col.Pol.2º Ord					
	A6-20	A6-21	A6-22	A6-23	A2-4	A2-5
SiO ₂	50,55	51,74	48,90	49,75	53,16	54,11
TiO ₂	0,08	0,04	0,05	0,06	0,07	0,08
Al ₂ O ₃	35,60	36,01	36,51	34,63	33,29	32,63
Fe ₂ O ₃	0,03	0,07	0,20	0,26	0,56	0,43
MnO	0,03	0,03	0,00	0,00	0,00	0,01
MgO	1,05	1,01	1,10	1,14	1,87	1,68
CaO	0,07	0,05	0,06	0,09	0,04	0,07
Na ₂ O	0,18	0,20	0,09	0,18	0,11	0,21
K ₂ O	6,67	8,69	7,97	6,69	6,75	8,80
H ₂ O(c)	4,64	4,76	4,62	4,56	4,72	4,77
Sum Ox%	98,91	102,60	99,51	97,36	100,57	102,80
Fórmula estructural en base a ¿? oxígenos						
Si	6,53	6,52	6,35	6,54	6,75	6,81
Ti	0,01	0,00	0,01	0,01	0,01	0,01
Al/Al ^{IV}	5,42	5,35	5,58	5,37	4,99	4,84
Al VI	0,00	0,00	0,00	0,00	0,00	0,00
Fe ³⁺	0,00	0,01	0,02	0,03	0,05	0,04
Mn ²⁺	0,00	0,00	0,00	0,00	0,00	0,00
Mg	0,20	0,19	0,21	0,22	0,35	0,31
Ca	0,01	0,01	0,01	0,01	0,01	0,01
Na	0,04	0,05	0,02	0,05	0,03	0,05
K	1,10	1,40	1,32	1,12	1,09	1,41
OH	4,00	4,00	4,00	4,00	4,00	4,00
Sum Cat#	17,32	17,52	17,52	17,34	17,28	17,48

Tabla II.1 (continuación): Resultados de los análisis a microsonda de illita-moscovita en la ZCT.

Mineralizaciones de Zn-Pb asociadas a los diapiros de Murguía y Orduña (Cuenca Vasco-Cantábrica)

ALT-6 225,90							
Punto	Núcleo A6-2	Núcleo A6-3	Núcleo A6-4	Núcleo A6-5	Núcleo A6-6	Núcleo A6-7	Núcleo A6-8
SiO ₂	36,24	36,35	36,24	36,67	36,65	36,87	36,83
TiO ₂	0,63	0,72	0,67	0,37	0,34	0,35	0,66
ZrO ₂	-	-	-	-	-	-	-
HfO ₂	-	-	-	-	-	-	-
Al ₂ O ₃	34,14	33,81	33,94	34,18	34,77	34	34,51
Cr ₂ O ₃	0,06	0,02	0,03	0,04	0,04	0,02	0,04
B ₂ O ₃ (c)	10,68	10,68	10,68	10,72	10,76	10,73	10,77
FeO	9,29	8,39	8,52	8,74	7,87	7,55	8,83
V ₂ O ₃	0,03	0	0	0	0	0	0
MnO	0,09	0,07	0,1	0,09	0,05	0,04	0,05
MgO	4,3	5,1	5,01	4,81	5,1	5,64	4,34
CaO	0,55	0,5	0,53	0,43	0,39	0,34	0,41
ZnO	0	0,02	0,04	0	0,09	0,04	0,02
SrO	-	-	-	-	-	-	-
BaO	-	-	-	-	-	-	-
CuO	-	-	-	-	-	-	-
Na ₂ O	1,8	1,77	1,73	1,79	1,69	1,73	1,77
K ₂ O	0,02	0,02	0,03	0,02	0,01	0,03	0,05
Rb ₂ O	-	-	-	-	-	-	-
F	-	-	-	-	-	-	-
H ₂ O(c)	3,68	3,68	3,68	3,7	3,71	3,7	3,72
O=F	-	-	-	-	-	-	-
Sum Ox%	101,5	101,15	101,2	101,56	101,48	101,06	101,99

Fórmula estructural en base a 29 oxígenos

Si	5,9	5,915	5,9	5,945	5,919	5,972	5,944
Ti	0,077	0,088	0,082	0,045	0,042	0,043	0,08
Zr	-	-	-	-	-	-	-
Hf	-	-	-	-	-	-	-
Al/Al IV	0,1	0,085	0,1	0,055	0,081	0,028	0,056
Al/Z	6	6	6	6	6	6	6
Al/Y	0,451	0,4	0,412	0,475	0,538	0,463	0,508
Cr	0,007	0,003	0,004	0,006	0,005	0,003	0,005
B ³⁺	3	3	3	3	3	3	3
Fe ²⁺	1,265	1,142	1,161	1,185	1,064	1,023	1,191
V	0,004	0	0	0	0	0	0
Mn ²⁺	0,012	0,01	0,013	0,012	0,007	0,006	0,007
Mg	1,043	1,237	1,216	1,162	1,228	1,363	1,044
Ca	0,095	0,088	0,092	0,074	0,068	0,059	0,071
Zn	0	0,002	0,004	0	0,01	0,005	0,003
Sr	-	-	-	-	-	-	-
Ba	-	-	-	-	-	-	-
Cu	-	-	-	-	-	-	-
Na	0,569	0,56	0,546	0,563	0,529	0,543	0,554
K	0,003	0,005	0,007	0,004	0,002	0,006	0,01
Rb	-	-	-	-	-	-	-
F	-	-	-	-	-	-	-
OH	4	4	4	4	4	4	4
Sum Cat#	22,527	22,535	22,536	22,526	22,493	22,513	22,473
X	0,667	0,652	0,645	0,641	0,599	0,609	0,635
Y	2,86	2,883	2,892	2,885	2,894	2,905	2,838
Z	6	6	6	6	6	6	6
(OH,F)	4	4	4	4	4	4	4

Tabla II.2: Resultados de los análisis a microsonda de turmalinas en la ZCT.

Punto	ALT-6 230,50			ALT-2 225,90		
	Núcleo A6-9	Borde A6-10	Borde A6-11	Núcleo A2-1	Núcleo A2-2	Borde A2-3
SiO ₂	36,82	38,94	38,81	36,63	36,43	36,64
TiO ₂	0,53	0	0,02	0,55	0,65	0,02
ZrO ₂	-	-	-	-	-	-
HfO ₂	-	-	-	-	-	-
Al ₂ O ₃	34,15	31,44	31,11	31,41	31,37	33,63
Cr ₂ O ₃	0	0	0,04	0,01	0,06	0,03
B ₂ O ₃ (c)	10,75	10,91	10,89	10,56	10,53	10,59
FeO	7,02	2,96	3,37	6,65	6,07	1,94
V ₂ O ₃	0	0	0	0	0	0
MnO	0,06	0	0	0,05	0,04	0,03
MgO	5,72	10,43	10,5	7,38	7,48	9,12
CaO	0,52	0,08	0,07	0,53	0,58	0
ZnO	0	0	0	0,06	0,1	0,04
SrO	-	-	-	-	-	-
BaO	-	-	-	-	-	-
CuO	-	-	-	-	-	-
Na ₂ O	1,74	2,34	2,37	2,02	2,12	1,26
K ₂ O	0,02	0,02	0,02	0,02	0,01	0,01
Rb ₂ O	-	-	-	-	-	-
F	-	-	-	-	-	-
H ₂ O(c)	3,71	3,77	3,76	3,64	3,63	3,65
O=F	-	-	-	-	-	-
Sum Ox%	101,05	100,89	100,96	99,51	99,06	96,97

Fórmula estructural en base a 29 oxígenos

Si	5,954	6,201	6,192	6,031	6,015	6,013
Ti	0,064	0	0,002	0,068	0,081	0,003
Zr	-	-	-	-	-	-
Hf	-	-	-	-	-	-
Al/Al IV	0,046	0	0	0	0	0
AlZ	6	5,901	5,85	6	6	6
AlY	0,462	0	0	0,095	0,105	0,503
Cr	0	0	0,006	0,002	0,008	0,003
B ³⁺	3	3	3	3	3	3
Fe ²⁺	0,949	0,394	0,449	0,916	0,838	0,266
V	0	0	0	0	0	0
Mn ²⁺	0,009	0	0	0,007	0,006	0,004
Mg	1,379	2,474	2,498	1,811	1,84	2,231
Ca	0,09	0,014	0,012	0,093	0,103	0,001
Zn	0	0	0	0,008	0,013	0,005
Sr	-	-	-	-	-	-
Ba	-	-	-	-	-	-
Cu	-	-	-	-	-	-
Na	0,547	0,723	0,734	0,643	0,677	0,4
K	0,005	0,004	0,004	0,004	0,003	0,003
Rb	-	-	-	-	-	-
F	-	-	-	-	-	-
OH	4	4	4	4	4	4
Sum Cat#	22,504	22,712	22,747	22,677	22,688	22,432
X	0,642	0,741	0,749	0,74	0,783	0,403
Y	2,862	2,869	2,955	2,906	2,89	3,016
Z	6	5,901	5,85	6	6	6
(OH,F)	4	4	4	4	4	4

Tabla II.2 (continuación): Resultados de los análisis a microsonda de turmalinas en la ZCT.

	Jugo - DM-03-03			Montaleón - DO-03-02	
Punto	2	3	4	5	8
SiO ₂	69,11	69,04	69,25	69,34	68,62
TiO ₂	0,07	0,01	0,00	0,00	0,27
Al ₂ O ₃	19,72	19,50	19,19	19,76	19,51
MgO	0,00	0,03	0,02	0,00	0,00
CaO	0,05	0,08	0,01	0,06	0,11
MnO	0,00	0,00	0,00	0,01	0,00
FeO	0,01	0,00	0,00	0,03	0,07
Na ₂ O	11,74	11,80	11,41	11,76	11,42
K ₂ O	0,02	0,00	0,00	0,01	0,10
Sum Ox%	100,72	100,46	99,89	100,98	100,10
Fórmula estructural en base a 8 oxígenos					
Si	2,99	3,00	3,02	3,00	2,99
Ti	0,00	0,00	0,00	0,00	0,01
Al	1,01	1,00	0,99	1,01	1,00
Mg	0,00	0,00	0,00	0,00	0,00
Ca	0,00	0,00	0,00	0,00	0,01
Mn	0,00	0,00	0,00	0,00	0,00
Fe	0,00	0,00	0,00	0,00	0,00
Na	0,99	0,99	0,96	0,99	0,97
K	0,00	0,00	0,00	0,00	0,01
Sum Cat#	4,99	5,00	4,97	4,99	4,98
% molar					
Albita	99,64	99,60	99,94	99,63	98,93
Ortosa	0,13	0,02	0,02	0,07	0,55
Anortita	0,22	0,37	0,04	0,30	0,53

Tabla II.3: Resultados de los análisis a microsonda de albita en los indicios de Jugo y Montaleón.

Muestra	ALT-2 198.30	Nº análisis	S	Zn	Fe	Cd	In	Hg	Ga	Ge	Mn	TOTAL %	peso	Descripción
71	33.09	67.04	0.02	0.21	0.00	0.00	0.00	0.00	0.00	0.00	0.00	100.36	Estalenta I con luminiscencia zonada; banda luminiscente amarilla.	
72	32.94	66.38	0.25	0.25	0.00	0.00	0.00	0.00	0.00	0.04	0.00	99.62	Estalenta I con luminiscencia zonada; banda luminiscente amarilla.	
73	33.00	66.13	0.55	0.19	0.05	0.00	0.00	0.00	0.00	0.00	0.01	99.92	Estalenta I con luminiscencia zonada; banda no luminiscente.	
74	33.38	65.77	1.34	0.23	0.00	0.00	0.00	0.00	0.00	0.00	0.01	100.73	Estalenta I, encajante de la estalenta II anterior.	
75	33.03	66.58	0.02	0.22	0.00	0.00	0.00	0.00	0.00	0.03	0.00	99.85	Estalenta I; encajante de un cristal de estalenta I.	
76	33.25	66.22	0.00	0.24	0.03	0.00	0.00	0.00	0.00	0.00	0.00	99.77	Estalenta I; vaina luminiscente encajada en un cristal de estalenta I.	
77	32.37	64.91	0.55	0.22	0.03	0.00	0.00	0.00	0.00	0.00	0.00	98.08	Estalenta I; vaina luminiscente encajada en un cristal de estalenta I.	
78	33.71	64.54	1.47	0.17	0.02	0.00	0.00	0.00	0.00	0.00	0.00	99.91	Estalenta I; vaina luminiscente encajada en un cristal de estalenta I.	
79	32.99	64.49	1.88	0.27	0.01	0.00	0.00	0.00	0.00	0.00	0.00	99.64	Estalenta I; encajante de la estalenta II anterior.	
80	32.97	65.52	1.22	0.18	0.03	0.00	0.00	0.00	0.00	0.01	0.00	99.94	Estalenta I; encajante de la estalenta II anterior.	
81	32.99	65.26	1.25	0.30	0.00	0.00	0.00	0.00	0.00	0.00	0.00	99.61	Estalenta I; vaina luminiscente encada en esferita I.	
82	32.98	66.36	0.08	0.17	0.00	0.00	0.00	0.00	0.00	0.02	0.00	99.56	Estalenta I; encajante de la estalenta II anterior; Borte del cristal.	
83	33.08	64.58	1.35	0.46	0.08	0.00	0.00	0.00	0.00	0.02	0.00	99.90	Estalenta I; encajante de la estalenta II anterior; Núcleo del cristal.	
84	33.09	64.69	1.99	0.23	0.00	0.00	0.00	0.00	0.00	0.00	0.00	100.00	Estalenta I con luminiscencia zonada; banda luminiscente azul.	
85	33.04	65.84	0.01	0.23	0.06	0.00	0.00	0.00	0.00	0.03	0.00	99.21	Estalenta I con luminiscencia zonada; banda luminiscente amarilla.	
86	32.96	66.65	0.02	0.17	0.01	0.00	0.00	0.00	0.00	0.00	0.00	99.81	Estalenta I con luminiscencia zonada; banda luminiscente amarilla.	
87	32.73	66.37	0.00	0.29	0.04	0.00	0.00	0.00	0.00	0.00	0.00	99.44	Estalenta I con luminiscencia zonada; banda luminiscente amarilla.	
88	32.97	66.02	0.38	0.00	0.00	0.00	0.00	0.00	0.00	0.03	0.00	99.40	Estalenta I con luminiscencia zonada; banda no luminiscente.	
89	32.85	66.39	0.04	0.18	0.02	0.00	0.00	0.00	0.00	0.03	0.00	99.52	Estalenta I con luminiscencia zonada; banda luminiscente amarilla.	
90	33.11	67.21	0.12	0.10	0.03	0.00	0.00	0.00	0.00	0.02	0.00	100.59	Estalenta I con luminiscencia zonada; banda no luminiscente.	
91	32.94	67.55	0.00	0.18	0.05	0.00	0.00	0.00	0.00	0.06	0.00	100.78	Estalenta I con luminiscencia zonada; banda luminiscente amarilla.	
92	33.03	66.59	0.41	0.09	0.06	0.00	0.00	0.00	0.00	0.01	0.00	100.20	Estalenta I con luminiscencia zonada; banda no luminiscente.	
93	33.05	66.40	1.25	0.23	0.00	0.00	0.00	0.00	0.00	0.00	0.01	100.82	Estalenta I; encajante de la estalenta II anterior; Borte del cristal.	
94	33.07	64.80	1.24	0.15	0.03	0.00	0.00	0.00	0.00	0.01	0.00	99.30	Estalenta I; encajante de la estalenta II anterior; Núcleo del cristal.	
95	33.20	64.04	1.81	0.43	0.00	0.00	0.00	0.00	0.00	0.01	0.00	99.49	Estalenta I; encajante de la estalenta II anterior; Núcleo del cristal.	
Muestra	ALT-6 198.50	Nº análisis	S	Zn	Fe	Cd	In	Hg	Ga	Ge	Mn	TOTAL %	peso	Descripción
32	32.59	66.01	0.04	0.16	0.06	0.00	0.00	0.00	0.00	0.00	0.00	98.86	Perfil en estalenta I zonada; banda incolora (luz transmitida no polarizada). Inicio del perfil, borde del cristal.	
33	32.88	66.71	0.02	0.05	0.05	0.00	0.00	0.00	0.00	0.00	0.00	99.71	Perfil en estalenta I zonada; banda incolora (luz transmitida no polarizada).	
34	32.95	66.77	0.03	0.11	0.04	0.00	0.00	0.00	0.00	0.00	0.00	99.89	Perfil en estalenta I zonada; banda naranja (luz transmitida no polarizada).	
35	33.38	66.66	0.03	0.09	0.00	0.00	0.00	0.00	0.00	0.03	0.00	100.18	Perfil en estalenta I zonada; banda incolora (luz transmitida no polarizada).	
36	32.76	67.23	0.04	0.06	0.06	0.00	0.00	0.00	0.00	0.00	0.00	100.08	Perfil en estalenta I zonada; banda incolora (luz transmitida no polarizada).	
37	32.88	66.67	0.06	0.08	0.04	0.00	0.00	0.00	0.00	0.02	0.00	99.73	Perfil en estalenta I zonada; banda naranja (luz transmitida no polarizada).	
38	32.91	66.51	0.11	0.06	0.02	0.00	0.00	0.00	0.00	0.00	0.00	99.62	Perfil en estalenta I zonada; banda naranja (luz transmitida no polarizada).	
39	33.20	66.75	0.09	0.13	0.12	0.00	0.00	0.00	0.00	0.02	0.00	100.32	Perfil en estalenta I zonada; banda naranja (luz transmitida no polarizada).	
40	32.82	66.64	0.02	0.16	0.03	0.00	0.00	0.00	0.00	0.00	0.00	99.67	Perfil en estalenta I zonada; banda incolora (luz transmitida no polarizada).	
41	33.22	66.57	0.04	0.21	0.05	0.00	0.00	0.00	0.00	0.00	0.00	100.09	Perfil en estalenta I zonada; banda incolora (luz transmitida no polarizada).	
42	32.80	66.88	0.10	0.28	0.06	0.00	0.00	0.00	0.00	0.00	0.00	100.52	Perfil en estalenta I zonada; banda incolora (luz transmitida no polarizada).	
43	32.84	66.76	0.21	0.05	0.00	0.00	0.00	0.00	0.00	0.03	0.00	100.15	Perfil en estalenta I zonada; banda incolora (luz transmitida no polarizada). Fin del perfil, núcleo del cristal.	
44	33.06	65.44	0.02	0.18	0.04	0.00	0.00	0.00	0.00	0.00	0.00	98.73	Perfil en cristal de estalenta II (borde) que evoluciona a estalenta I (núcleo). Zona de estalenta II. Luminiscente amarilla. Inicio del perfil, borde del cristal.	
45	33.05	66.48	0.02	0.14	0.06	0.00	0.00	0.00	0.00	0.02	0.00	99.76	Perfil en cristal de estalenta II (borde) que evoluciona a estalenta I (núcleo). Zona de estalenta II. Luminiscente amarilla.	
46	32.97	66.51	0.05	0.12	0.03	0.00	0.00	0.00	0.00	0.01	0.00	99.68	Perfil en cristal de estalenta II (borde) que evoluciona a estalenta I (núcleo). Zona de estalenta II. Luminiscente amarilla.	
47	33.15	66.61	0.03	0.10	0.04	0.00	0.00	0.00	0.00	0.00	0.00	99.93	Perfil en cristal de estalenta II (borde) que evoluciona a estalenta I (núcleo). Zona de estalenta II. Luminiscente amarilla.	
48	32.92	66.71	0.07	0.10	0.06	0.00	0.00	0.00	0.00	0.00	0.00	99.87	Perfil en cristal de estalenta II (borde) que evoluciona a estalenta I (núcleo). Zona de estalenta II. Luminiscente amarilla. Fin del perfil, núcleo del cristal.	
49	32.75	66.56	0.00	0.15	0.06	0.00	0.00	0.00	0.00	0.03	0.00	99.59	Perfil en cristal de estalenta II (borde) que evoluciona a estalenta I (núcleo). Zona de estalenta II. Luminiscente amarilla. Inicio del perfil, borde del cristal.	
50	33.11	66.70	0.07	0.03	0.00	0.00	0.00	0.00	0.00	0.02	0.00	99.93	Perfil en cristal de estalenta II (borde) que evoluciona a estalenta I (núcleo). Zona de estalenta II. Luminiscente amarilla. Fin del perfil, núcleo del cristal.	
51	33.09	65.59	0.02	0.25	0.04	0.00	0.00	0.00	0.00	0.00	0.00	99.00	Perfil en cristal de estalenta II (borde) que evoluciona a estalenta I (núcleo); Zona de estalenta I. Fin del perfil, núcleo del cristal.	
Muestra	ALT-7 210.00	Nº análisis	S	Zn	Fe	Cd	In	Hg	Ga	Ge	Mn	TOTAL %	peso	Descripción
2	33.25	66.05	0.12	0.25	0.03	0.00	0.00	0.00	0.00	0.00	0.00	99.70	Estalenta I, color rojo (luz transmitida no polarizada).	
3	32.65	66.40	0.16	0.19	0.05	0.00	0.00	0.00	0.00	0.01	0.00	99.42	Estalenta II, incolora (luz transmitida no polarizada).	
4	32.89	66.62	0.24	0.04	0.04	0.00	0.00	0.00	0.00	0.00	0.00	99.82	Estalenta II, incolora (luz transmitida no polarizada).	
5	33.12	66.04	0.20	0.22	0.05	0.00	0.00	0.00	0.00	0.00	0.00	100.28	Estalenta II, incolora (luz transmitida no polarizada).	
6	33.39	66.47	0.11	0.00	0.00	0.00	0.00	0.00	0.00	0.03	0.00	99.96	Estalenta II, incolora (luz transmitida no polarizada).	
7	32.79	66.82	0.22	0.13	0.00	0.00	0.00	0.00	0.00	0.00	0.00	99.51	Estalenta II, incolora (luz transmitida no polarizada).	
8	33.15	65.90	0.28	0.19	0.00	0.00	0.00	0.00	0.00	0.00	0.00	99.52	Estalenta I, color rojo (luz transmitida no polarizada).	
9	32.90	66.59	0.31	0.13	0.04	0.00	0.00	0.00	0.00	0.00	0.00	99.97	Estalenta I, color rojo (luz transmitida no polarizada).	
10	32.84	66.63	0.07	0.25	0.00	0.00	0.00	0.00	0.00	0.01	0.00	99.79	Estalenta II, incolora (luz transmitida no polarizada).	
11	32.99	65.61	0.01	0.24	0.02	0.00	0.00	0.00	0.00	0.00	0.00	98.87	Estalenta II, incolora (luz transmitida no polarizada).	
12	33.11	66.57	0.30	0.29	0.01	0.00	0.00	0.00	0.00	0.00	0.00	100.28	Estalenta II, incolora (luz transmitida no polarizada).	
13	32.97	65.94	0.09	0.25	0.01	0.00	0.00	0.00	0.00	0.00	0.00	99.26	Estalenta II, incolora (luz transmitida no polarizada).	
14	32.86	66.32	0.06	0.14	0.00	0.00	0.00	0.00	0.00	0.00	0.00	99.51	Estalenta II, incolora (luz transmitida no polarizada).	
15	32.56	66.53	0.24	0.15	0.04	0.00	0.00	0.00	0.00	0.03	0.00	99.58	Estalenta II, incolora (luz transmitida no polarizada).	
16	33.28	66.50	0.93	0.10	0.00	0.00	0.00	0.00	0.00	0.03	0.00	100.83	Estalenta II, incolora (luz transmitida no polarizada).	
17	32.92	66.36	0.24	0.15	0.05	0.00	0.00	0.00	0.00	0.00	0.00	99.72	Estalenta II, incolora (luz transmitida no polarizada).	
18	33.34	66.40	0.02	0.21	0.00	0.00	0.00	0.00	0.00	0.03	0.00	99.99	Estalenta II, incolora (luz transmitida no polarizada).	

Tabla II-4: Análisis a microsonda de estalenta y grises delimita análisis en cristales distintos.

Mineralizaciones de Zn-Pb asociadas a los diapiros de Murguía y Orduña (Cuenca Vasco-Cantábrica)

Muestra	Nº análisis	S	Zn	Fe	Cd	In	Hg	Ga	Ge	Mn	TOTAL % peso	Descripción
ALT-7 210.00												
	19	32.87	65.92	0.23	0.23	0.00	0.00	0.00	0.00	0.07	99.25	Esfalerita I, color rojo (luz transmitida no polarizada)
	20	32.86	65.76	0.29	0.38	0.00	0.00	0.00	0.00	0.03	99.35	Esfalerita I, color rojo (luz transmitida no polarizada)
	21	32.80	65.89	0.23	0.16	0.06	0.00	0.00	0.00	0.00	99.18	Esfalerita I, color rojo (luz transmitida no polarizada). Luminiscencia amarilla.
	22	33.00	66.27	0.36	0.18	0.06	0.00	0.00	0.00	0.00	99.85	Esfalerita I, incolora (luz transmitida no polarizada). Luminiscencia amarilla.
	23	33.10	65.96	0.14	0.06	0.05	0.00	0.00	0.00	0.00	99.32	Esfalerita I, incolora (luz transmitida no polarizada). Luminiscencia amarilla.
	24	33.05	66.59	0.14	0.18	0.01	0.00	0.00	0.00	0.02	99.99	Esfalerita I, incolora (luz transmitida no polarizada). Luminiscencia amarilla.
	25	32.55	64.77	0.77	0.24	0.03	0.00	0.00	0.00	0.01	98.38	Esfalerita I, incolora (luz transmitida no polarizada). Luminiscencia amarilla.
	26	33.25	65.90	0.14	0.21	0.03	0.00	0.00	0.00	0.00	99.54	Esfalerita I, color rojo (luz transmitida no polarizada)
	27	33.20	65.07	0.13	0.19	0.00	0.00	0.00	0.00	0.02	98.61	Esfalerita I, color rojo (luz transmitida no polarizada)
	28	33.25	65.39	0.95	0.18	0.11	0.00	0.00	0.00	0.01	99.00	Esfalerita I, color rojo (luz transmitida no polarizada). Luminiscencia amarilla.
	29	33.03	66.76	0.13	0.17	0.03	0.00	0.00	0.00	0.00	100.12	Esfalerita I, incolora (luz transmitida no polarizada). Luminiscencia amarilla.
	30	32.75	65.21	0.52	0.20	0.03	0.00	0.00	0.00	0.00	98.71	Esfalerita I, incolora (luz transmitida no polarizada). Luminiscencia amarilla.
	31	32.32	65.31	1.02	0.10	0.02	0.00	0.00	0.00	0.03	98.81	Esfalerita I, incolora (luz transmitida no polarizada). Luminiscencia amarilla.
DO-03-08												
	52	32.91	65.68	0.51	0.14	0.04	0.00	0.00	0.00	0.04	99.49	Esfalerita II, frana no luminiscente entre bandas luminiscentes.
	53	33.33	65.80	0.14	0.18	0.03	0.00	0.00	0.00	0.06	99.53	Esfalerita II, bandas luminoscentes.
	54	32.97	65.32	0.48	0.12	0.02	0.00	0.00	0.00	0.00	98.91	Esfalerita II, frana no luminiscente entre bandas luminoscentes.
	55	32.71	65.71	0.50	0.14	0.00	0.00	0.00	0.00	0.02	99.09	Esfalerita II, frana no luminiscente entre bandas luminoscentes.
	56	32.87	66.00	0.15	0.11	0.07	0.00	0.00	0.00	0.00	99.20	Esfalerita II, bandas luminoscentes.
	57	32.64	65.24	0.60	0.18	0.00	0.00	0.00	0.00	0.00	98.66	Esfalerita II, frana no luminiscente entre bandas luminoscentes.
	58	32.86	65.40	0.92	0.11	0.07	0.00	0.00	0.00	0.02	98.46	Esfalerita II, banda luminiscente.
	59	32.77	66.19	0.36	0.17	0.00	0.00	0.00	0.00	0.00	99.49	Esfalerita II, banda con luminiscencia débil.
	60	32.64	65.21	0.44	0.08	0.00	0.00	0.00	0.00	0.02	98.39	Esfalerita II, con marcada zonación de crecimiento. Perfil analizando bandas de diferente color. Inicio de perfil: núcleo del cristal, color naranja pálido.
	61	33.07	64.81	1.28	0.03	0.00	0.00	0.00	0.00	0.00	99.19	Esfalerita I, banda naranja pálido
	62	32.83	65.79	0.35	0.25	0.02	0.00	0.00	0.00	0.00	99.23	Esfalerita I, banda naranja pálido
	63	32.98	65.48	0.64	0.06	0.04	0.00	0.00	0.00	0.00	99.19	Esfalerita I, banda naranja pálido
	64	33.37	64.36	1.69	0.07	0.05	0.00	0.00	0.00	0.00	99.48	Esfalerita I, banda naranja pálido
	65	32.61	65.07	1.14	0.37	0.05	0.00	0.00	0.00	0.01	99.26	Esfalerita I, banda naranja escuro
	66	33.06	62.53	3.50	0.21	0.00	0.00	0.00	0.00	0.00	99.00	Esfalerita I, banda naranja oscuro
	67	32.81	65.63	0.52	0.12	0.00	0.00	0.00	0.00	0.00	99.08	Esfalerita I, banda naranja pálido
	68	32.87	65.19	1.05	0.38	0.03	0.00	0.00	0.00	0.00	99.53	Esfalerita I, banda naranja oscuro
	69	33.29	65.16	0.73	0.32	0.00	0.00	0.00	0.00	0.00	99.50	Esfalerita I, banda naranja oscuro
	70	33.19	65.45	0.80	0.16	0.03	0.00	0.00	0.00	0.00	99.60	Esfalerita I, banda naranja pálido. Final del perfil.
DO-04-01												
	96	32.95	66.16	0.42	0.38	0.10	0.00	0.00	0.00	0.04	100.04	Esfalerita II con una sola banda luminiscente. Inicio del perfil: borde no luminiscente.
	97	32.74	66.47	0.33	0.28	0.00	0.00	0.00	0.00	0.00	99.82	Esfalerita II, zona no luminiscente
	98	32.63	66.57	0.07	0.23	0.00	0.00	0.00	0.00	0.00	99.50	Esfalerita II, banda luminiscente amarilla.
	99	33.07	66.14	0.07	0.00	0.00	0.00	0.00	0.00	0.01	99.87	Esfalerita II, final del perfil: núcleo del cristal, no luminiscente.
DO-04-NI												
	101	33.02	66.01	0.42	0.22	0.01	0.00	0.00	0.00	0.01	99.69	Esfalerita I, cristal disseminado en luitas negras.
	102	33.03	66.25	0.34	0.18	0.00	0.00	0.00	0.00	0.00	99.80	Esfalerita I, cristal disseminado en luitas negras.
	103	32.80	66.38	0.31	0.40	0.02	0.00	0.00	0.00	0.00	99.88	Esfalerita I, cristal disseminado en luitas negras.
	104	33.16	65.10	0.89	0.13	0.04	0.00	0.00	0.00	0.00	99.31	Esfalerita I, cristal disseminado en luitas negras.
	105	32.36	66.23	0.14	0.15	0.00	0.00	0.00	0.00	0.00	98.87	Esfalerita I, cristal disseminado en luitas negras.
	106	32.78	65.95	0.26	0.46	0.03	0.00	0.00	0.00	0.00	99.48	Esfalerita I, cristal disseminado en luitas negras.
	107	33.19	65.36	0.42	0.06	0.01	0.00	0.00	0.00	0.00	99.03	Esfalerita I, cristal disseminado en luitas negras.
	108	33.18	64.73	1.06	0.18	0.00	0.00	0.00	0.00	0.00	99.15	Esfalerita I, cristal disseminado en luitas negras.
	109	32.86	65.67	0.38	0.19	0.05	0.00	0.00	0.00	0.00	99.15	Esfalerita I, cristal disseminado en luitas negras.
	110	32.89	65.36	0.52	0.19	0.04	0.00	0.00	0.00	0.00	99.00	Esfalerita I, cristal disseminado en luitas negras.
	111	33.29	65.63	0.50	0.28	0.00	0.00	0.00	0.00	0.02	99.72	Esfalerita I, cristal disseminado en luitas negras.

Tabla II.4 (continuación): Análisis a microsonda de esfalerita en los indicios de Altube, Montaleón y Paúl. La alternancia franjas blancas y grises delimita análisis en cristales distintos.

Muestra	Mineral	$\delta^{34}\text{S}$ (‰ VCDT)	Equipo	Observaciones
Diapiro de Orduna				
La Antigua				
DO-02-03	Esfalerita I	10,5	Delta C	Diseminación en dolomías
DO-02-03	Pirita	14,0	Delta C	Diseminación en dolomías
DO-02-06	Galena	7,3	Delta C	Filón
DO-02-07	Galena	7,2	Delta C	Filón
Montaleón				
DO-03-00	Galena	7,6	Delta C	Filón
DO-03-00	Esfalerita I	11,2	Delta C	Filón
DO-03-00	Pirita	12,9	Delta Plus XP	Diseminación en dolomías
DO-03-02	Galena	6,5	Delta C	Diseminación en dolomías
DO-03-02	Esfalerita I	7,4	Delta C	Diseminación en dolomías
DO-03-04	Esfalerita II	12,4	Delta C	Diseminación en dolomías
DO-03-04	Galena	9,1	Delta Plus XP	Diseminación en dolomías
DO-03-05	Galena	7,5	Delta C	Diseminación en dolomías
DO-03-05	Esfalerita	9,9	Delta C	Diseminación en dolomías
DO-03-05	Pirita	12,9	Delta Plus XP	Diseminación en dolomías
DO-03-06	Esfalerita I	12,3	Delta C	Diseminación en dolomías
DO-03-06	Galena	9,3	Delta Plus XP	Diseminación en dolomías
DO-03-06	Pirita	-2,5	Delta Plus XP	Diseminación en dolomías
DO-03-08	Esfalerita I	12,8	Delta Plus XP	Filón
DO-03-08	Pirita	12,8	Delta Plus XP	Filón, asociada a dol IIIa
DO-03-10	Galena	6,1	Delta C	Diseminación en dolomías
DO-03-10	Esfalerita	9,5	Delta Plus XP	Diseminación en dolomías
DO-03-10	Esfalerita	4,8	Delta Plus XP	Diseminación en dolomías
DO-03-12	Galena	6,6	Delta C	Diseminación en dolomías
DO-03-12	Esfalerita	11,2	Delta Plus XP	Diseminación en dolomías
Paul				
DO-04-01	Galena	8,4	Delta C	Sulfuros masivos
DO-04-01	Esfalerita II	12,0	Delta C	Sulfuros masivos
DO-04-01	Pirita/Marcasita	13,7	Delta C	Sulfuros masivos
DO-04-NI	Galena	8,7	Delta C	Diseminación en lutitas negras - Cristal 1
DO-04-NI	Galena	8,3	Delta C	Diseminación en lutitas negras - Cristal 2
DO-04-NI	Esfalerita I	10,8	Delta C	Diseminación en lutitas negras
DO-04-NI	Pirita	13,1	Delta C	Diseminación en lutitas negras

Tabla II.5: Valores de $\delta^{34}\text{S}$ en los sulfuros y sulfatos para las localidades estudiadas.

Muestra	Mineral	$\delta^{34}\text{S}$ (%o VCDT)	Equipo	Observaciones
Diapiro de Murguía				
Iturlum				
DM-02-01	Barita	17,5	Delta C	Cristales tabulares
Jugo				
DM-03-01	Barita	16,2	Delta C	Asociada a brechas
DM-03-01	Galena	5,0	Delta C	Asociada a brechas
DM-03-01	Esfalerita I	8,7	Delta C	Asociada a brechas
DM-03-02	Barita	16,9	Delta Plus XP	Asociada a betún, barita microcristalina
DM-03-02	Barita	17,0	Delta Plus XP	Asociada a betún, barita cristales tabulares
DM-03-02	Barita	16,9		Promedio
DM-03-02	Barita	20,6	Delta Plus XP	Asociada a calcita II
DM-03-03	Galena	8,4	Delta C	Asociada a brechas
DM-03-03	Esfalerita I / II	11,6	Delta Plus XP	Asociada a brechas
DM-03-04	Galena	4,1	Delta C	Filón
DM-03-05	Barita	16,3	Delta C	Filón
DM-03-05	Galena	4,2	Delta C	Filón
DM-03-05	Esfalerita I	7,8	Delta C	Filón
Mina de Vila				
DM-04-01	Barita	24,3	Delta C	Asociada a brechas
DM-04-02	Esfalerita	4,7	Delta Plus XP	Asociada a brechas, centro de cristal
DM-04-02	Esfalerita	4,5	Delta Plus XP	Asociada a brechas, borde de cristal
DM-04-02	Esfalerita	4,6		Promedio
Aperregui				
DM-05-01	Esfalerita I	10,4	Delta C	Asociada a brechas
DM-05-04	Pirita	12,7	Delta C	Asociada a brechas
DM-05-04	Pirita	12,9	Delta C	Asociada a brechas
DM-05-04	Pirita	12,8		Promedio
Beluntza				
DM-06-01	Barita	18,5	Delta C	Filón
DM-06-03	Barita	18,3	Delta C	Filón
DM-06-03	Galena	6,8	Delta C	Filón
DM-06-03	Galena	7,8	Delta C	Filón
DM-06-03	Esfalerita	11,0	Delta C	Filón
DM-06-04	Barita	21,9	Delta C	Filón
DM-06-04	Galena	7,2	Delta C	Filón
DM-06-04	Esfalerita	10,8	Delta C	Filón

Tabla II.5 (continuación): Valores de $\delta^{34}\text{S}$ en sulfuros y sulfatos para las localidades estudiadas.

Muestra	Mineral	$\delta^{34}\text{S}$ (%o VCDT)	Equipo	Observaciones
Diapiro de Murguía				
Altube				
Bloques en la escombrera				
DM-01-02	Esfalerita	11,8	Delta Plus XP	Diseminación en Fm. Valmaseda
DM-01-02	Galena	8,3	Delta Plus XP	Diseminación en Fm. Valmaseda
DM-01-02	Pirita	13,4	Delta Plus XP	Diseminación en Fm. Valmaseda
DM-01-03	Esfalerita	11,9	Delta Plus XP	Diseminación en Fm. Valmaseda
Sondeo Alt-1				
ALT-1_024,40	Pirita	-41,5	Delta C	Diseminación en ZCT
ALT-1_026,80	Pirita	8,4	Delta C	Diseminación en ZCT
ALT-1_031,30	Pirita	3,9	Delta Plus XP	Diseminación en ZCT, reemplaz. Brt/Clt
ALT-1_031,30	Pirita	4,5	Delta Plus XP	Diseminación en ZCT, reemplaz. Brt/Clt
ALT-1_031,30	Pirita	6,4	Delta Plus XP	Diseminación en ZCT, reemplaz. Brt/Clt
ALT-1_032,00	Pirita	6,0	Delta Plus XP	Diseminación en ZCT
ALT-1_035,80	Pirita	7,4	Delta C	Diseminación en ZCT
ALT-1_037,75	Pirita	-0,5	Delta Plus XP	Diseminación en ZCT
ALT-1_083,50	Pirita	15,9	Delta C	Diseminación en Fm. Valmaseda
ALT-1_107,00	Pirita	20,4	Delta C	Nivel semimásvivo en Fm. Valmaseda
ALT-1_108,25	Pirita	11,7	Delta C	Nivel semimásvivo en Fm. Valmaseda
ALT-1_110,70	Pirita	36,3	Delta C	Nivel semimásvivo en Fm. Valmaseda
ALT-1_122,00	Pirita	10,2	Delta C	Diseminación en Fm. Valmaseda
ALT-1_134,50	Pirita	35,2	Delta C	Diseminación en Fm. Valmaseda
Sondeo Alt-2				
ALT-2_172,20	Galena	10,9	Delta C	Pequeño filón en Fm. Valmaseda
ALT-2_172,20	Esfalerita I	13,6	Delta Plus XP	Diseminación en Fm. Valmaseda
ALT-2_186,60	Pirita	-39,8	Delta Plus XP	Pequeña geoda en Fm. Valmaseda
ALT-2_186,60	Barita	51,2	Delta Plus XP	Pequeña geoda en Fm. Valmaseda
ALT-2_193,50	Galena	8,0	Delta C	Pequeño filón en Fm. Valmaseda
ALT-2_193,50	Esfalerita I	14,2	Delta Plus XP	Diseminación en Fm. Valmaseda
ALT-2_198,30	Galena	12,0	Delta C	Sulfuros másvivos
ALT-2_198,30	Pirita	15,6	Delta C	Sulfuros másvivos
ALT-2_198,30	Esfalerita I	14,6	Delta C	Sulfuros másvivos
ALT-2_207,10	Esfalerita	15,1	Delta Plus XP	Diseminación en ZCT
ALT-2_207,10	Galena	7,6	Delta Plus XP	Diseminación en ZCT
ALT-2_207,10	Pirita	-9,1	Delta Plus XP	Diseminación en ZCT
ALT-2_237,00	Yeso	17,4	Delta C	Filón de yeso fibroso en ZCT
Sondeo Alt-3				
ALT-3_023,00	Pirita	11,6	Delta C	Diseminación en Fm. Valmaseda
ALT-3_036,70	Esfalerita I	8,2	Delta C	Pequeño filón en Fm. Valmaseda
ALT-3_040,90	Esfalerita	8,4	Delta C	Pequeño filón en Fm. Valmaseda
ALT-3_336,80	Pirita	10,5	Delta C	Diseminación en ZCT

Tabla II.5 (continuación): Valores de $\delta^{34}\text{S}$ en sulfuros y sulfatos para las localidades estudiadas.

Muestra	Mineral	$\delta^{34}\text{S}$ (%o VCDT)	Equipo	Observaciones
Diapiro de Murguía				
Altube (continuación)				
Sondeo ALT-4				
ALT- 4_142,60	Pirita	11,9	Delta C	Diseminación en Fm. Valmaseda
Sondeo ALT-5				
ALT-5_108,00	Pirita	12,6	Delta C	Diseminación en ZCT
ALT-5_111,80	Galena	11,2	Delta C	Sulfuros masivos
ALT-5_111,80	Pirita	13,8	Delta C	Sulfuros masivos
ALT-5_111,80	Esfalerita I	13,7	Delta C	Sulfuros masivos
ALT-5_116,00	Esfalerita	13,8	Delta Plus XP	Diseminación en ZCT
ALT-5_126,00	Esfalerita	14,3	Delta C	Diseminación en Fm. Valmaseda
Sondeo ALT-6				
ALT-6_144,00	Pirita	21,9	Delta C	Diseminación en Fm. Valmaseda
ALT-6_144,70	Pirita	22,8	Delta C	Diseminación en Fm. Valmaseda
ALT-6_145,30	Pirita	28,3	Delta C	Diseminación en Fm. Valmaseda
ALT-6_196,90	Esfalerita	12,0	Delta C	Pequeño filón en Fm. Valmaseda
ALT-6_196,90	Galena	9,5	Delta Plus XP	Pequeño filón en Fm. Valmaseda
ALT-6_198,00	Pirita	18,1	Delta C	Diseminación en Fm. Valmaseda
ALT-6_198,50	Galena	9,6	Delta C	Filón en Fm. Valmaseda
ALT-6_198,50	Esfalerita I / II	12,5	Delta C	Filón en Fm. Valmaseda
ALT-6_198,50	Pirita	14,1	Delta C	Filón en Fm. Valmaseda
ALT-6_205,80	Pirita	3,4	Delta C	Diseminación en ZCT
ALT-6_209,00	Galena	10,1	Delta C	Pequeño filón en ZCT
ALT-6_209,00	Esfalerita II	12,8	Delta C	Pequeño filón en ZCT
ALT-6_209,00	Pirita	12,3	Delta C	Pequeño filón en ZCT
ALT-6_230,50	Pirita	8,0	Delta Plus XP	Diseminación en ZCT
ALT-6_239,50	Pirita	8,2	Delta C	Diseminación en ZCT
ALT-6_239,50	Pirita	6,6	Delta Plus XP	Diseminación en ZCT
ALT-6_239,50	Pirita	7,1	Delta Plus XP	Diseminación en ZCT
ALT-6_269,40	Yeso	15,6	Delta C	Keuper: Yeso alabastrino
ALT-6_269,40	Yeso	15,9	Delta Plus XP	Keuper: Yeso alabastrino
ALT-6_269,40	Yeso	15,7		Promedio
ALT-6_305,45	Yeso	15,4	Delta Plus XP	Keuper: Yeso alabastrino

Tabla II.5 (continuación): Valores de $\delta^{34}\text{S}$ en sulfuros y sulfatos para las localidades estudiadas.

Muestra	Mineral	$\delta^{34}\text{S}$ (‰ VCDT)	Equipo	Observaciones
Diapiro de Murguía				
Altube (continuación)				
Sondeo ALT-7				
ALT-7_204,50	Pirita	12,5	Delta C	Diseminación en Fm. Valmaseda
ALT-7_206,40	Galena	6,8	Delta C	Sulfuros masivos, galena macrocristalina
ALT-7_206,40	Galena	8,5	Delta C	Sulfuros masivos, galena microcristalina
ALT-7_206,40	Pirita	13,6	Delta C	Sulfuros masivos
ALT-7_206,40	Esfalerita I	12,0	Delta C	Sulfuros masivos
ALT-7_207,00	Esfalerita	12,9	Delta Plus XP	Diseminación en Fm. Valmaseda
ALT-7_207,00	Pirita	13,4	Delta Plus XP	Diseminación en Fm. Valmaseda
ALT-7_210,00	Esfalerita II	12,0	Delta Plus XP	Diseminación en Fm. Valmaseda
ALT-7_210,00	Pirita	12,5	Delta Plus XP	Diseminación en Fm. Valmaseda
ALT-7_231,50	Galena	9,0	Delta Plus XP	Diseminación en Fm. Valmaseda
ALT-7_231,50	Esfalerita	12,2	Delta Plus XP	Diseminación en Fm. Valmaseda
ALT-7_233,10	Esfalerita II	10,4	Delta C	Pequeño filón en Fm. Valmaseda
ALT-7_233,20	Galena	7,7	Delta Plus XP	Asociada a filón de ccl en Fm. Valmaseda
ALT-7_233,20	Esfalerita I / II	9,2	Delta C	Asociada a filón de ccl en Fm. Valmaseda
ALT-7_233,20	Esfalerita I / II	12,9	Delta Plus XP	Asociada a filón de ccl en Fm. Valmaseda
ALT-7_233,20	Pirita	13,3	Delta Plus XP	Asociada a filón de ccl en Fm. Valmaseda
ALT-7_233,70	Esfalerita II	10,2	Delta Plus XP	Diseminación en Fm. Valmaseda
ALT-7_233,70	Pirita	7,4	Delta Plus XP	Diseminación en Fm. Valmaseda
ALT-7_275,50	Galena	7,3	Delta C	Diseminación en Fm. Valmaseda
ALT-7_275,50	Esfalerita I	10,4	Delta C	Diseminación en Fm. Valmaseda
ALT-7_276,20	Esfalerita I	5,8	Delta Plus XP	Diseminación en Fm. Valmaseda
ALT-7_307,50	Galena	7,3	Delta C	Pequeño filón en ZCT
ALT-7_307,50	Esfalerita	10,9	Delta C	Pequeño filón en ZCT
ALT-7_312,75	Pirita	11,7	Delta Plus XP	Diseminación en Fm. Valmaseda
ALT-7_313,25	Galena	8,3	Delta C	Pequeño filón en Fm. Valmaseda
ALT-7_313,25	Esfalerita II	9,1	Delta C	Pequeño filón en Fm. Valmaseda
Sondeo ALT-8				
ALT-8_109,80	Pirita	16,9	Delta C	Diseminación en Fm. Valmaseda
ALT-8_163,40	Pirita	15,7	Delta C	Diseminación en Fm. Valmaseda
ALT-8_231,60	Esfalerita I / II	11,9	Delta Plus XP	Diseminación en Fm. Valmaseda
ALT-8_231,60	Pirita	21,2	Delta Plus XP	Diseminación en Fm. Valmaseda
ALT-8_236,20	Pirita	48,1	Delta C	Diseminación en Fm. Valmaseda
ALT-8_330,60	Pirita	-5,9	Delta Plus XP	Diseminación en ZCT
Sondeo ALT-9				
ALT-9_132,75	Yeso	15,3	Delta C	Keuper: Yeso alabastrino
ALT-9_137,90	Pirita	-7,9	Delta C	Diseminación en ZCT
ALT-9_160,60	Pirita	13,2	Delta C	Asociada a filón de calcita gris
ALT-9_248,50	Pirita	22,5	Delta Plus XP	Diseminación en Fm. Valmaseda

Tabla II.5 (continuación): Valores de $\delta^{34}\text{S}$ en sulfuros y sulfatos para las localidades estudiadas.

Muestra	Mineral	$\delta^{34}\text{S}$ (‰ VCDT)	Equipo	Observaciones
Barambio				
DBA-01-01	Esfalerita	-8,0	Delta C	Filón
DBA-01-02	Esfalerita	-8,4	Delta C	Filón
DBA-01-03	Galena	-9,9	Delta C	Filón
DBA-01-03	Esfalerita	-7,7	Delta C	Filón
DBA-01-03	Calcopirita	-8,3	Delta Plus XP	Filón
DBA-01-04	Esfalerita	-10,0	Delta C	Filón
DBA-01-04	Esfalerita	-9,8	Delta Plus XP	Filón
DBA-01-04	Esfalerita	-9,9		Promedio
Proximidades de Barambio				
FV-22	Pirita	-2,6	Delta C	Diseminación en Fm. Valmaseda
FV-24	Pirita	5,6	Delta C	Diseminación en Fm. Valmaseda
Diapiro de Villasana de Mena				
Concejero				
VM-02-03	Esfalerita	-1,4	Delta Plus XP	Diseminación en Fm. Valmaseda
VM-02-03	Esfalerita	0,2	Delta Plus XP	Diseminación en Fm. Valmaseda
VM-02-03	Barita	17,6	Delta Plus XP	Diseminación en Fm. Valmaseda
Diapiro de Bou Khril (Túnez)				
BK-BF	Celestina	17,6	Delta Plus XP	Mineralización bandeada, banda oscura
BK-BC	Celestina	17,1	Delta Plus XP	Mineralización bandeada, banda clara
BK-BB2	Celestina	22,9	Delta Plus XP	Cristal milimétrico en banda clara

Tabla II.5 (continuación): Valores de $\delta^{34}\text{S}$ en sulfuros y sulfatos para las localidades estudiadas.

Muestra	Mineral	$\delta^{13}\text{C}$ (‰ VPDB)	$\delta^{18}\text{O}$ (‰ VSMOW)	$^{87}\text{Sr}/^{86}\text{Sr}$	Equipo utilizado	Observaciones
Diapiro de Murguía						
Altube						
Encajante ZCT - Matriz de dolomita (Dol IIa)						
ALT-1_023,60	Dolomita	-7,0	22,1		MAT-252	Matriz dolomítica ZCT
ALT-1_026,80	Dolomita	-7,1	23,2		Delta S	Matriz dolomítica ZCT
ALT-1_026,80	Dolomita	-6,8	25,0		MAT-252	Matriz dolomítica ZCT, nuevo muestreo
ALT-1_029,80	Dolomita	-6,4	19,6		MAT-252	Cristal idiomórfico en la matriz
ALT-1_031,30	Dolomita	-6,0	23,6		MAT-252	Matriz dolomítica ZCT, incluye pseudomorfos en Py de Brt o Clt
ALT-1_031,80	Dolomita	-6,2	22,7		MAT-252	Matriz dolomítica ZCT
ALT-1_032,00	Dolomita	-3,1	23,2		MAT-252	Matriz dolomítica ZCT
ALT-1_035,80	Dolomita	-5,7	25,0		MAT-252	Matriz dolomítica ZCT
ALT-1_037,75	Dolomita	-5,2	25,2		Delta S	Matriz dolomítica ZCT
ALT-1_037,75	Dolomita	-5,3	24,3		MAT-252	Matriz dolomítica ZCT, nuevo muestreo
ALT-1_037,75	Dolomita	-9,9	25,8		MAT-252	Cristal idiomórfico en la matriz
ALT-1_041,10	Dolomita	-7,2	24,4		Delta S	Matriz dolomítica ZCT
ALT-1_041,10	Dolomita	-11,2	25,2		MAT-252	Matriz dolomítica ZCT, nuevo muestreo
ALT-1_046,00	Dolomita	-0,9	18,8		MAT-252	Matriz dolomítica ZCT
ALT-2_225,90	Dolomita	0,9	19,8		MAT-252	Matriz dolomítica ZCT
ALT-3_341,80	Dolomita	-6,4	19,5		MAT-252	Matriz dolomítica ZCT
ALT-6_206,70	Dolomita	-4,7	21,9		MAT-252	Matriz dolomítica ZCT
ALT-6_224,00	Dolomita	-3,4	21,0		MAT-252	Matriz dolomítica ZCT
ALT-6_230,50	Dolomita	-1,1	20,3		MAT-252	Matriz dolomítica ZCT
ALT-6_239,50	Dolomita	-4,5	20,5		MAT-252	Matriz dolomítica ZCT
ALT-7_307,50	Dolomita	-9,9	23,9		MAT-252	Matriz dolomítica ZCT
ALT-7_308,00	Dolomita	-12,4	24,9		MAT-252	Matriz dolomítica ZCT
ALT-7_345,45	Dolomita	-5,3	19,5		MAT-252	Matriz dolomítica ZCT
ALT-8_330,60	Dolomita	-5,4	19,7		MAT-252	Cristal idiomórfico en la matriz
Encajante ZCT - Matriz de calcita						
ALT-9_137,90	Calcita	-3,7	18,2		Delta S	Matriz de cristales escalenoidélicos, zonación a catodoluminiscencia, características de cc II
ZCT - Dolomita en filones y geodas (Dolomita III)						
ALT-1_023,60	Dolomita	-6,0	21,3		MAT-252	Dolomita saddle en geoda
ALT-1_026,80	Dolomita	-4,3	20,2		MAT-252	Dolomita saddle blanca dispersa en la matriz
ALT-1_046,00	Dolomita	-5,1	21,1		MAT-253	Dolomita saddle blanca dispersa en la matriz
ALT-1_041,10	Dolomita	-2,8	20,6		MAT-252	Dolomita saddle en filón
ALT-1_041,10	Dolomita	1,4	20,6		Delta S	Dolomita saddle en filón
ALT-6_224,00	Dolomita	1,3	19,5		MAT-252	Dolomita saddle en filón

Tabla II.6: Valores de $\delta^{13}\text{C}_{\text{VPDB}}$, $\delta^{18}\text{O}_{\text{VSMOW}}$ y $^{87}\text{Sr}/^{86}\text{Sr}$ en carbonatos para las localidades estudiadas.

Muestra	Mineral	$\delta^{13}\text{C}$ (‰ VPDB)	$\delta^{18}\text{O}$ (‰ VSMOW)	$^{87}\text{Sr}/^{86}\text{Sr}$	Equipo utilizado	Observaciones
Diapiro de Murguía						
Altube (continuación)						
ALT-6_230,50	Calcita	-7,4	19,7	MAT-252	Calcita espática blanca en filón.	
ZCT - Calcita en pequeños filones y geodas (Calcita I)						
ALT-1_029,80	Calcita	-5,8	22,5	MAT-252	Pequeño filón de cristales escalenóédricos	
ALT-3_341,80	Calcita	-15,0	20,3	MAT-252	Geoda de calcita escalenóédrica	
ALT-6_201,40	Calcita	-5,3	19,0	MAT-252	Filón de calcita escalenóédrica	
ALT-6_239,50	Calcita	-4,3	18,5	MAT-252	Geoda de calcita escalenóédrica	
ALT-6_239,50	Calcita	-6,7	18,5	MAT-252	Geoda de calcita escalenóédrica. Muestreo en otro punto	
ALT-7_345,45	Calcita	-3,9	18,4	MAT-252	Geoda de calcita escalenóédrica	
ZCT - Calcita gris en filones						
ALT-6_198,00	Calcita	-5,4	22,9	0,71078	Delta S	Filón de calcita gris
ALT-6_198,00	Calcita	2,4	23,3	MAT-252	Filón de calcita gris, nuevo muestreo	
ALT-6_201,40	Calcita	0,5	22,3	MAT-252	Filón de calcita gris	
ALT-6_201,40	Calcita	4,7	22,7	MAT-252	Filón de calcita gris	
ALT-6_206,70	Calcita	-4,0	23,5	MAT-252	Filón de calcita gris	
ALT-9_160,60	Calcita	-11,0	22,0	0,71052	Delta S	Zona 1 "Borde"
ALT-9_160,60	Calcita	-14,0	22,8	MAT-252	Zona 1 "Borde"	
ALT-9_160,60	Calcita	-5,2	21,3	MAT-252	Zona 1 "Borde"	
ALT-9_160,60	Calcita	-1,0	18,8	MAT-252	Zona 1 "Borde"	
ALT-9_160,60	Calcita	-12,6	22,9	MAT-252	Zona 1 "Borde"	
ALT-9_160,60	Calcita	-3,4	23,0	MAT-252	Zona 1 "Borde"	
ALT-9_160,60	Calcita	4,3	23,2	Delta S	Zona 2 "Centro"	
ALT-9_160,60	Calcita	4,8	23,4	MAT-252	Zona 2 "Centro"	
ALT-9_160,60	Calcita	4,6	23,6	MAT-252	Zona 2 "Centro"	
ALT-9_160,60	Calcita	5,0	24,6	MAT-252	Zona 2 "Centro"	
ALT-9_160,60	Calcita	5,0	23,9	MAT-252	Zona 2 "Centro"	
ALT-9_160,60	Calcita	5,8	24,1	MAT-252	Zona 2 "Centro"	
ALT-9_160,60	Calcita	4,7	24,1	MAT-252	Zona 2 "Centro"	
ALT-9_160,60	Calcita	1,7	19,4	MAT-252	Zona 3 Filoncillo central	
Encajante carbonatado Fm. Valmaseda						
ALT-1_110,70	Calcita	0,5	20,4	Delta S	Nivel carbonatado	
ALT-3_036,70	Calcita	0,1	20,0	Delta S	Nivel carbonatado	
ALT-4_133,85	Calcita	-1,7	18,8	Delta S	Nivel carbonatado rico en orbitolinas y en componentes detriticos	
ALT-6_145,30	Calcita	1,5	20,0	Delta S	Nivel carbonatado	
ALT-3_328,00	Dolomita	-5,2	20,9	Delta S	Nivel carbonatado dolomitizado, rico en componentes detriticos	
ALT-7_276,20	Dolomita	-2,1	20,9	Delta S	Nivel carbonatado dolomitizado, presencia de esfalerita y galena diseminadas	

Tabla II.6 (continuación): Valores de $\delta^{13}\text{C}_{(\text{V-PDB})}$, $\delta^{18}\text{O}_{(\text{V-SMOW})}$ y $^{87}\text{Sr}/^{86}\text{Sr}$ en carbonatos para las localidades estudiadas.

Muestra	Mineral	$\delta^{13}\text{C}$ (‰ VPDB)	$\delta^{18}\text{O}$ (‰ VSMOW)	$^{87}\text{Sr}/^{86}\text{Sr}$	Equipo Utilizado	Observaciones
Diapiro de Murguía						
Altube (continuación)						
Dolomita saddle en filones (Dolomita III, ore stage)						
ALT-1_134,50	Dolomita	-0,5	20,0	MAT-252	Dolomita saddle, tapiza las paredes del filón	
ALT-3_040,90	Dolomita	-0,9	17,6	MAT-252	Dolomita saddle blanca, asociada a calcita espática	
ALT-5_116,00	Dolomita	3,5	19,6	MAT-252	Dolomita saddle	
ALT-6_144,00	Dolomita	0,1	18,4	Delta S	Dolomita saddle gris asociada a pirita	
ALT-7_312,75	Dolomita	-3,2	19,5	MAT-252	Dolomita saddle amarilla, asociada a sulfuros	
ALT-7_313,25	Dolomita	-1,0	19,3	MAT-252	Dolomita saddle blanca, asociada a calcita espática y sulfuros	
ALT-9_175,60	Dolomita	1,4	19,8	MAT-252	Dolomita saddle amarilla	
ALT-9_202,80	Dolomita	0,2	19,8	Delta S	Dolomita saddle amarilla	
Calcita espática en filones (Calcita I, ore stage)						
ALT-1_110,70	Calcita	-0,2	19,0	Delta S	Calcita espática blanca, asociada a filón de py.	
ALT-1_134,50	Calcita	-0,3	18,0	MAT-252	Calcita espática.	
ALT-2_172,20	Calcita	-4,9	18,5	Delta S	Calcita espática asociada a sulfuros	
ALT-2_180,10	Calcita	2,0	17,4	MAT-252	Calcita espática asociada a sulfuros	
ALT-2_193,50	Calcita	2,3	17,7	0,71135	Calcita espática asociada a sulfuros	
ALT-2_193,50	Calcita	2,5	17,0	MAT-252	Calcita espática asociada a sulfuros, nuevo muestreo	
ALT-3_035,20	Calcita	-0,3	18,9	Delta S	Calcita espática	
ALT-3_036,70	Calcita	-0,2	20,1	Delta S	Calcita espática asociada a sulfuros	
ALT-3_040,90	Calcita	-0,2	19,1	Delta S	Calcita espática asociada a sulfuros	
ALT-5_116,00	Calcita	2,2	18,4	MAT-252	Calcita espática, relleno intersticial entre cristales de dolomita saddle	
ALT-5_126,00	Calcita	-0,2	18,5	Delta S	Calcita espática	
ALT-6_144,00	Calcita	0,2	18,9	Delta S	Calcita espática blanca, asociada a filón de py.	
ALT-6_145,30	Calcita	0,5	18,7	Delta S	Calcita espática blanca, asociada a filón de py.	
ALT-6_194,00	Calcita	-1,3	18,8	Delta S	Calcita espática.	
ALT-6_196,90	Calcita	-1,2	18,2	MAT-252	Calcita espática asociada a sulfuros	
ALT-6_198,50	Calcita	0,8	18,5	Delta S	Calcita espática.	
ALT-7_233,20	Calcita	2,1	18,0	0,71202	Calcita espática asociada a sulfuros	
ALT-7_233,20	Calcita	2,4	17,5	MAT-252	Calcita espática asociada a sulfuros, nuevo muestreo	
ALT-7_307,50	Calcita	-1,5	17,9	Delta S	Calcita espática asociada a sulfuros, encajante ZCT	
ALT-9_175,60	Calcita	1,2	18,9	Delta S	Calcita espática asociada a sulfuros	
ALT-9_202,80	Calcita	0,4	18,5	Delta S	Calcita espática.	
Calcita escalenóédrica / espártica (Calcita II)						
ALT-1_134,50	Calcita	-0,6	18,8	MAT-252	Calcita tardía, pequeño filón de calcita espártica	
ALT-2_186,60	Calcita	-4,7	20,1	MAT-252	Calcita escalenóédrica, tapiza geoda	
ALT-3_036,70	Calcita	1,8	22,2	Delta S	Calcita tardía, pequeño filón	
ALT-3_336,80	Calcita	-4,8	17,5	MAT-252	Calcita escalenóédrica, tapiza geoda	
ALT-6_194,00	Calcita	-4,5	20,3	MAT-252	Calcita escalenóédrica, tapiza geoda	
ALT-6_209,00	Calcita	-2,5	18,0	MAT-252	Calcita tardía, pequeño filón	
ALT-7_276,20	Calcita	-3,5	16,6	MAT-252	Calcita tardía, pequeño filón	

Tabla II.6 (continuación): Valores de $\delta^{13}\text{C}_{(\text{V-PDB})}$, $\delta^{18}\text{O}_{(\text{V-SMOW})}$ y $^{87}\text{Sr}/^{86}\text{Sr}$ en carbonatos para las localidades estudiadas.

Muestra	Mineral	$\delta^{13}\text{C}$ (‰ VPDB)	$\delta^{18}\text{O}$ (‰ VSMOW)	$^{87}\text{Sr}/^{86}\text{Sr}$	Equipo utilizado	Observaciones
Diapiro de Murguía						
Altube (continuación)						
Calcita reemplazante (Calcita I, ore stage en diseminaciones)						
ALT-1_134-50 ALT-3_023.00 ALT-3_040.90 ALT-6_198.00 ALT-7_194.30 ALT-7_197.50 ALT-7_283.50 ALT-7_283.50 ALT-7_283.50 ALT-7_283.50	Calcita Calcita Calcita Calcita Calcita Calcita Calcita Calcita Calcita Calcita	-1,0 -2,0 0,1 -0,4 0,5 -1,8 -13,2 -13,6 -14,5 -13,8	22,8 19,4 21,6 20,8 19,3 20,4 17,4 17,4 17,1 17,3		MAT-252 MAT-252 MAT-252 MAT-252 MAT-252 MAT-252 Delta S MAT-252 MAT-252	Presencia de abundantes bioclastos, pueden haber afectado a la firma isotópica.
Iturilum						
Encajante (Dolomita 0)						
DM-02-01 DM-02-01 DM-02-01 DM-02-02	Dolomita Dolomita Dolomita Dolomita	2,2 -1,8 -1,7 -1,4	28,0 24,4 23,8 24,4		MAT-252 MAT-252 MAT-252 Delta S	Clasto de encajante englobado en la barita, color gris Banda de dolomita asociada a barita, color marrón. Posible origen sedimentario (trazas estratificación) Banda de dolomita asociada a barita, color marrón, similar a la anterior. Dolomita marrón asociada a barita, en bandas microcristalinas
Dolomita IIb						
It-16-04	Dolomita	-12,6	24,4		MAT-252	Dolomita gris, no mineralizada. Probablemente ZCT.
Jugo						
Rocas carbonatadas sedimentarias del entorno de Jugo						
Ju-2 FV-2A FV-2B	Calcita Calcita Calcita	1,6 0,1 -1,5	26,7 21,2 22,6		Delta S Delta S Delta S	Nódulo carbonatado en Nivel Anoxic Fm. Valmaseda Barra arrecifal Fm. Valmaseda. Barra arrecifal Fm. Valmaseda.
ZCT - BRECHAS						
Clastos en brechas (Dolomita 0)						
DM-03-01 DM-03-02 DM-03-03 DM-03-03 Ju-16-02 Ju-16-03	Dolomita Dolomita Dolomita Dolomita Dolomita Dolomita	0,1 -5,4 -2,6 -1,2 0,4 -0,2	27,9 27,8 27,6 28,2 27,5 28,7		MAT-252 MAT-252 Delta S MAT-252 MAT-252 MAT-252	Clasto dolomítico en brecha de la ZCT mineralizada Clasto dolomítico en brecha de la ZCT mineralizada Clasto dolomítico en brecha de la ZCT mineralizada Clasto dolomítico en brecha de la ZCT mineralizada, nuevo análisis Clasto dolomítico en brecha de la ZCT no mineralizada, muestrada en afloramiento cerca de la mina Clasto dolomítico en brecha de la ZCT no mineralizada, muestrada en afloramiento cerca de la mina

Tabla II.6 (continuación): Valores de $\delta^{13}\text{C}_{(\text{V}-\text{PDB})}$, $\delta^{18}\text{O}_{(\text{V}-\text{SMOW})}$ y $^{87}\text{Sr}/^{86}\text{Sr}$ en carbonatos para las localidades estudiadas.

Muestra	Mineral	$\delta^{13}\text{C}$ (‰ VPDB)	$\delta^{18}\text{O}$ (‰ VSMOW)	$^{87}\text{Sr}/^{86}\text{Sr}$	Equipo utilizado	Observaciones
Jugo (continuación)						
Dolomita saddle blanca de clasificación problemática (¿Dolomita III?)						
DM-03-01	Dolomita	0,8	23,9		MAT-252	Dolomita <i>saddle</i> blanca, cristales aislados englobados en barita y betún, relación con los sulfuros no evidente.
DM-03-01	Dolomita	-0,8	21,2		MAT-252	Dolomita <i>saddle</i> blanca, asociada a barita y betún. Nuevo muestreo en la misma muestra de mano.
DM-03-02	Dolomita	-0,5	21,5		MAT-252	Dolomita <i>saddle</i> blanca, cristales aislados englobados en barita y betún. Relación con los sulfuros no evidente.
Dolomita IIb						
DM-03-01	Dolomita	-5,1	22,7		MAT-252	Dolomita gris, relleno de las brechas.
DM-03-01	Dolomita	-7,5	24,1		MAT-252	Dolomita gris, relleno de las brechas. Muestreo en otro punto de la misma muestra de mano.
DM-03-02	Dolomita	-6,1	24,5		MAT-252	Dolomita gris, relleno de las brechas.
DM-03-03	Dolomita	-6,0	22,6		MAT-252	Dolomita gris, relleno de las brechas.
Dolomita III						
DM-03-02	Dolomita	-5,4	23,9		MAT-252	Dolomita <i>saddle</i> blanca, ore stage, asociada a dolomita gris en el relleno de las brechas.
DM-03-03	Dolomita	-10,0	22,4		Delta S	Dolomita <i>saddle</i> blanca, ore stage, asociada a dolomita gris en el relleno de las brechas.
DM-03-03	Dolomita	-5,9	22,7		Delta S	Dolomita <i>saddle</i> blanca, ore stage. Muestreo en otro punto de la misma muestra de mano.
DM-03-03	Dolomita	-7,7	22,6		MAT-252	Dolomita <i>saddle</i> blanca, ore stage. Muestreo en otro punto de la misma muestra de mano.
DM-03-03	Dolomita	-7,4	22,5		MAT-252	Dolomita <i>saddle</i> blanca, ore stage, cristales aislados englobados en galena.
Dolomita IV						
DM-03-03	Dolomita	-12,3	23,6		MAT-252	Dolomita <i>saddle</i> blanca. Pequeños filones tardíos
DM-03-03	Dolomita	-12,1	23,5		MAT-252	Dolomita <i>saddle</i> blanca. Pequeños filones tardíos
Calcita esparítica (Cal Ib)						
DM-03-01	Calcita	-7,1	23,8		Delta S	Calcita esparítica asociada a sulfuros, pequeño filón asociado al relleno de brechas.
DM-03-01	Calcita	-11,3	24,4		MAT-252	Calcita esparítica asociada a sulfuros, pequeño filón asociado al relleno de brechas. Muestreo en el borde.
DM-03-01	Calcita	-8,2	23,8		MAT-252	Calcita esparítica asociada a sulfuros, pequeño filón asociado al relleno de brechas. Muestreo en el centro.
DM-03-01	Calcita	-6,9	25,2		MAT-252	Calcita esparítica asociada a sulfuros, pequeño filón asociado al relleno de brechas. Muestreo en el centro.
DM-03-02	Calcita	-10,3	24,9	0,70986	Delta S	Calcita esparítica asociada a sulfuros en brecha
DM-03-02	Calcita	-8,1	25,3		MAT-252	Calcita esparítica asociada a sulfuros en brecha, nuevo muestreo en la misma muestra de mano.
FILONES						
Dolomita de clasificación problemática						
DM-03-04	Dolomita	1,1	24,1		Delta S	Dolomita <i>saddle</i> marrón, zonada y brechificada (Dol X)
DM-03-04	Dolomita	2,2	23,4		MAT-252	Dolomita <i>saddle</i> marrón, zonada y brechificada. Zona periférica del cristal (Dolomita X)
DM-03-04	Dolomita	1,7	23,5		MAT-252	Dolomita <i>saddle</i> marrón, zonada y brechificada. Zona central del cristal (Dolomita X)
DM-03-05	Dolomita	1,2	21,3		MAT-252	Dolomita <i>saddle</i> blanca, cristales aislados englobados en barita.

Tabla II.6 (continuación): Valores de $\delta^{13}\text{C}_{\text{VPDB}}$, $\delta^{18}\text{O}_{\text{VSMOW}}$ y $^{87}\text{Sr}/^{86}\text{Sr}$ en carbonatos para las localidades estudiadas.

Muestra	Mineral	$\delta^{13}\text{C}$ (‰ VPDB)	$\delta^{18}\text{O}$ (‰ VSMOW)	$^{87}\text{Sr}/^{86}\text{Sr}$	Equipo utilizado	Observaciones
Jugo (continuación)						
FILONES						
Dolomita III						
DM-03-04	Dolomita	-8,8	24,5		MAT-252	Dolomita <i>saddle</i> blanca. Cementa fragmentos de <i>saddle</i> marrón zonada.
Calcita espártica (¿cc I?)						
DM-03-05	Calcita	-1,1	20,8	0,711157	Delta S	Calcita espártica asociada a sulfuros y barita.
Calcita esparítica (¿cc II?)						
DM-03-04 DM-03-04	Calcita Calcita	-7,9 -6,5	21,4 21,4		Delta S MAT-252	Calcita esparítica, centro del filón Calcita esparítica, centro del filón. Nuevo muestreo
Mina de Vila						
Dolomita <i>saddle</i> gris (¿Dolomita II?)						
DM-04-02	dol	1,4	21,3		MAT-252	Dolomita <i>saddle</i> gris ore stage
Dolomita <i>saddle</i> blanca (¿Dolomita III?)						
DM-04-02	dol	-0,5	20,4		MAT-252	Dolomita <i>saddle</i> blanca ore stage
Calcita esparítica (¿Calcita II?)						
DM-04-02	cc	-4,4	19,6		MAT-252	Cristales escalenoédricos tapizando cavidades en el centro del filón, probablemente Calcita II.
Aperregui						
Clastos (Dolomita 0)						
DM-05-01 DM-05-04	Dolomita Dolomita	-1,0 -3,8	28,2 27,0		MAT-252 Delta S	Clasto/relict dolomítico en brechas Clasto/relict dolomítico en brechas
Encajante (¿ZCT?)						
Ap-16-02 Ap-16-03	Dolomita Dolomita	-4,7 -10,4	26,6 23,8		MAT-252 MAT-252	Encajante no mineralizado ni brechificado, a una distancia de pocos metros de la mineralización Encajante no mineralizado ni brechificado, a una distancia de pocos metros de la mineralización
Dolomita IIb						
DM-05-01 DM-05-01	Dolomita Dolomita	-4,4 -4,6	22,8 22,2		MAT-252 MAT-252	Dolomita gris oscuro, cemento de las brechas Dolomita gris medio, cemento de las brechas

Tabla II.6 (continuación): Valores de $\delta^{13}\text{C}_{(\text{VPDB})}$, $\delta^{18}\text{O}_{(\text{VSMOW})}$ y $^{87}\text{Sr}/^{86}\text{Sr}$ en carbonatos para las localidades estudiadas.

Muestra	Mineral	$\delta^{13}\text{C}$ (‰ VPDB)	$\delta^{18}\text{O}$ (‰ VSMOW)	$^{87}\text{Sr}/^{86}\text{Sr}$	Equipo utilizado	Observaciones
Diapiro de Murguía						
Aperregui (continuación)						
Dolomita III						
DM-05-01	Dolomita	-9,2	22,8		Delta S	Dolomita <i>saddle</i> blanca, cemento de las brechas, asociada a sulfuros y betún.
DM-05-01	Dolomita	-8,6	22,1		MAT-252	Dolomita <i>saddle</i> blanca, cemento de las brechas, asociada a sulfuros y betún. Nuevo muestreo
DM-05-04	Dolomita	-7,7	22,3		Delta S	Dolomita <i>saddle</i> blanca, cemento de las brechas, asociada a sulfuros y betún
Dolomita IV						
DM-05-01	Dolomita	-12,5	23,0		MAT-252	Filones de dolomita <i>saddle</i> tardía
DM-05-01	Dolomita	-13,7	22,5		MAT-252	Filones de dolomita <i>saddle</i> tardía, nuevo muestreo.
DM-05-01	Dolomita	-12,4	23,1		MAT-252	Filones de dolomita <i>saddle</i> tardía, nuevo muestreo.
DM-05-01	Dolomita	-12,3	23,1		MAT-252	Filones de dolomita <i>saddle</i> tardía, nuevo muestreo.
Beluntza						
Encajante (Caliza Cenomaniense)						
Bel-1_099,85	Calcita	2,6	24,7		Delta S	Caliza del Cenomaniense. Sondeo Beluntza-1
Bel-1_218,65	Calcita	2,3	23,0		Delta S	Caliza del Cenomaniense. Sondeo Beluntza-1
Bel-1_330,50	Calcita	1,3	23,5		Delta S	Caliza del Cenomaniense. Sondeo Beluntza-1
DM-06-02	Dolomita	0,7	24,9		MAT-252	Encajante carbonatado - Caliza del Cenomaniense
Calcita espática						
DM-06-01	Calcita	-1,7	18,3		MAT-252	Calcita espática asociada a sulfuros
DM-06-01	Calcita	-1,1	21,1		MAT-252	Calcita espática asociada a sulfuros. Nuevo muestreo
DM-06-01	Calcita	0,5	22,3		MAT-252	Calcita espática asociada a sulfuros. Nuevo muestreo
DM-06-01	Calcita	-1,6	22,1		MAT-252	Calcita espática asociada a sulfuros. Nuevo muestreo
DM-06-02	Calcita	-2,3	16,1		MAT-252	Calcita espática asociada a sulfuros. Nuevo muestreo
DM-06-02	Calcita	-3,0	21,8		MAT-252	Calcita espática asociada a sulfuros. Nuevo muestreo
Diapiro de Ordaña						
Artomaña						
Encajante (Caliza Turoniente)						
DO-01-01	Calcita	1,1	27,3		MAT-252	Encajante (Caliza Tunoniente)
DO-01-03	Calcita	0,6	27,3		Delta S	Encajante (Caliza Tunoniente)
DO-01-04	Calcita	0,5	27,3		Delta S	Encajante (Caliza Tunoniente)

Tabla II.6 (continuación): Valores de $\delta^{13}\text{C}_{(\text{V-PDB})}$, $\delta^{18}\text{O}_{(\text{V-SMOW})}$ y $^{87}\text{Sr}/^{86}\text{Sr}$ en carbonatos para las localidades estudiadas.

Muestra	Mineral	$\delta^{13}\text{C}$ (‰ VPDB)	$\delta^{18}\text{O}$ (‰ VSMOW)	$^{87}\text{Sr}/^{86}\text{Sr}$	Equipo utilizado	Observaciones
Diapiro de Orduña						
Artomaña (continuación)						
	Dolomita idiomórfica pre-sin betún					
DO-01-01	Dolomita	1,0	18,3		Delta S	Cristal de dolomita incluido en betún
DO-01-01	Dolomita	0,7	18,7		MAT-252	Cristal de dolomita incluido en betún
DO-01-02	Dolomita	1,3	19,2		MAT-252	Cristal de dolomita incluido en betún
	Calcita asociada con betún					
DO-01-01	Calcita	-5,83	24,4		MAT-252	
DO-01-02	Calcita	-8,97	24,6		MAT-252	
	Calcita relleno de fracturas en betún					
DO-01-02	Calcita	-6,51	20,8		MAT-252	Totalmente libre de betún
DO-01-02	Calcita	-4,74	21,6		MAT-252	Libre de betún
DO-01-02	Calcita	-4,21	23,0		MAT-252	Betún < 5%
DO-01-02	Calcita	-3,22	24,0		MAT-252	Betún < 5%
	La Antigua					
	Dolomita saddle (Dolomita III)					
DO-02-04	Dolomita	0,1	24,3		MAT-252	Dolomita saddle blanca englobada en la calcita
	Calcita espática (Calcita I)					
DO-02-02	Calcita	1,7	24,9		Delta S	Calcita espática asociada a sulfuros
DO-02-04	Calcita	-1,3	24,2		Delta S	Calcita espática asociada a sulfuros
DO-02-04	Calcita	-0,6	23,7		MAT-252	Calcita espática asociada a sulfuros, nuevo muestreo
DO-02-04	Calcita	1,4	24,7		MAT-252	Calcita espática asociada a sulfuros, nuevo muestreo
DO-02-05	Calcita	1,8	25,1		Delta S	Calcita espática asociada a sulfuros
DO-02-06	Calcita	1,7	25,0		Delta S	Calcita espática asociada a sulfuros
DO-02-07	Calcita	1,9	25,1		Delta S	Calcita espática asociada a sulfuros

Tabla II.6 (continuación): Valores de $\delta^{13}\text{C}_{(\text{VPDB})}$, $\delta^{18}\text{O}_{(\text{VSMOW})}$ y $^{87}\text{Sr}/^{86}\text{Sr}$ en carbonatos para las localidades estudiadas.

Muestra	Mineral	$\delta^{13}\text{C}$ (‰ VPDB)	$\delta^{18}\text{O}$ (‰ VSMOW)	$^{87}\text{Sr}/^{86}\text{Sr}$	Equipo Utilizado	Observaciones
Diapiro de Orduna						
Montaleón						
Encajante (Caliza Turoniana dolomitizada)						
DO-03-00	Dolomita	-0,8	23,0		MAT-252	Caliza Turoniana dolomitizada
DO-03-02	Dolomita	-0,1	23,9		Delta S	Caliza Turoniana dolomitizada
DO-03-03	Dolomita	0,2	24,5		Delta S	Caliza Turoniana dolomitizada
DO-03-04	Dolomita	-1,0	24,7		Delta S	Caliza Turoniana dolomitizada
DO-03-05	Dolomita	-2,2	24,3	MAT-252	Caliza Turoniana dolomitizada	
DO-03-06	Dolomita	-0,6	23,7	Delta S	Caliza Turoniana dolomitizada	
DO-03-12	Dolomita	0,7	23,7	Delta S	Caliza Turoniana dolomitizada	
Dolomita IIIa - ore stage - Color verdeo (incluye cristales de py de grano fino)						
DO-03-00	Dolomita	-1,7	24,0		MAT-252	Dolomita saddle con pirita de grano fino, láminas en calcita I, paralelas a la exfoliación.
DO-03-02	Dolomita	-1,7	24,5		MAT-252	Dolomita saddle con pirita, filón en el encajante
DO-03-04	Dolomita	-4,8	24,0		MAT-252	Dolomita saddle con pirita, en filón, asociada a galena
DO-03-08	Dolomita	-3,0	24,3		MAT-252	Dolomita saddle con pirita, asociada a esfalerita
DO-03-09	Dolomita	-1,6	24,7		MAT-252	Dolomita saddle con pirita, asociada a esfalerita
DO-03-10	Dolomita	-4,7	23,8		MAT-252	Dolomita saddle con pirita, asociada a esfalerita
DO-03-12	Dolomita	-4,1	23,5		MAT-252	Dolomita saddle con pirita, filón, asociada a galena
Dolomita IIIb - ore stage - Color blanco (libre de pirita) Filones < 1 cm de potencia e intersticios en sulfuros						
DO-03-02	Dolomita	-0,6	25,2		MAT-252	Dolomita saddle blanca. Potencia del filón < 1 cm.
DO-03-03	Dolomita	-4,9	25,1		Delta S	Dolomita saddle blanca. Potencia del filón < 1 cm.
DO-03-05	Dolomita	-1,7	25,4		Delta S	Dolomita saddle blanca. Potencia del filón < 1 cm.
DO-03-05	Dolomita	-2,1	25,2	MAT-252	Repetición del análisis con MAT-252	
DO-03-06	Dolomita	-0,7	22,2	MAT-252	Dolomita saddle blanca. Potencia del filón < 1 cm.	
DO-03-09	Dolomita	1,0	25,9	Delta S	Dolomita saddle blanca. Potencia del filón < 1 cm.	
DO-03-09	Dolomita	1,0	25,6	MAT-252	Repetición del análisis con MAT-252	
DO-03-09	Dolomita	-4,5	24,4	MAT-252	Dolomita saddle blanca. Potencia del filón < 1 cm, se trata de otro filón distinto del anterior	
DO-03-09	Dolomita	-2,2	25,4	MAT-252	Dolomita saddle blanca. Potencia del filón < 1 cm, se trata de otro filón distinto del anterior	
DO-03-12	Dolomita	-0,5	23,4	MAT-252	Dolomita saddle blanca, ocupa intersticios en banda semimásviva de sph y gn.	
Dolomita IIIb - ore stage - Color blanco (libre de pirita) Filones > 10 cm de potencia						
DO-03-01	Dolomita	0,6	25,7		Delta S	Dolomita saddle asociada a calcita. Filón decimétrico
DO-03-01	Dolomita	0,8	25,7	MAT-252	Repetición del análisis con MAT-252	
Dolomita IIIb - ore stage - Color blanco (libre de pirita) Reemplaza a esfalerita diseminada						
DO-03-04	Dolomita	0,1	23,3		MAT-252	Dolomita saddle blanca, reemplaza a sph I
DO-03-05	Dolomita	-2,3	25,0		MAT-252	Dolomita saddle blanca, reemplaza a sph I
DO-03-05	Dolomita	-1,4	25,4		MAT-252	Analisis en otro punto de la misma muestra
DO-03-05	Dolomita	-1,6	25,3		MAT-252	Analisis en otro punto de la misma muestra

Tabla II.6 (continuación): Valores de $\delta^{13}\text{C}_{(\text{VPDB})}$, $\delta^{18}\text{O}_{(\text{VSMOW})}$ y $^{87}\text{Sr}/^{86}\text{Sr}$ en carbonatos para las localidades estudiadas.

Muestra	Mineral	$\delta^{13}\text{C}$ (‰ VPDB)	$\delta^{18}\text{O}$ (‰ VSMOW)	$^{87}\text{Sr}/^{86}\text{Sr}$	Equipo utilizado	Observaciones
Diapiro de Orduña						
Montaleón (continuación)						
Dolomita IV						
DO-03-00	Dolomita	-1,6	26,7		MAT-252	Dolomita <i>saddle</i> blanca filoncillos post-sph
Calcita I						
DO-03-00	Calcita	-1,1	22,1	0,70949	Delta S MAT-252	Calcita espática asociada a sulfuros
DO-03-00	Calcita	-0,9	21,6		Delta S MAT-252	Repetición con MAT-252 para comprobar homogeneidad
DO-03-01	Calcita	-3,6	23,2	0,70863	Delta S MAT-252	Calcita espática asociada a dolomita <i>saddle</i>
Paúl						
Encajante (Caliza margosa Turoniente)						
Paul-1_19,50	Calcita	2,4	25,8		Delta S MAT-252	Encajante (Caliza margosa Turoniente)
Paul-1_19,50	Calcita	2,4	25,7		Delta S MAT-252	Nuevo muestrero
Paul-1_19,50	Calcita	2,4	25,7		Delta S MAT-252	Promedio de las dos medidas anteriores
Paul-2_20,30	Calcita	2,5	26,3		Delta S MAT-252	Encajante (Caliza margosa Turoniente)
Paul-2_20,30	Calcita	2,5	26,0		Delta S MAT-252	Nuevo muestrero
Paul-2_20,30	Calcita	2,5	26,2		Delta S MAT-252	Promedio de las dos medidas anteriores
Dolomita III (saddle blanca)						
DO-04-01	Dolomita	3,0	26,9	0,70834	Delta S MAT-252	Dolomita <i>saddle</i> asociada a sulfuros
DO-04-02 DS pto A	Dolomita	3,2	27,4		Delta S MAT-252	Dolomita <i>saddle</i> blanca, pequeño cristal aislado
DO-04-02 DS pto B	Dolomita	3,2	27,4		Delta S MAT-252	Dolomita <i>saddle</i> blanca. Tiene el mismo aspecto que C, pero tanto A como B no aparecen asociados a sph
DO-04-02 DS pto C	Dolomita	2,9	26,8		Delta S MAT-252	Dolomita <i>saddle</i> blanca, claramente asociado a estalerita
DO-04-02 DS	Dolomita	3,1	27,2		Delta S MAT-252	Promedio de las tres medidas anteriores
Paul-2_13,80	Dolomita	2,9	27,0		Delta S MAT-252	Dolomita <i>saddle</i> blanca
Paul-2_13,80	Dolomita	2,9	26,9		Delta S MAT-252	Dolomita <i>saddle</i> blanca, nuevo muestrero.
Paul-2_13,80	Dolomita	2,9	27,0		Delta S MAT-252	Promedio de las dos medidas anteriores
Paul-2B	Dolomita	3,1	26,7		Delta S MAT-252	Dolomita <i>saddle</i> blanca
Dolomita III (saddle anaranjada)						
Paul-1_06,00	Dolomita	2,3	27,1	0,70801	Delta S MAT-252	Dolomita <i>saddle</i> anaranjada asociada a calcita
Paul-1_06,00	Dolomita	2,8	26,4		Delta S MAT-252	Dolomita <i>saddle</i> amarilla
Paul-1_06,00	Dolomita	2,6	26,8		Delta S MAT-252	Promedio de las dos medidas anteriores
Paul-2_12,70	Dolomita	3,0	26,9		Delta S MAT-252	Dolomita <i>saddle</i> amarilla
Paul-2_14,70	Dolomita	2,8	26,4		Delta S MAT-252	Dolomita <i>saddle</i> color marfil englobada en filón de calcita espática
Paul-2A	Dolomita	3,0	26,6		Delta S MAT-252	Dolomita naranja

Tabla II.6 (continuación): Valores de $\delta^{13}\text{C}_{(\text{V-PDB})}$, $\delta^{18}\text{O}_{(\text{V-SMOW})}$ y $^{87}\text{Sr}/^{86}\text{Sr}$ en carbonatos para las localidades estudiadas.

Muestra	Mineral	$\delta^{13}\text{C}$ (‰ VPDB)	$\delta^{18}\text{O}$ (‰ VSMOW)	$\delta^{87}\text{Sr}/\delta^{86}\text{Sr}$	Equipo utilizado	Observaciones
Diapiro de Orduna						
Paúl (continuación)						
Calcar I (espática) asociada a filones						
Paul-1_06,00	Calcita	2,0	24,9		Delta S	
Paul-1_06,00	Calcita	2,1	25,0		MAT-252	
Paul-1_06,00	Calcita	2,0	24,9		Promedio de las dos medidas anteriores	
Paul-2_12,20	Calcita	2,0	24,9		MAT-252	
Paul-2_12,20	Calcita	1,8	24,5		MAT-252	
Paul-2_12,20	Calcita	1,9	24,7	0,71426	Promedio de las dos medidas anteriores	
Paul-2_12,70	Calcita	1,8	24,3	0,71423	Calcita espática NO luminiscente, englobada en el filón de dolomita <i>saddle</i> .	
Paul-2_12,70	Calcita	1,8	24,4		Calcita espática NO luminiscente, englobada en el filón de dolomita <i>saddle</i> .	
Paul-2_12,70	Calcita	1,8	24,4		Promedio de las dos medidas anteriores	
Paul-2_14,70	Calcita	2,0	25,0		Calcita espática asociada a dolomita III	
Paul-2_14,70	Calcita	2,0	24,4		Calcita espática asociada a dolomita III	
Paul-2_14,70	Calcita	2,0	25,1		Calcita espática asociada a dolomita III	
Paul-2_14,70	Calcita	2,0	24,8		Promedio de las tres medidas anteriores	
Paul-2A	Calcita	1,3	24,1		Calcita espática	
Paul-2A	Calcita	1,2	24,2		Calcita espática	
Paul-2A	Calcita	1,3	24,1		Promedio de las dos medidas anteriores	
Calcar I (espática) asociada a sulfuros masivos						
Paul-2_12,70	Calcita	0,7	24,1		MAT-252	
Paul-2B	Calcita	1,5	24,8		MAT-252	
Paul-2C	Calcita	1,0	23,7		MAT-252	
Calcar II (esparítica)						
Paul-2_13,80	Calcita	1,7	21,7		MAT-252	
Barambio						
DBA-01-01	Ankerita / Dolomita	2,7	19,2	0,71426	Delta S	
DBA-01-03	Ankerita / Dolomita	2,8	19,2	0,71423	Delta S	
Carbonatos marinos de la zona						
Gu-3	Calcita	2,8	26,0		Delta S	Caliza margosa del Cenomaniense, Gujuli

Tabla II.6 (continuación): Valores de $\delta^{13}\text{C}_{(\text{VPDB})}$, $\delta^{18}\text{O}_{(\text{VSMOW})}$ y $\delta^{87}\text{Sr}/\delta^{86}\text{Sr}$ en carbonatos para las localidades estudiadas.

Muestra	Mineral	$\delta^{13}\text{C}$ (‰ VPDB)	$\delta^{18}\text{O}$ (‰ VSMOW)	$^{87}\text{Sr}/^{86}\text{Sr}$	Equipo utilizado	Observaciones
Fadj-el-Adoum (Túnez)						
FEA-ZT-1a	Calcita	0,3	32,7		MAT-252	Zona de transición: filón de potencia milimétrica.
FEA-ZT-1b	Calcita	1,1	31,5		MAT-252	Zona de transición: filón de potencia milimétrica, muestreado en otro punto
FEA-ZT-1c	Calcita	-25,5	33,4		MAT-252	Zona de transición: banda blanca
FEA-ZT-1d	Calcita	-23,7	34,7		MAT-252	Zona de transición: banda gris claro
FEA-ZT-1e	Calcita	-19,1	34,1		MAT-252	Zona de transición: banda gris oscuro
FEA-ZT-2a	Calcita	2,2	33,0		MAT-252	Zona de transición: filón de potencia milimétrica
FEA-ZT-2b	Calcita	-25,1	34,5		MAT-252	Zona de transición: banda gris claro
FEA-ZT-2c	Calcita	-24,0	34,7		MAT-252	Zona de transición: banda gris oscuro
FEA-Tur-1a	Calcita	0,8	31,3		MAT-252	Caliza Turoniense con filón (potencia milimétrica) de galena y calcita.
FEA-Tur-1c	Calcita	5,3	31,7		MAT-252	Calcita asociada a galena en filón de potencia milimétrica encajado en Turoniense
FEA-Ban-1a	Calcita	-0,4	27,6		MAT-252	Mineralización bandeada: calcita ore stage
FEA-Ban-1b	Calcita	1,2	30,4		MAT-252	Mineralización bandeada: calcita ore stage
FEA-Ban-1c	Calcita	-5,1	29,3		MAT-252	Mineralización bandeada: Calcita escalenóédrica tardía
FEA-Ban-1d	Calcita	3,1	34,5		MAT-252	Mineralización bandeada: calcita ore stage
FEA-Ban-1e	Dolomita	-7,5	32,9		MAT-252	Mineralización bandeada: banda de dolomita negra.
FEA-Ban-1f	Dolomita	-5,6	29,0		MAT-252	Mineralización bandeada: banda de dolomita gris
FEA-Ban-1g	Dolomita	-6,9	35,2		MAT-252	Mineralización bandeada: banda de dolomita gris

Tabla II.6 (continuación): Valores de $\delta^{13}\text{C}_{(\text{VPDB})}$, $\delta^{18}\text{O}_{(\text{VSMOW})}$ y $^{87}\text{Sr}/^{86}\text{Sr}$ en carbonatos para las localidades estudiadas.

Diapiro de Murguía

Jugo

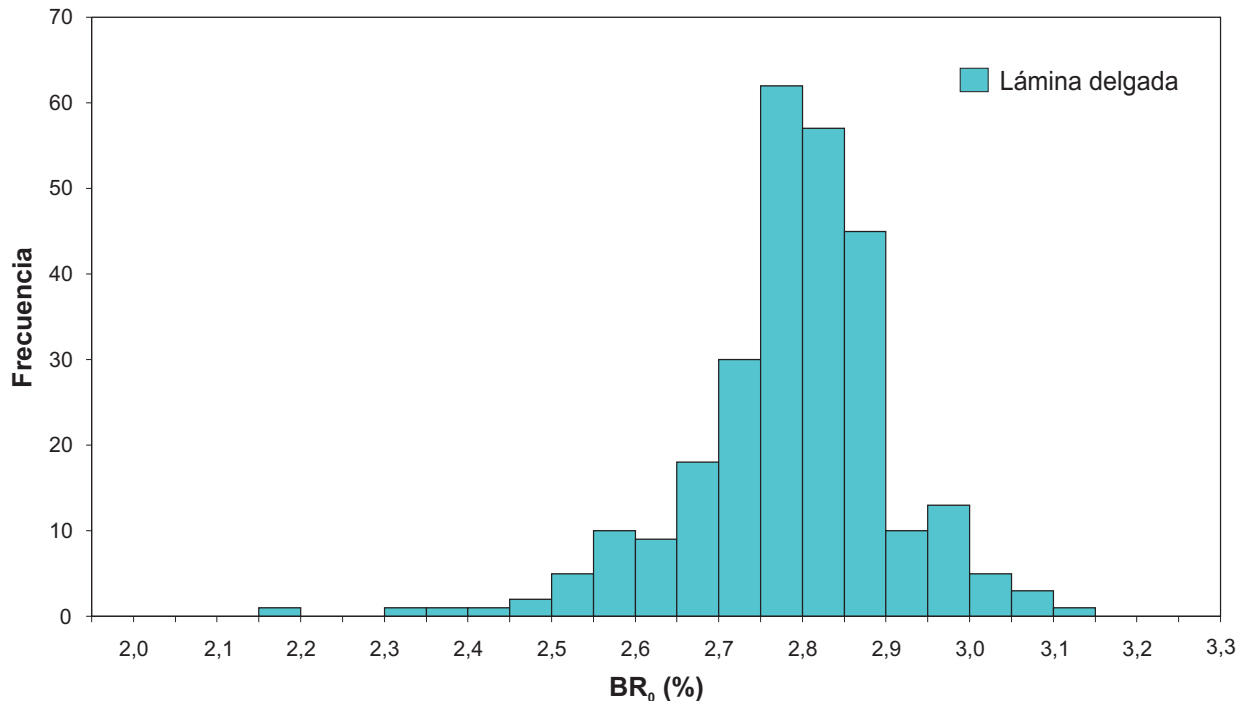
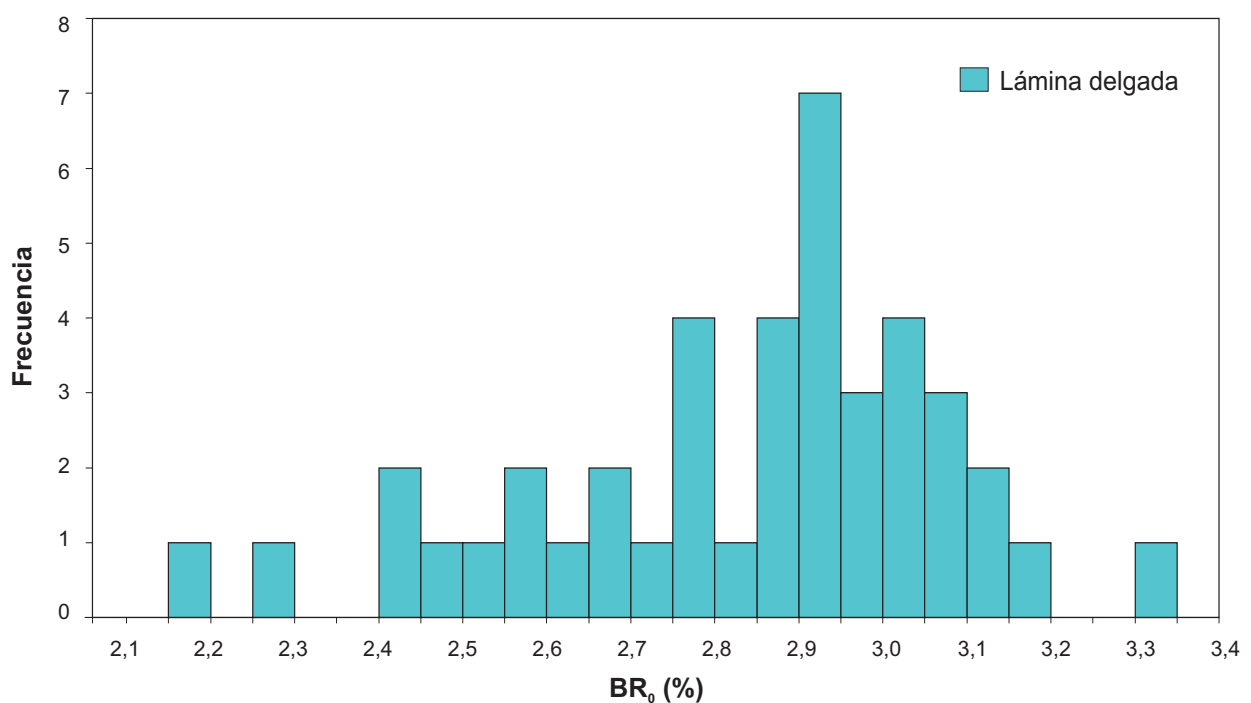
Dolomita IIb: dolomita gris asociada a la ZCT, no mineralizada.

Ju-16-02	Dolomita	-7,8	24,6	MAT-252	Relleno de brecha no mineralizada
Ju-16-04	Dolomita	-14,0	24,7	MAT-252	Banda de dolomita en ZCT con la misma tipología que la de Altube (filosilicatos, foliación, fábrica bandeadas)
Ju-16-06	Dolomita	-20,5	24,6	MAT-252	Relleno de brecha no mineralizada
Ju-16-07a	Dolomita	-14,5	24,4	MAT-252	Dolomita gris, textura ritmítica (cebra). Banda oscura
Ju-16-07a	Dolomita	-16,7	24,8	MAT-252	Dolomita gris, textura ritmítica (cebra). Banda clara
Ju-16-07b	Dolomita	-9,7	24,3	MAT-252	Dolomita gris, textura ritmítica (cebra). Banda oscura
Ju-16-07b	Dolomita	-10,0	24,7	MAT-252	Dolomita gris, textura ritmítica (cebra). Banda clara
Ju-16-08	Dolomita	-14,3	24,9	MAT-252	Dolomita gris, textura ritmítica (cebra). Banda oscura
Ju-16-08	Dolomita	-11,2	24,7	MAT-252	Dolomita gris, textura ritmítica (cebra). Banda clara
Ju-16-09	Dolomita	-10,5	25,0	MAT-252	Dolomita gris, zona masiva
Ju-16-09	Dolomita	-13,3	24,7	MAT-252	Dolomita gris, textura ritmítica (cebra). Banda oscura
Ju-16-09	Dolomita	-13,4	24,4	MAT-252	Dolomita gris, textura ritmítica (cebra). Banda clara

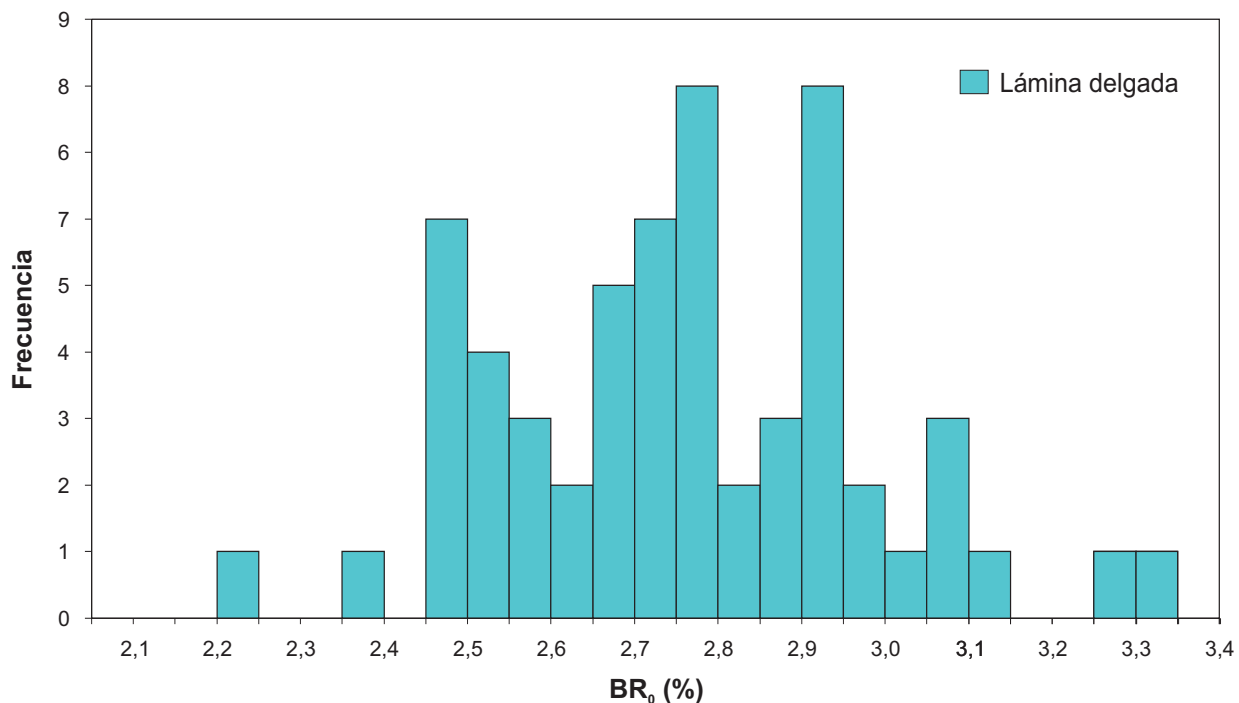
Tabla II.7: Valores de $\delta^{13}\text{C}_{(\text{VPDB})}$ y $\delta^{18}\text{O}_{(\text{VSMOW})}$ en carbonatos de la ZCT de Jugo.

Apéndice III

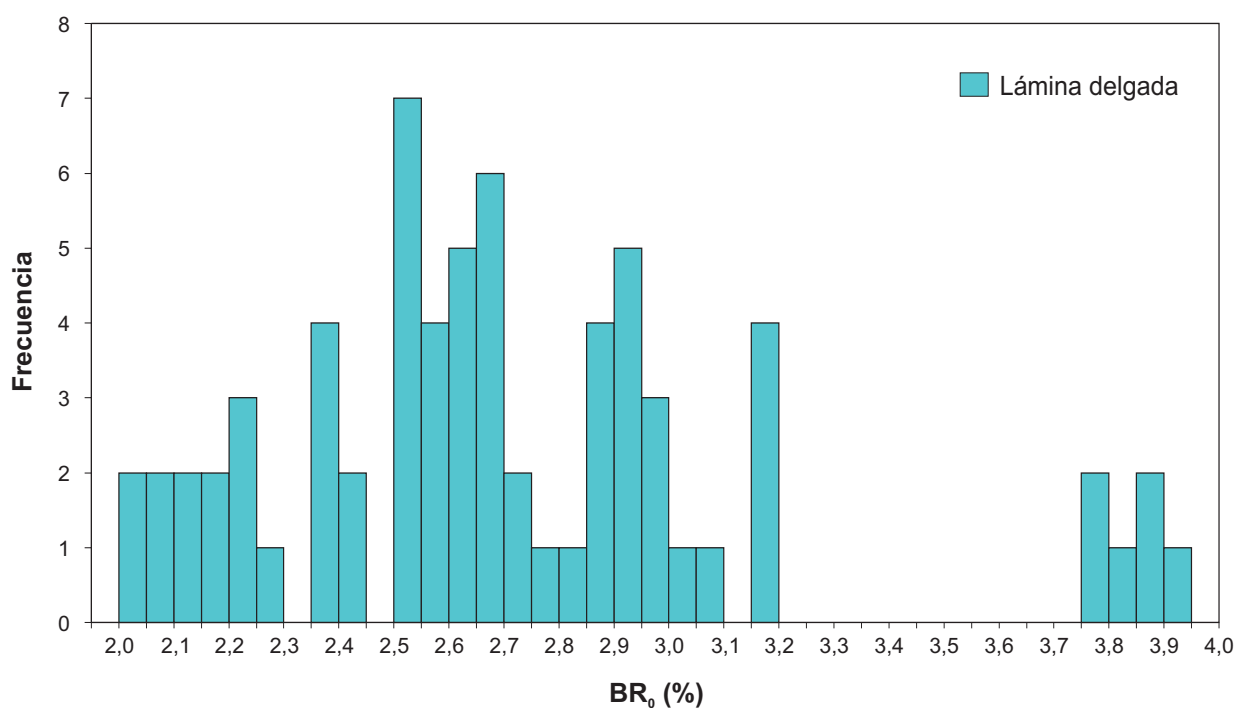
Histogramas BR₀ (%)

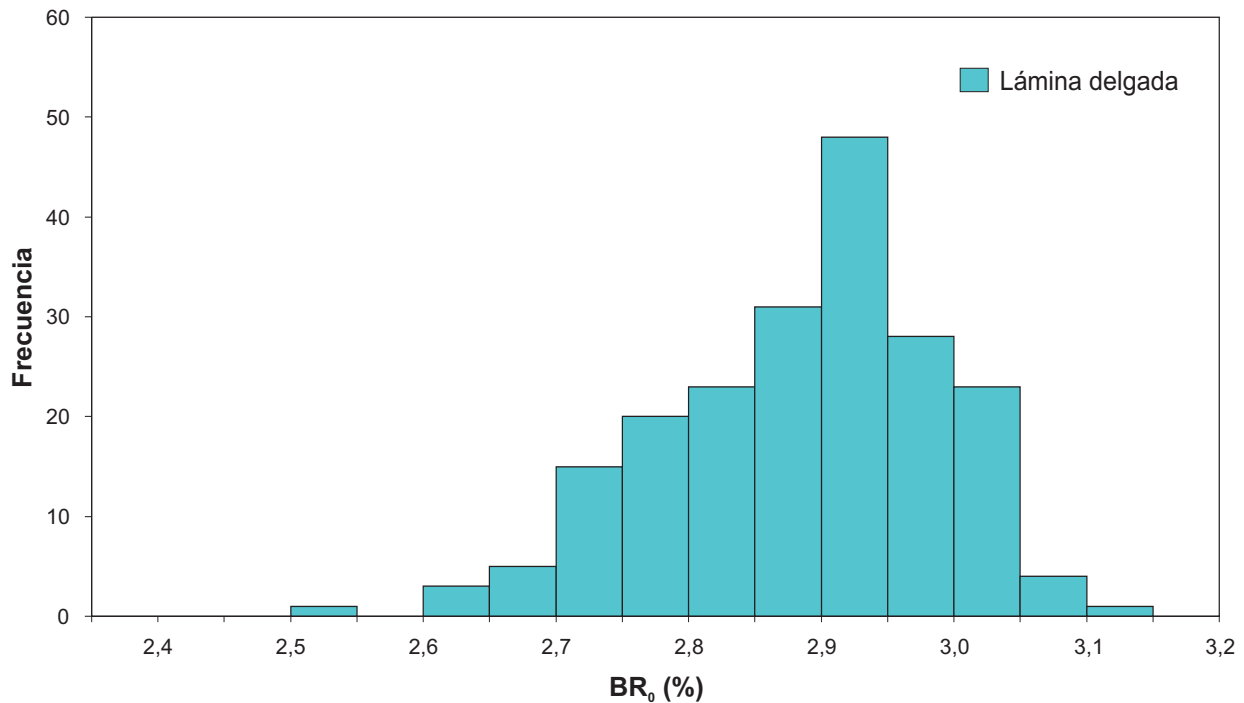
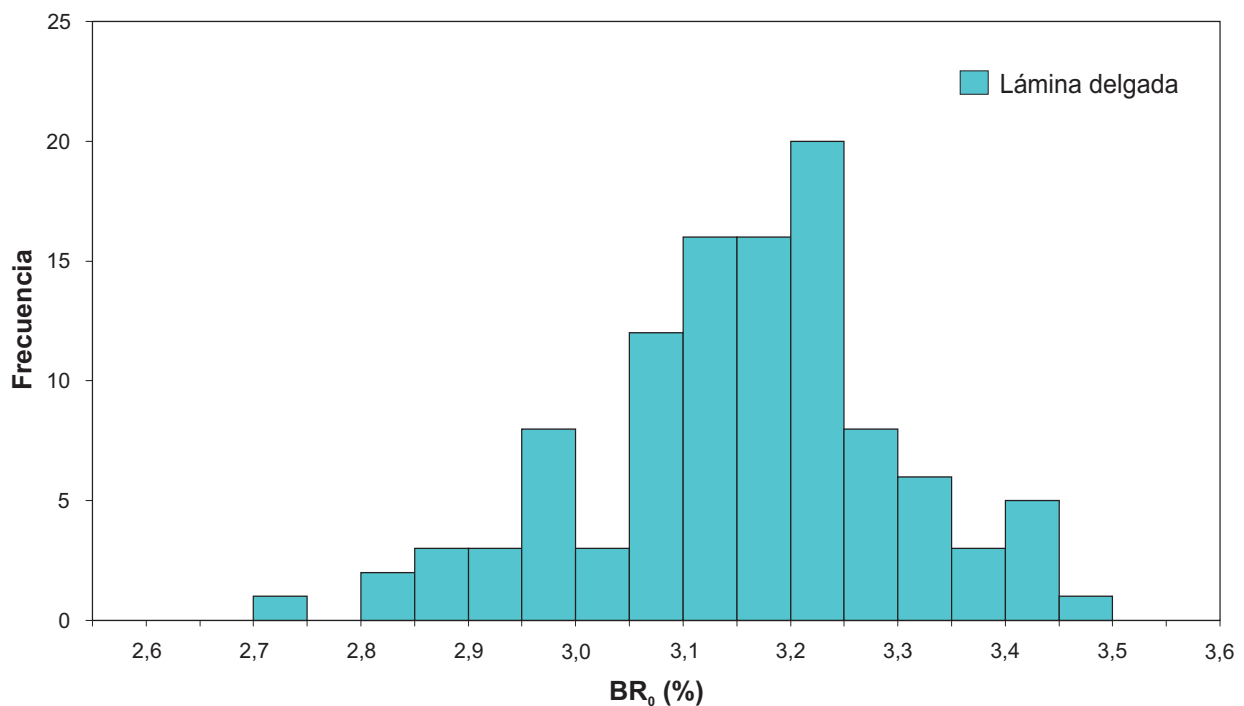
DM-01-03**Alt-2_180,10**

Alt-3_328,00

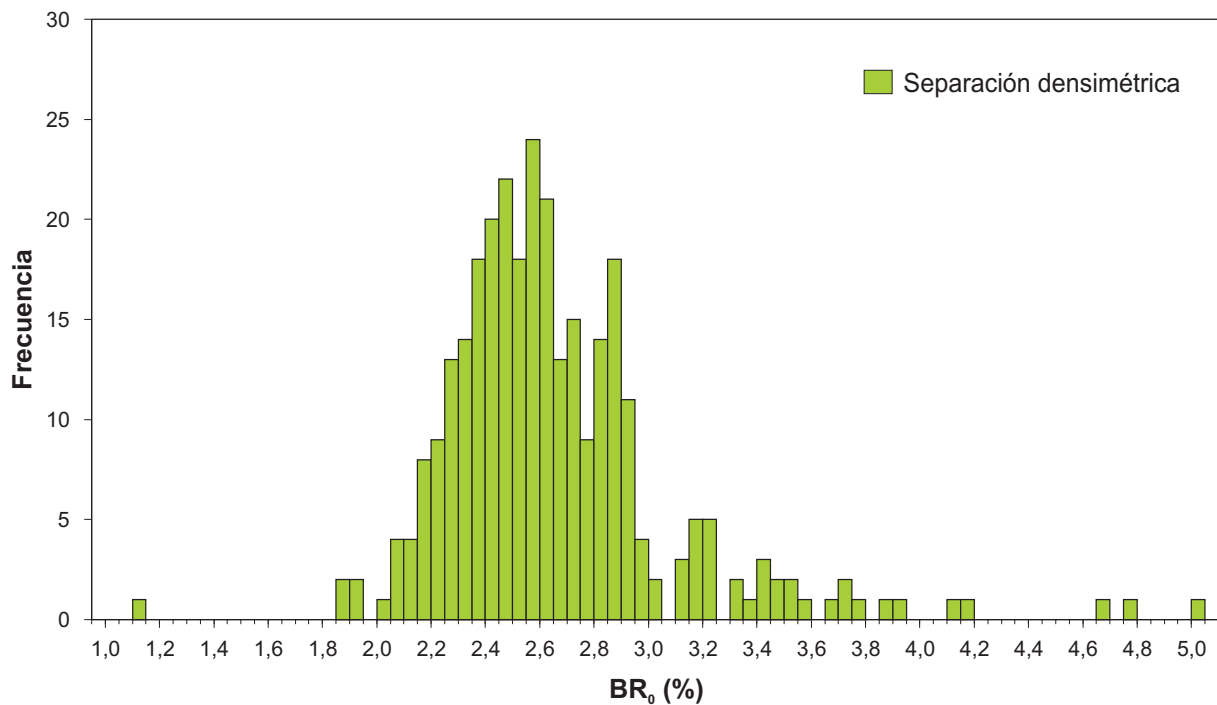


Alt-6_195,50

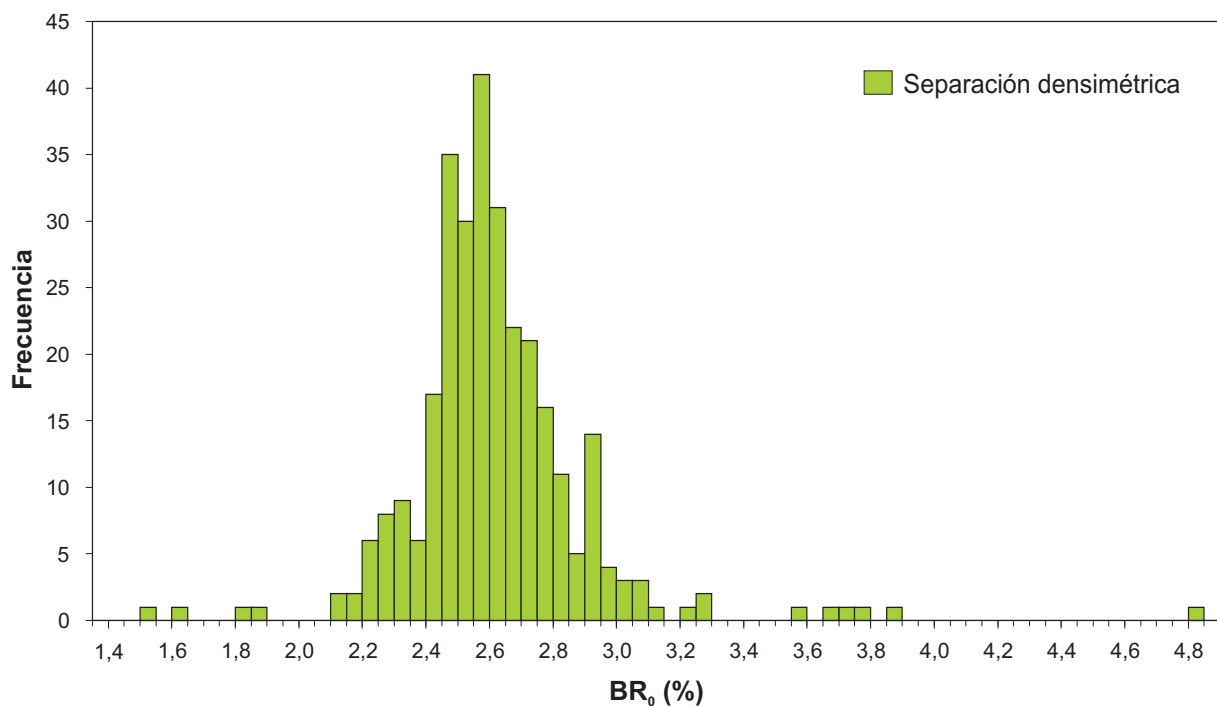


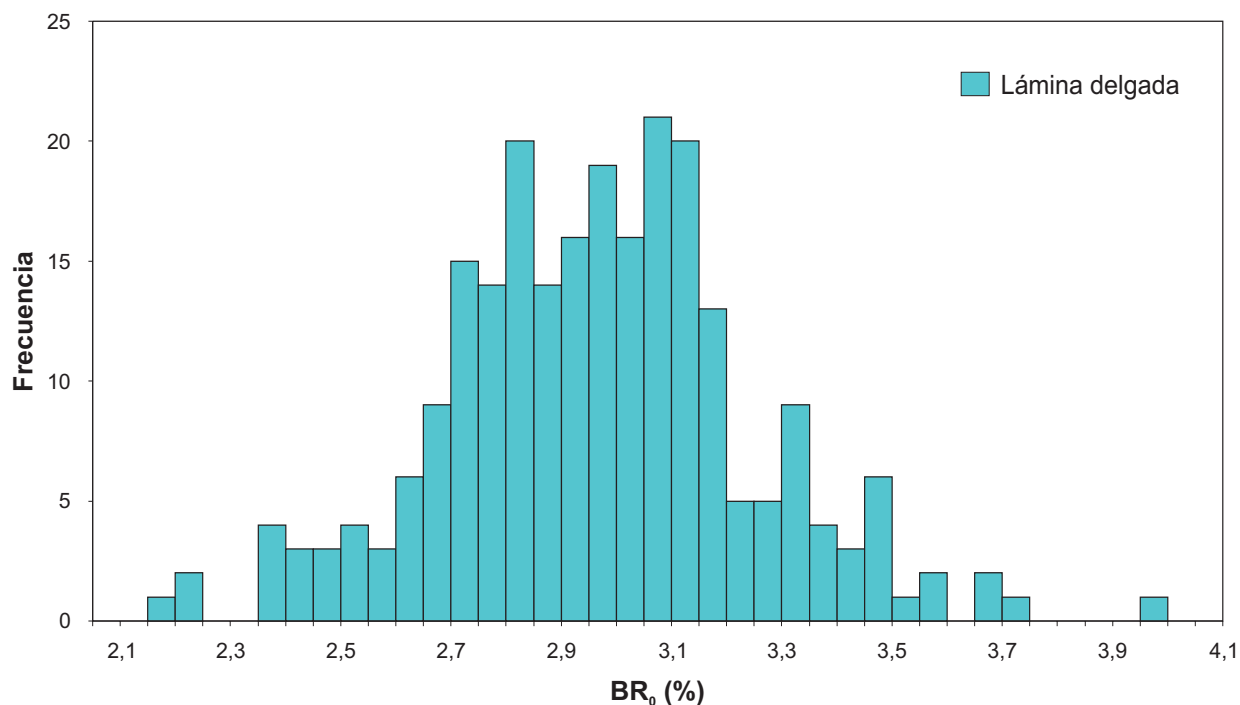
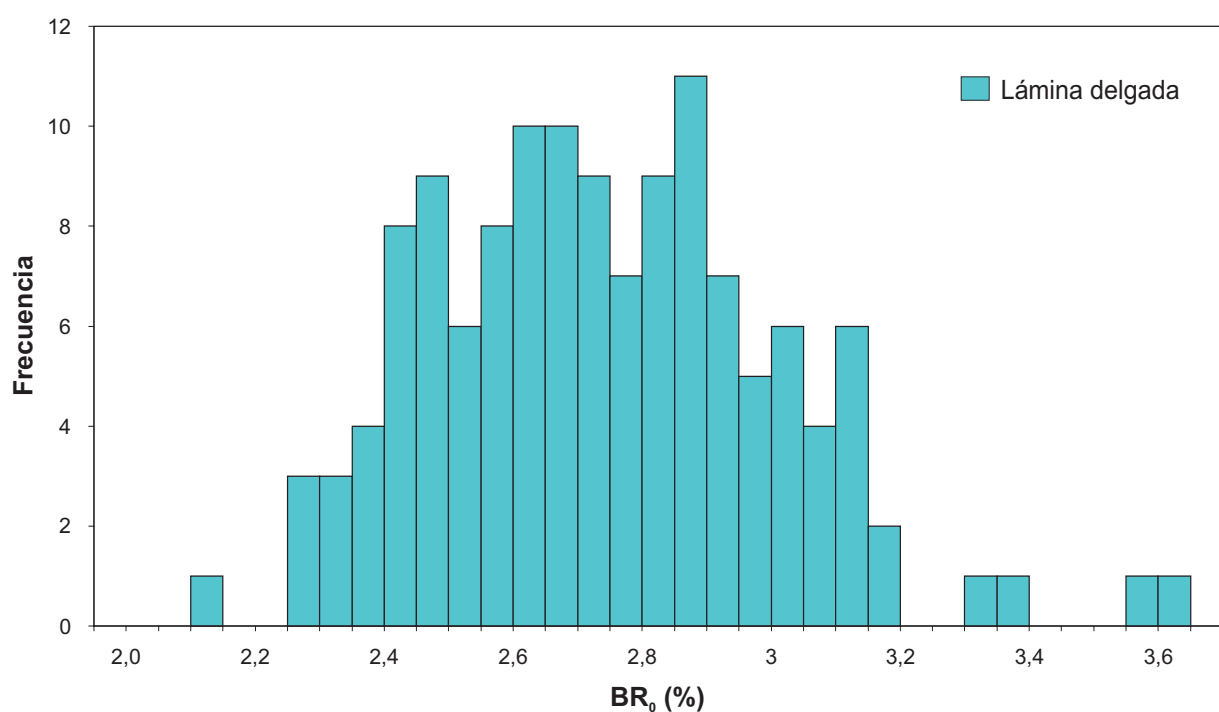
Alt-6_201,40**Alt-6_206,70**

Alt-7_023,85

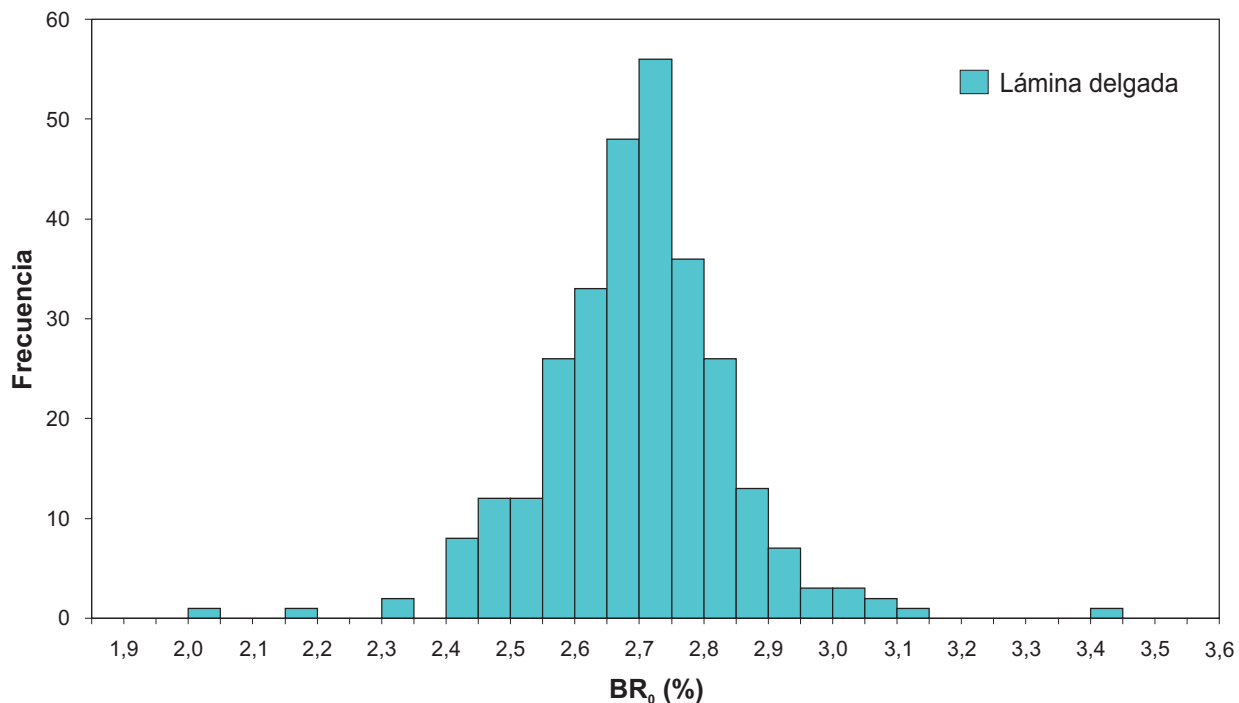


Alt-7_045,85

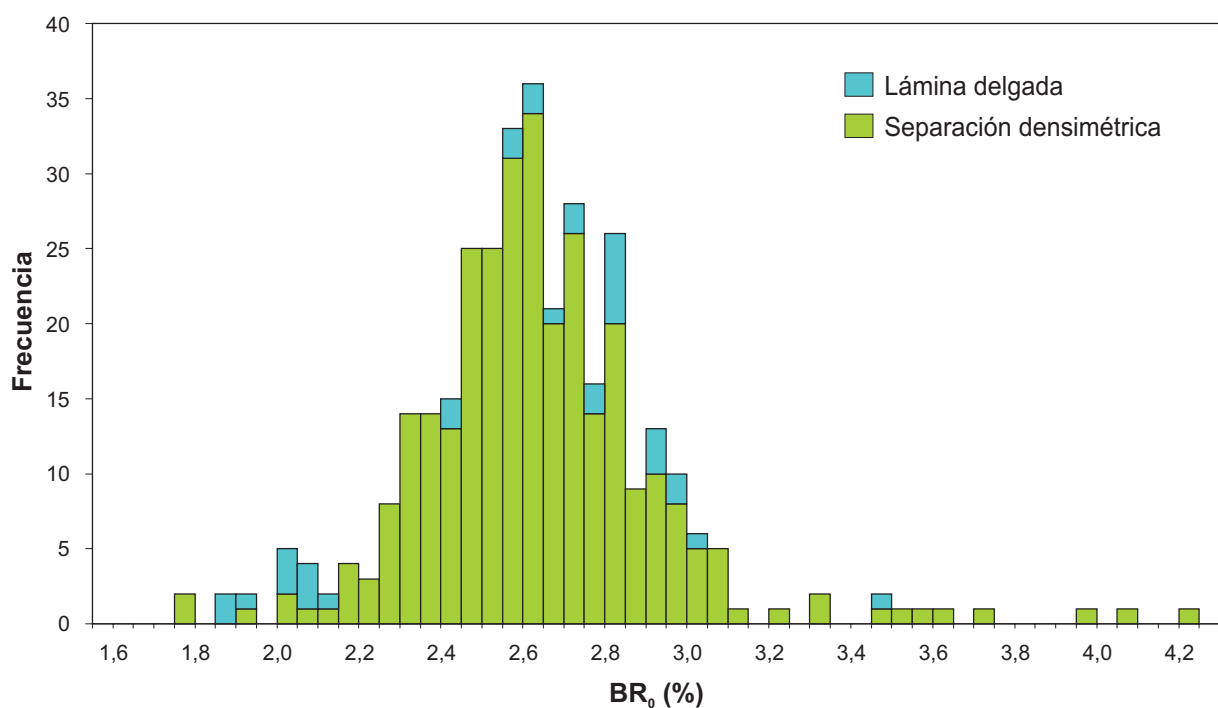


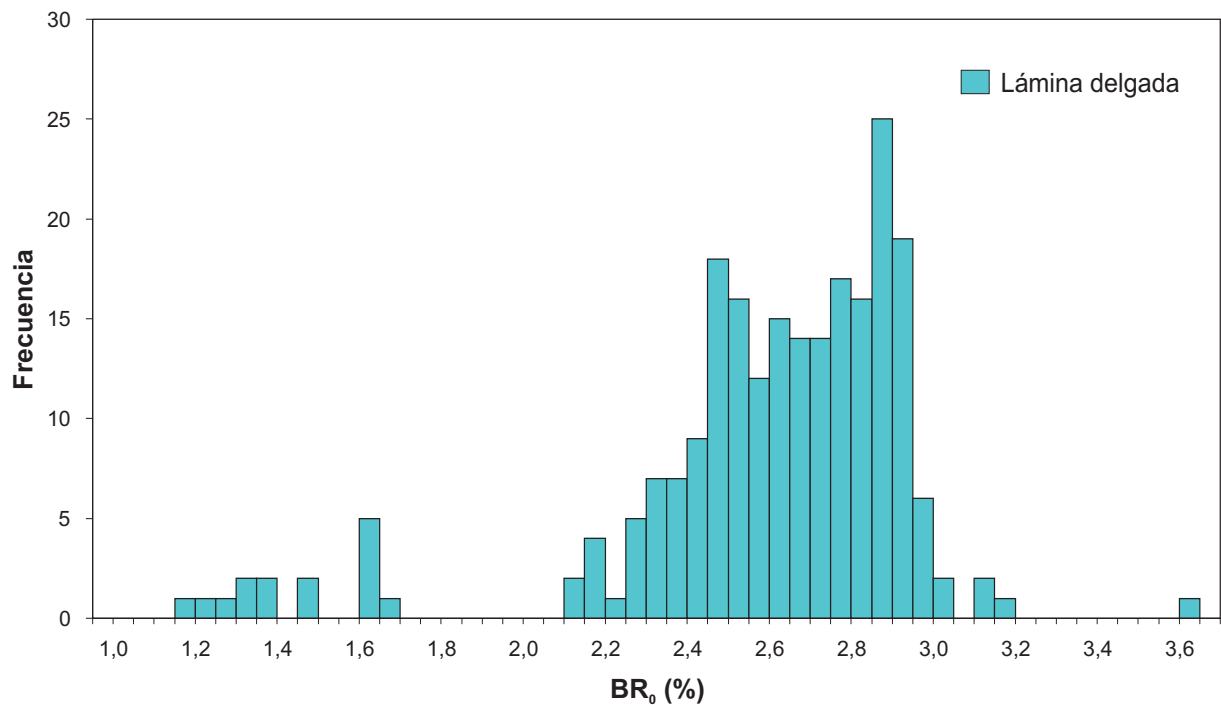
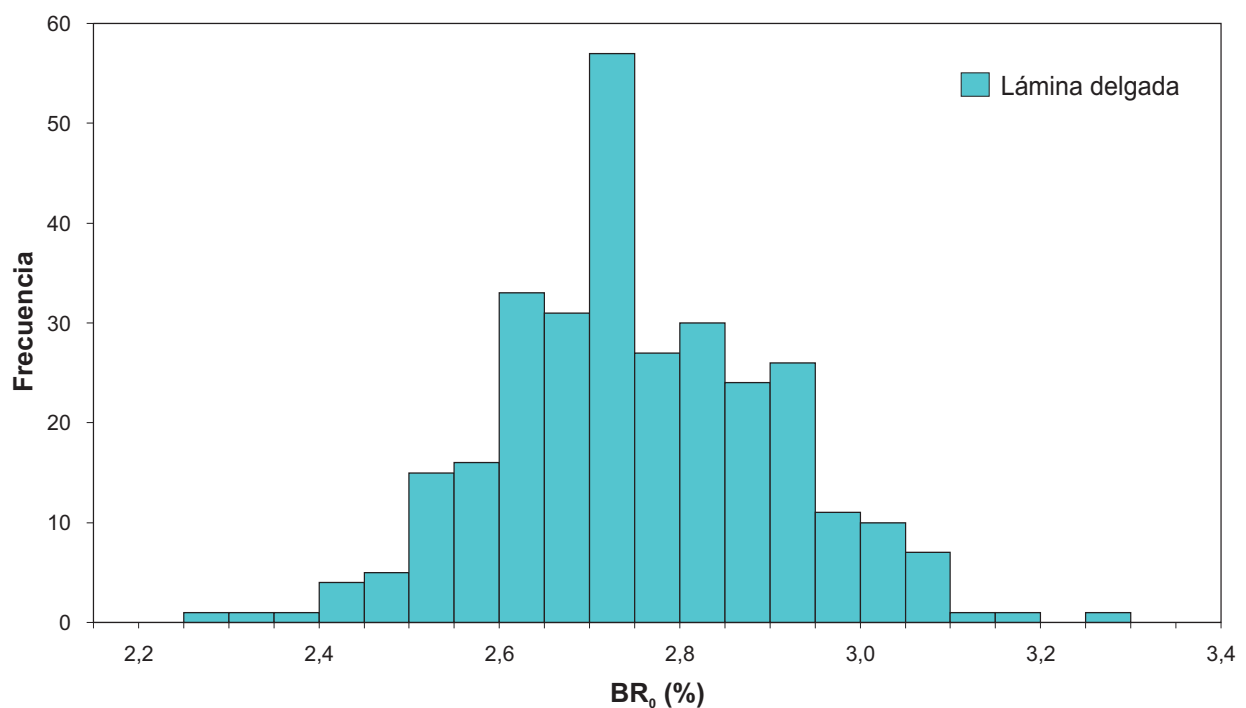
Alt-7_194,30**Alt-7_211,80**

Alt-7_228,30

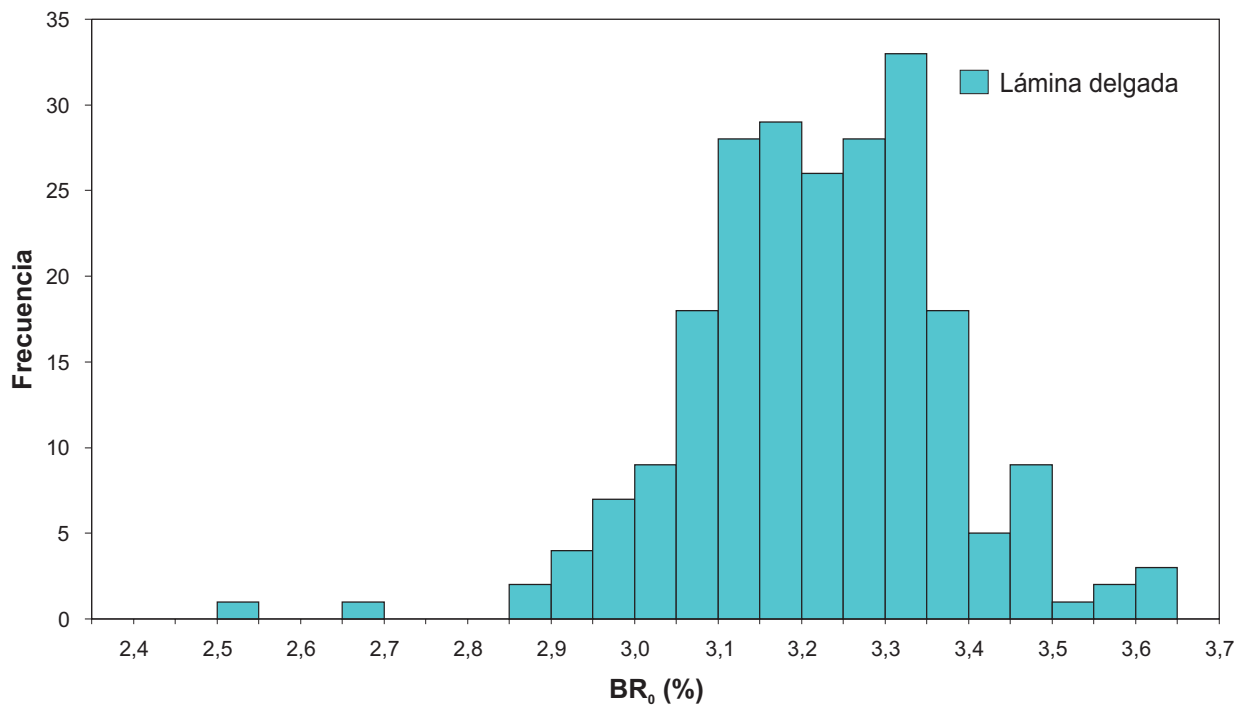


Alt-7_231,50

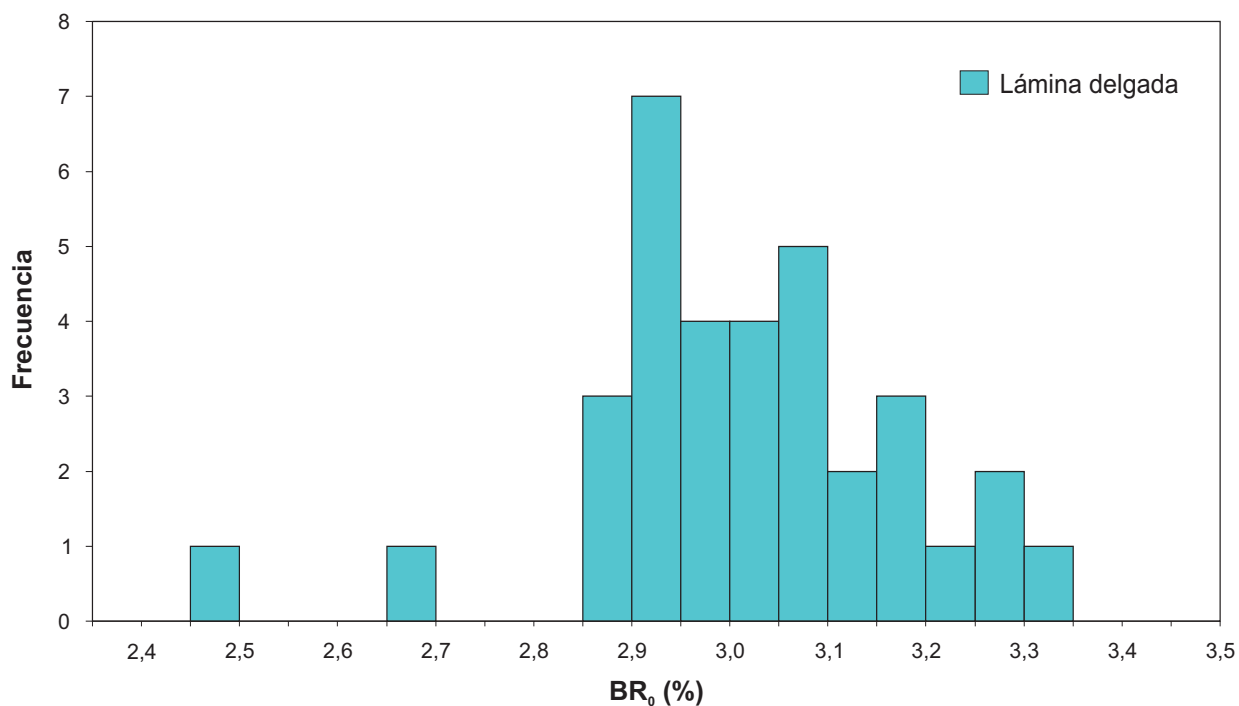


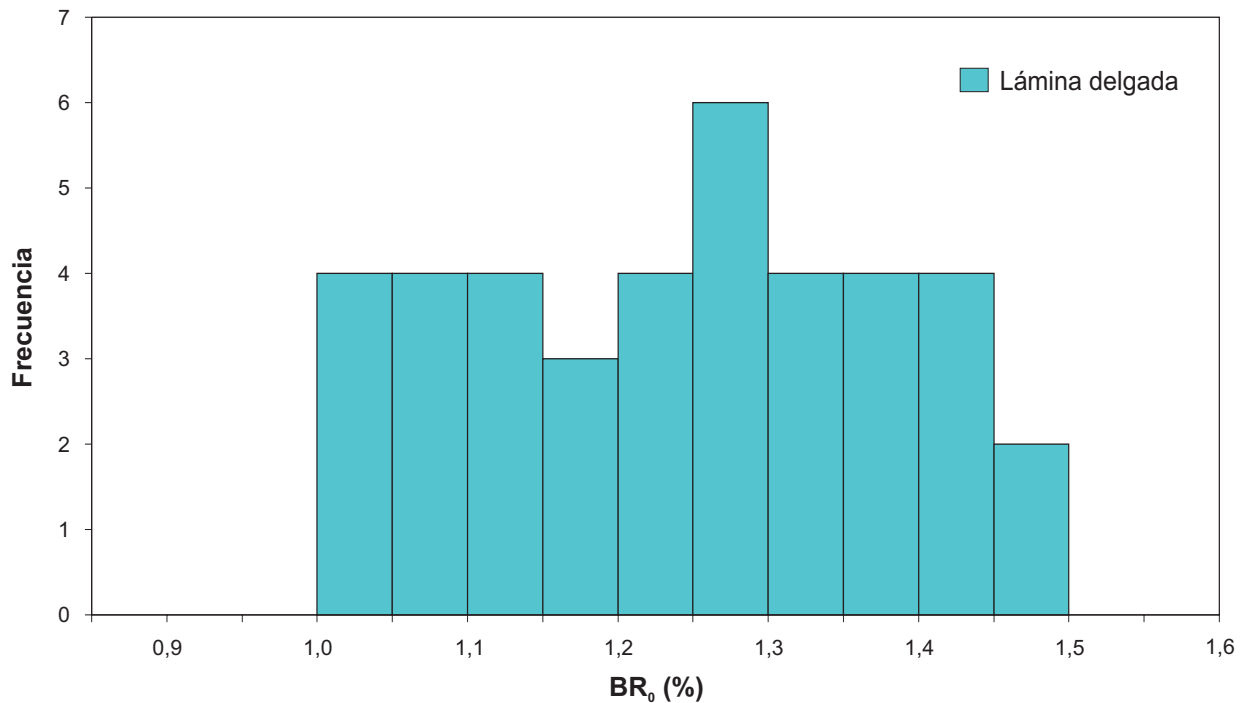
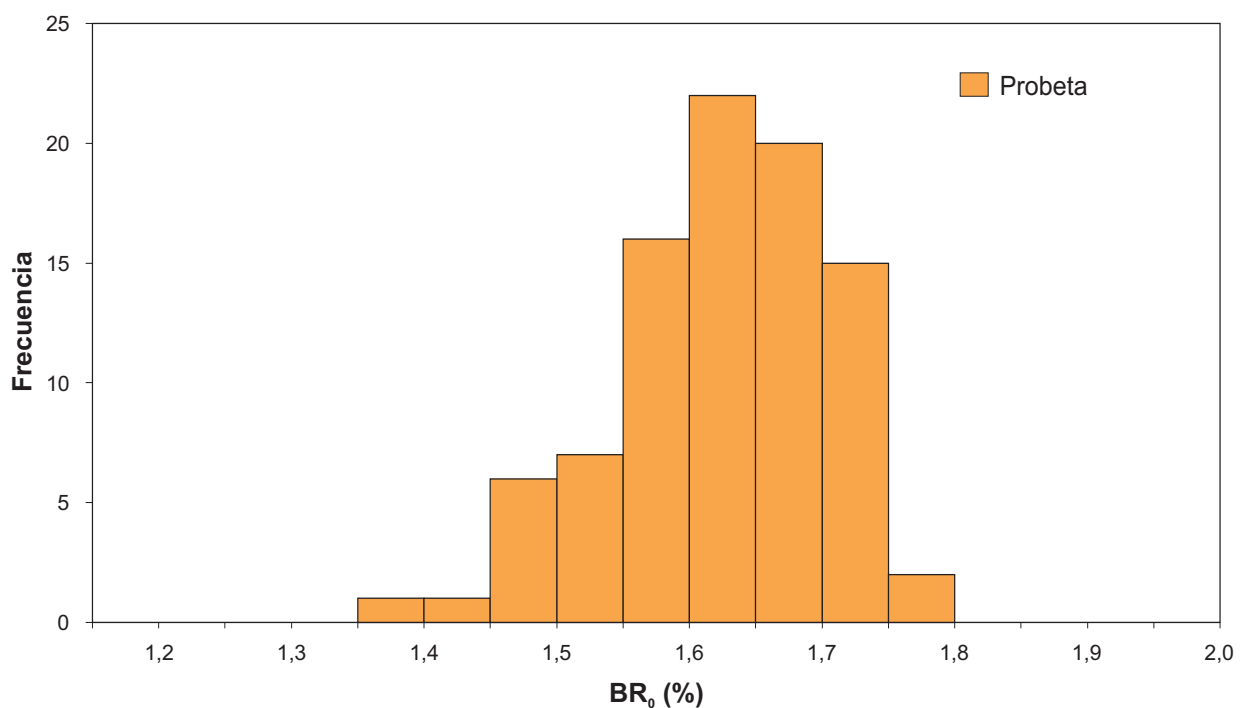
Alt-7_233,70**Alt-7_283,50**

Alt-7_297,50

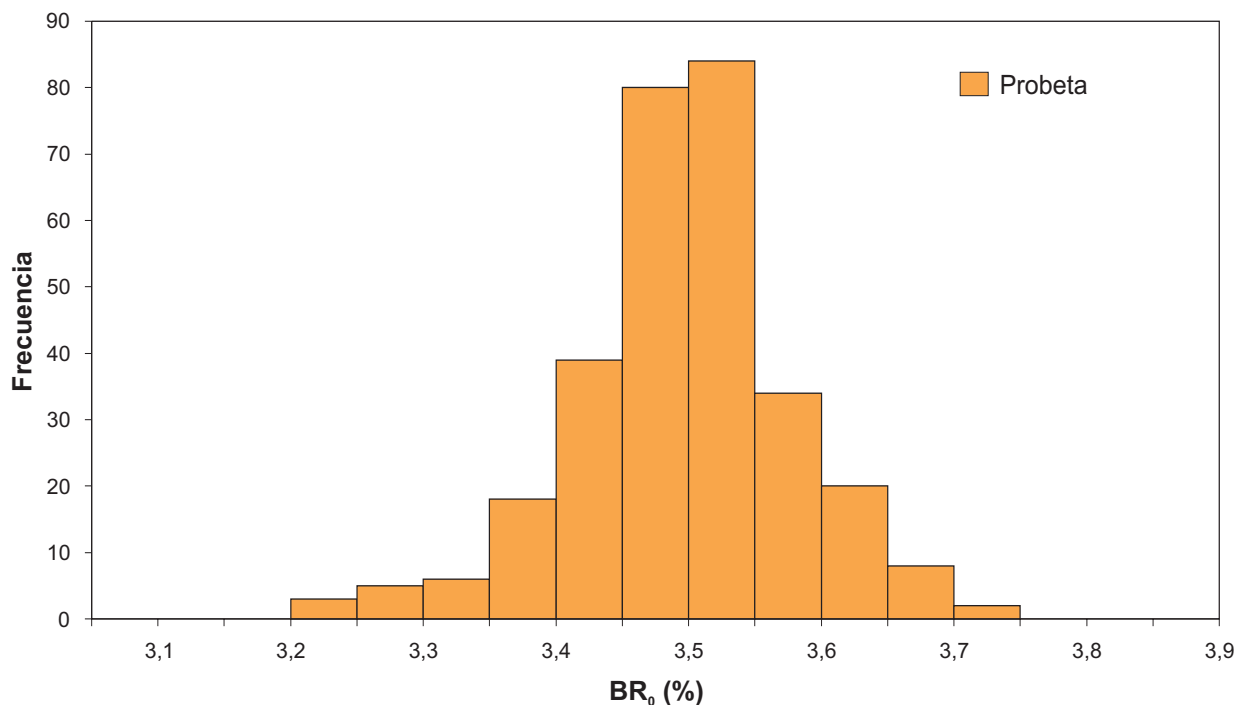


Alt-9_160,60

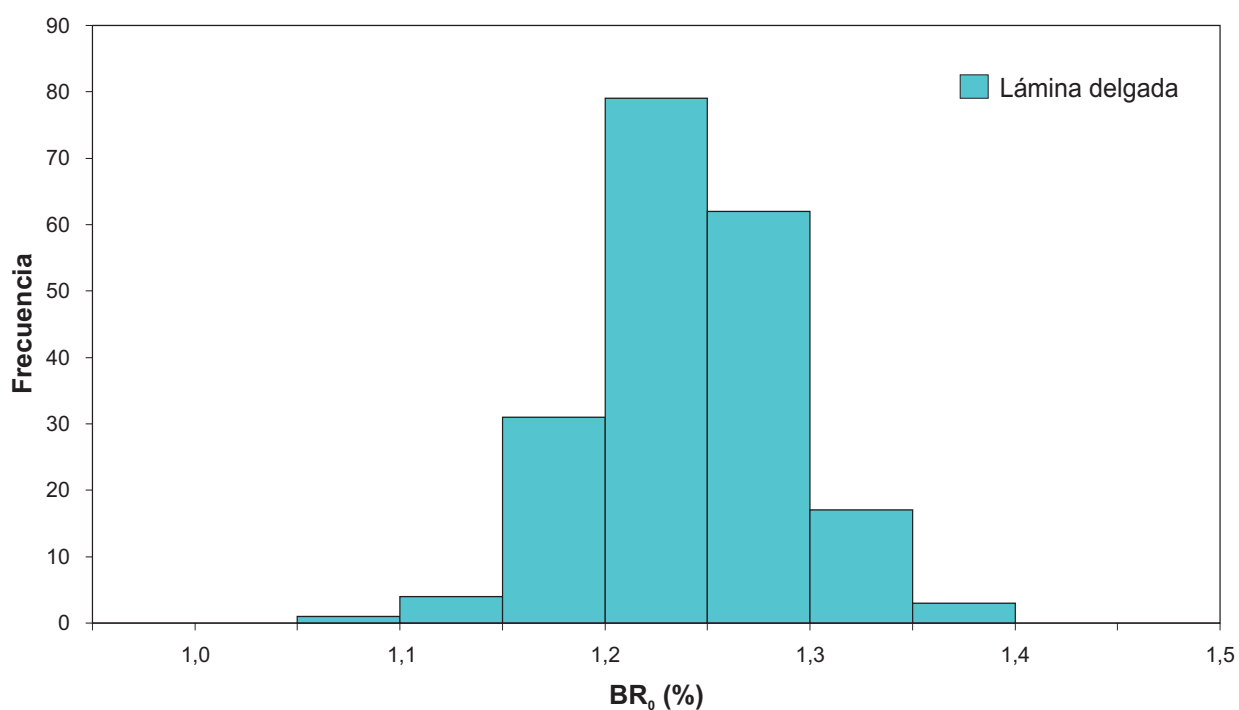


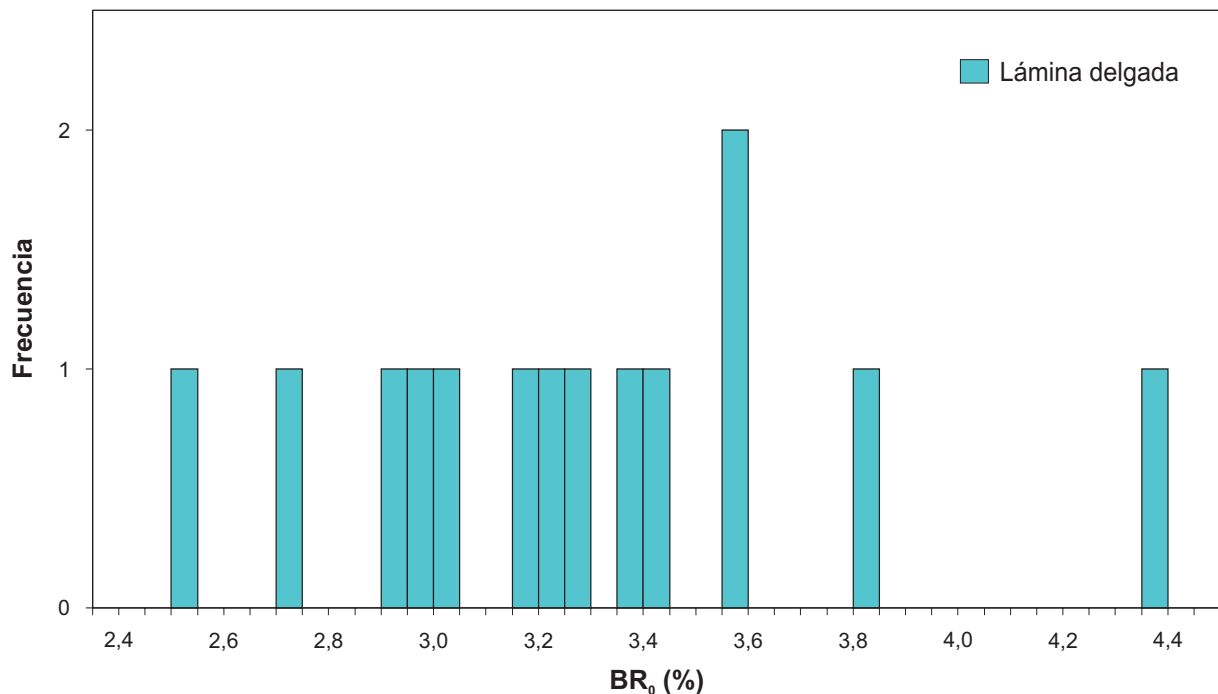
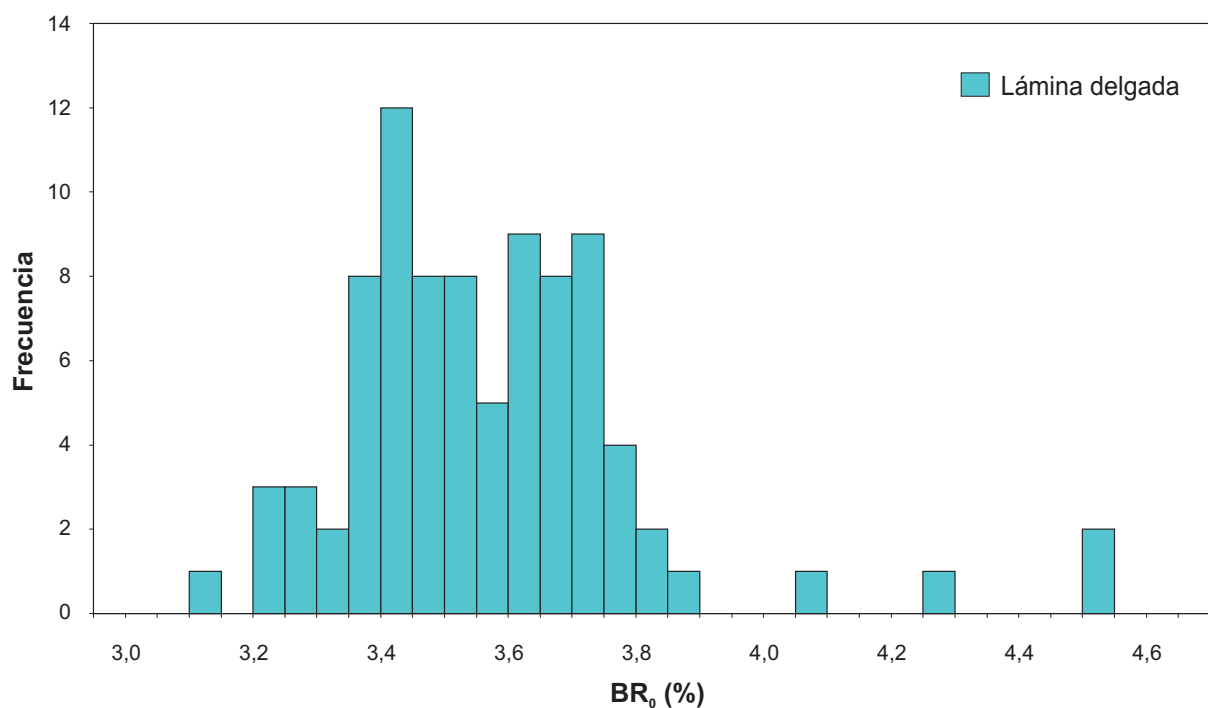
Ju-1**DM-03-02**

DM-05-04

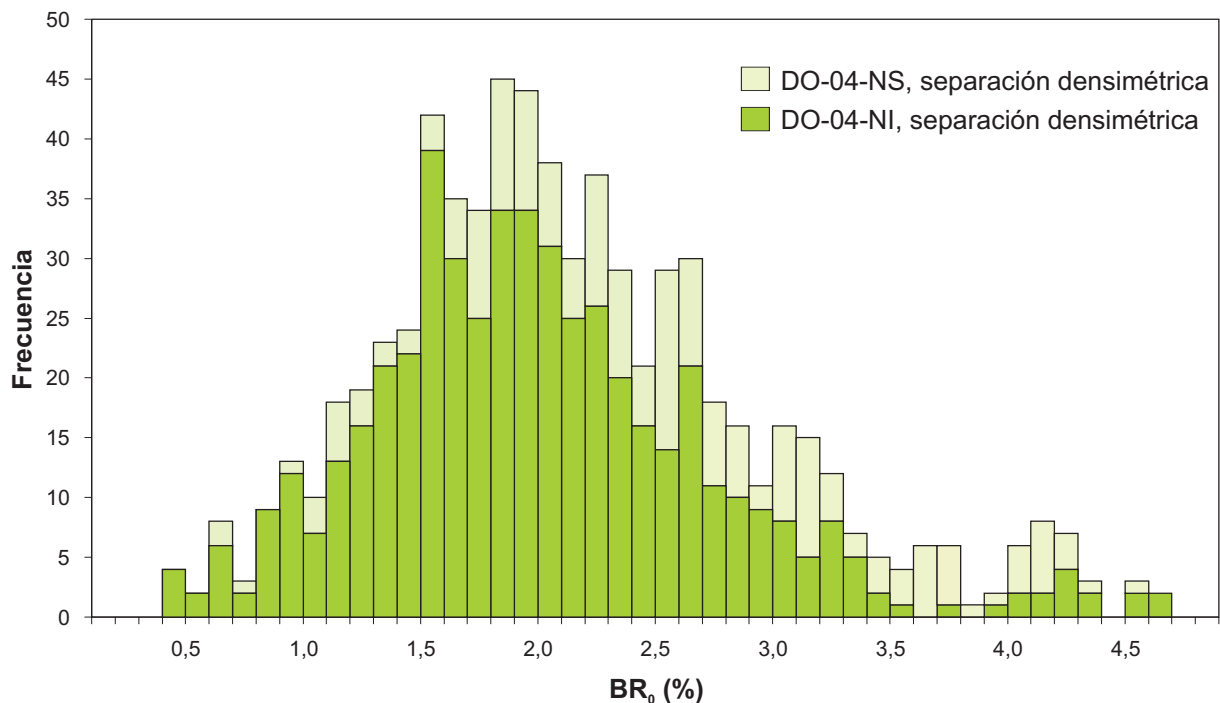


DO-01-01

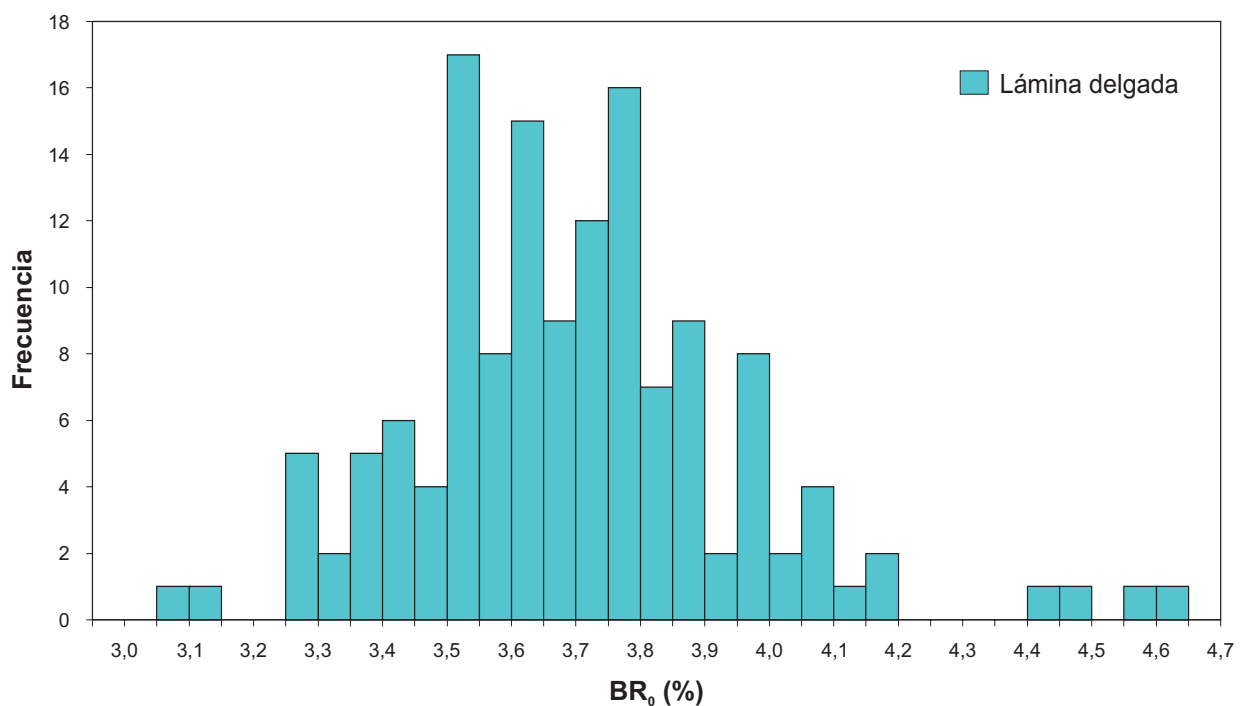


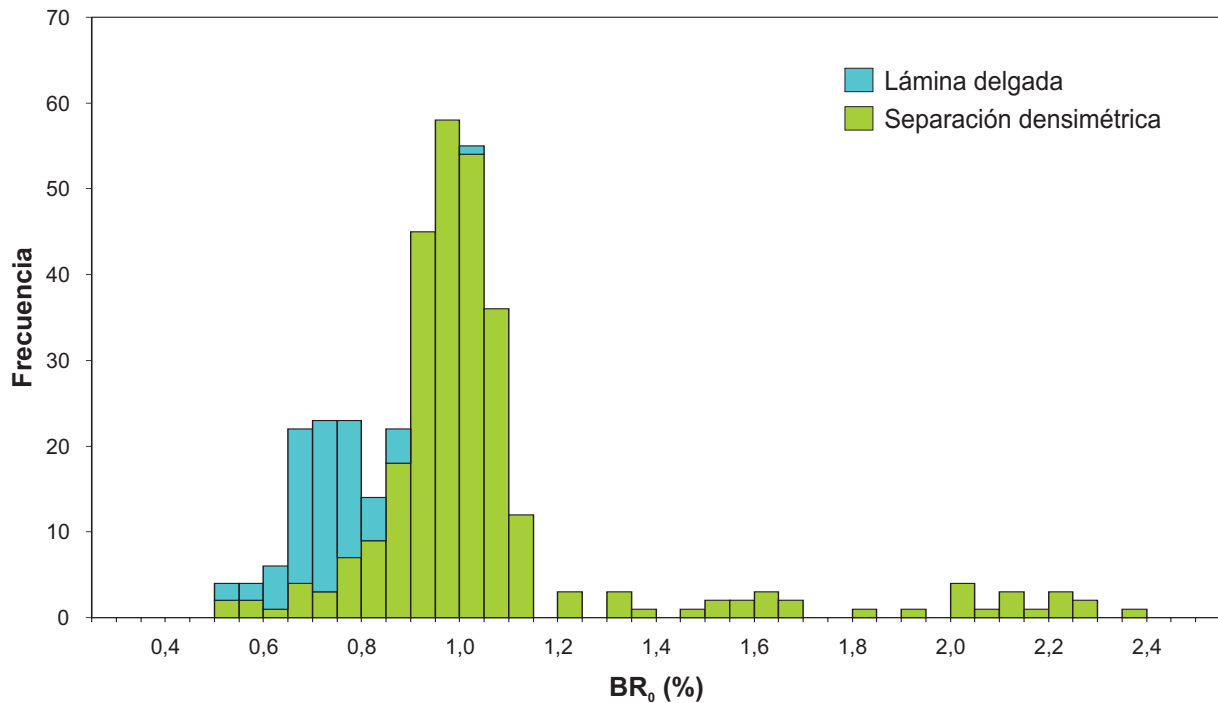
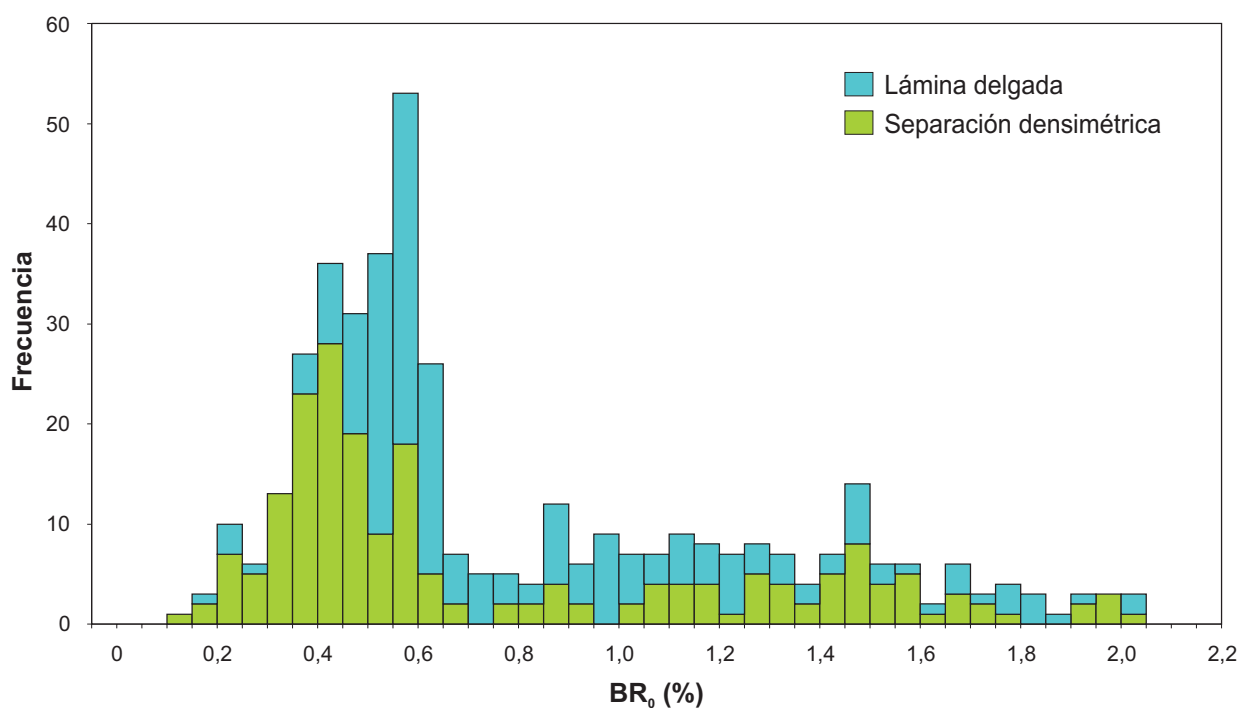
DO-03-02**DO-03-06**

DO-04 NI y NS



FV-22



VM-02-03**VM-02-10B**

Apéndice IV

Sondeos y cortes.

Altube y Paúl.

La documentación asociada a la campaña de sondeos (Crespo y Villa, 1998a; 1998b) ha representado una valiosa fuente de información. Ha aportado una descripción detallada de las litologías, ángulos de la estratificación y las fallas respecto al eje del sondeo, así como una estimación del contenido en sulfuros. También aporta datos sobre el porcentaje de Fe, Zn y Pb en determinados tramos que fueron seleccionados para su análisis en los laboratorios OMAC-Irlanda. Aunque la campaña de sondeos se realizó en los indicios de Altube, Paúl, Beluntza y Monteleón, los testigos recuperados en estas dos últimas localidades resultaron totalmente estériles, además de no aportar ninguna información de interés. Por ese motivo no se han representado en este apéndice.

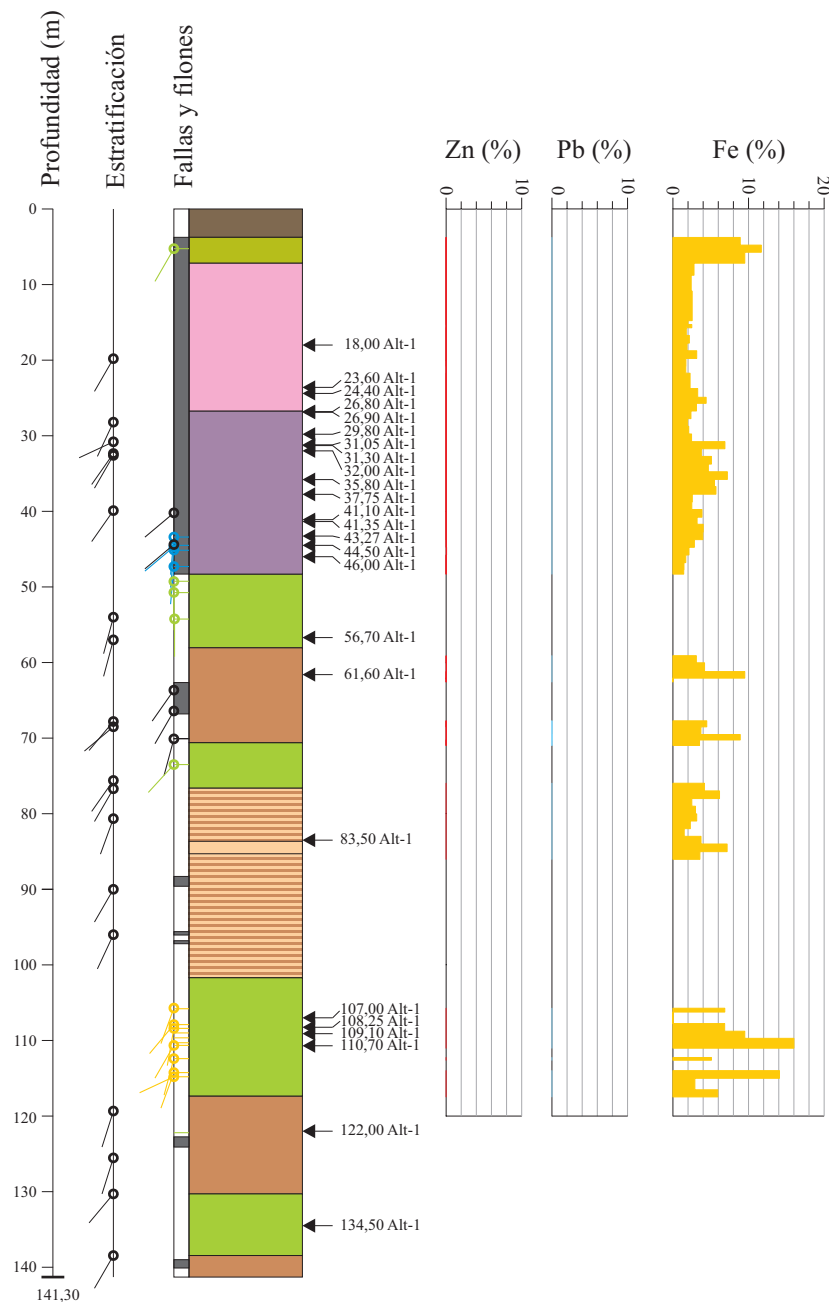
Aprovechando la información de los sondeos, se han confeccionado cortes esquemáticos en los indicios de Altube y Paúl. La finalidad de estos cortes es dar una idea general de la posible distribución de las mineralizaciones. Para una caracterización detallada, hubiera sido necesaria la realización de algunos sondeos más. De acuerdo con el carácter sintético de estos sondeos, las litologías se han simplificado considerablemente, y aunque los colores utilizados coinciden aproximadamente con los descritos en la leyenda de los sondeos, sólo se distinguen tres categorías en Altube (areniscas, lutitas y calizas) y dos en Paúl (calizas y margas). Otra de las simplificaciones está relacionada con las fallas. En general, en todos los sondeos se reconocen numerosas fallas y tramos completamente tectonizados. La representación de las fallas hubiera complicado mucho los cortes, porque en conjunto todo el tramo está muy fracturado. En consecuencia, se decidió representar solamente las fallas de mayor magnitud, reconocibles en superficie.

Sondeos – Altube

Altube-1

Inclinación: -60°

Dirección respecto al NM: 336°



Leyenda

Materiales

- Suelo
- Calcareitas
- Calizas
- Margas
- Lutitas
- Alternancia lutitas-areniscas
- Areniscas
- Microconglomerados
- Zona calcítica (cap rock)
- Diapiro

Diseminaciones

- 10 - 20% esfalerita
- 5 - 10% esfalerita
- 1 - 5% esfalerita
- Trazas de esfalerita

Filones o venas (potencia milimétrica - centimétrica)

- Esfalerita y/o galena (\pm calcita, cuarzo, pirita)
- Pirita (\pm calcita, cuarzo)
- Cuarzo (\pm calcita)
- Calcita

Fracturas

- Fallas
- Zonas fracturadas

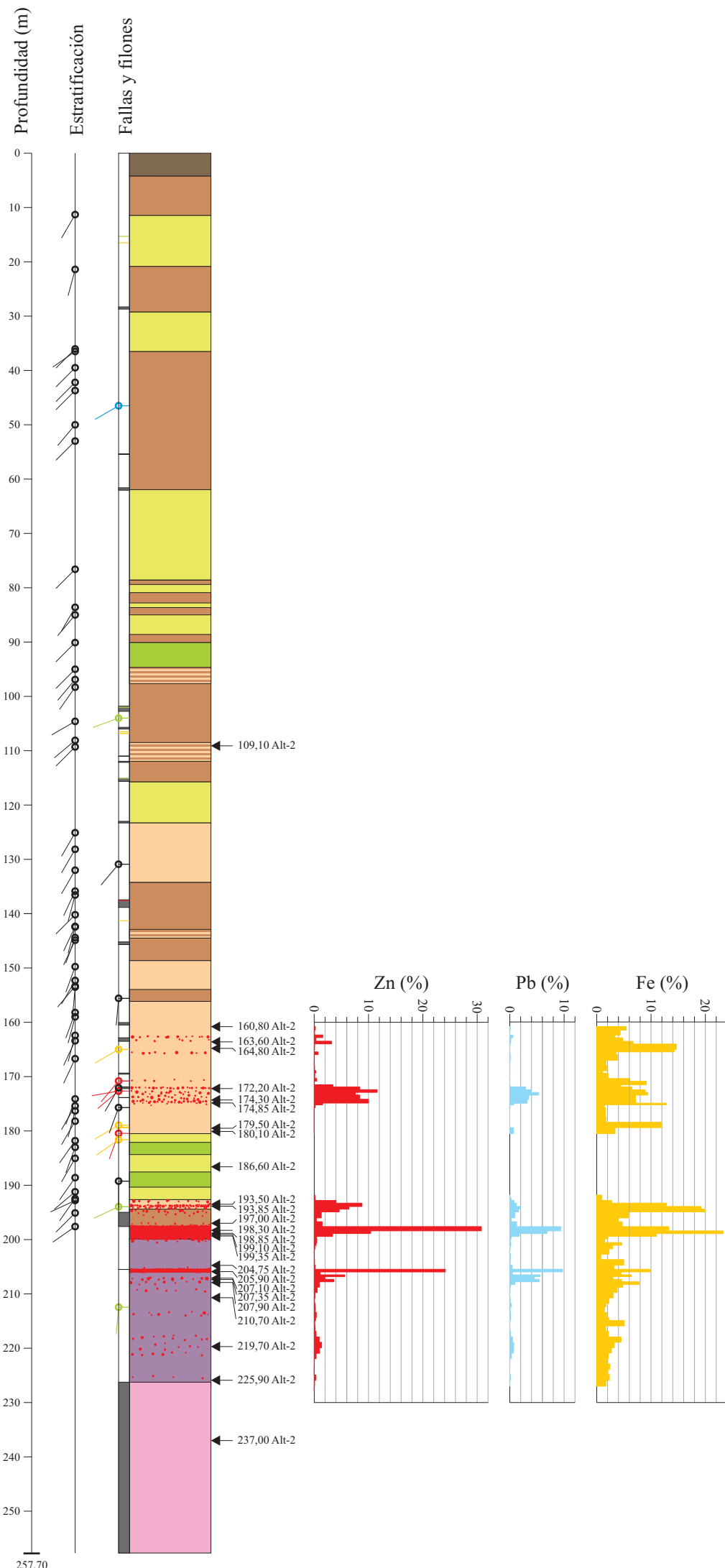
Ángulo respecto al eje del sondeo

- Estratificación
- Falla
- Filón o vena

Altube-2

Inclinación: -60°

Dirección respecto al NM: 158°



Leyenda

Materiales

- Suelo
- Calcarenitas
- Calizas
- Margas
- Lutitas
- Alternancia lutitas-areniscas
- Areniscas
- Microconglomerados
- Alteración peridiapírica
- Diapiro

Diseminaciones

- 10 - 20% esfalerita
- 5 - 10% esfalerita
- 1 - 5% esfalerita
- Trazas de esfalerita

Filones o venas

(potencia milimétrica - centimétrica)

- Esfalerita y/o galena (\pm calcita, cuarzo, pirita)
- Pirita (\pm calcita, cuarzo)
- Cuarzo (\pm calcita)
- Calcita

Fracturas

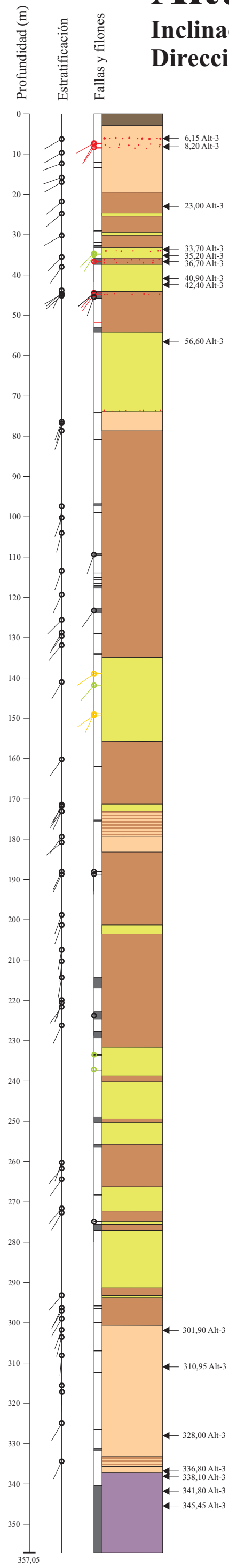
- Fallas
- Zonas fracturadas

Ángulo respecto al eje del sondeo

- Estratificación
- Falla
- Filón o vena

Altube-3

Inclinación: -60°
Dirección respecto al NM: 158°



Leyenda

Materiales

- Suelo
- Calcarenitas
- Calizas
- Margas
- Lutitas
- Alternancia lutitas-areniscas
- Areniscas
- Microconglomerados
- Alteración peridiapírica
- Diapiro

Diseminaciones

- 10 - 20% esfalerita
- 5 - 10% esfalerita
- 1 - 5% esfalerita
- Trazas de esfalerita

Filones o venas (potencia milimétrica - centimétrica)

- Esfalerita y/o galena (\pm calcita, cuarzo, pirita)
- Pirita (\pm calcita, cuarzo)
- Cuarzo (\pm calcita)
- Calcita

Fracturas

- Fallas
- Zonas fracturadas

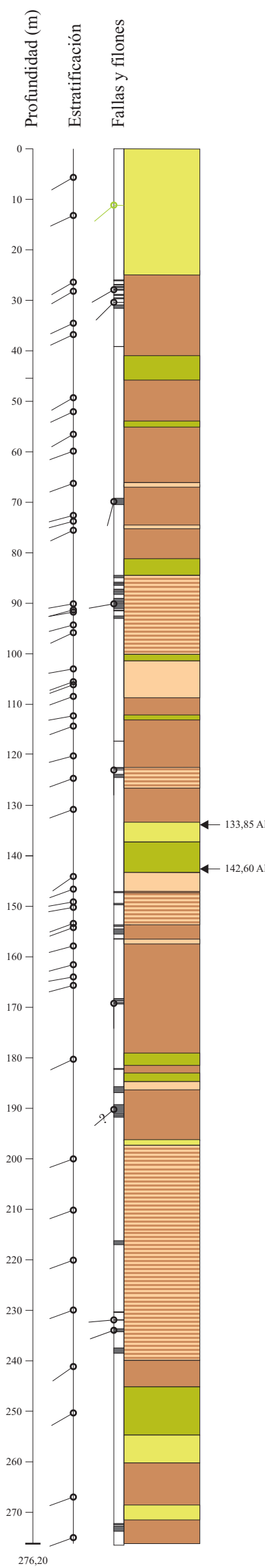
Ángulo respecto al eje del sondeo

- Estratificación
- Falla
- Filón o vena

Altube-4

Inclinación: -60°

Dirección respecto al NM: 150°



Leyenda

Materiales

- Suelo
- Calcareitas
- Calizas
- Margas
- Lutitas
- Alternancia lutitas-areniscas
- Areniscas
- Microconglomerados
- Alteración peridiapírica
- Diapiro

Diseminaciones

- 10 - 20% esfalerita
- 5 - 10% esfalerita
- 1 - 5% esfalerita
- Trazas de esfalerita

Filones o venas

(potencia milimétrica - centimétrica)

- Esfalerita y/o galena (\pm calcita, cuarzo, pirita)
- Pirita (\pm calcita, cuarzo)
- Cuarzo (\pm calcita)
- Calcita

Fracturas

- Fallas
- Zonas fracturadas

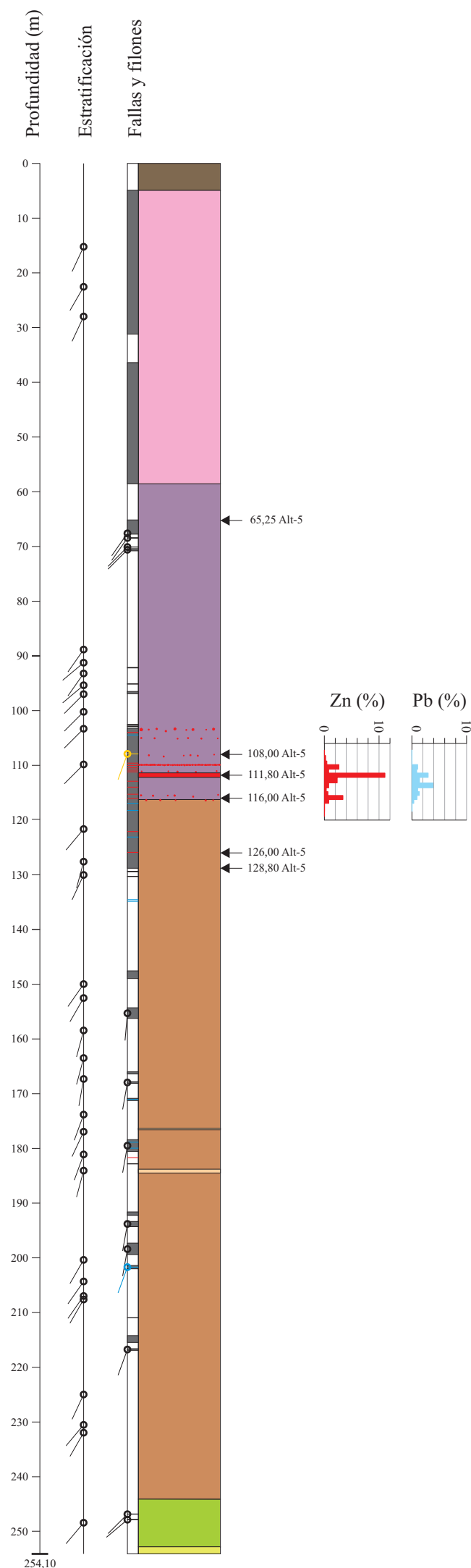
Ángulo respecto al eje del sondeo

- Estratificación
- — Falla
- — Filón o vena

Altube-5

Inclinación: -25°

Dirección respecto al NM:



Leyenda

Materiales

- Suelo
- Calcareñas
- Calizas
- Margas
- Lutitas
- Alternancia lutitas-areniscas
- Areniscas
- Microconglomerados
- Alteración peridiapírica
- Diapiro
- Sulfuros masivos

Diseminaciones

- 10 - 20% esfalerita
- 5 - 10% esfalerita
- 1 - 5% esfalerita
- Trazas de esfalerita

Filones o venas (potencia milimétrica - centimétrica)

- Esfalerita y/o galena (\pm calcita, cuarzo, pirita)
- Pirita (\pm calcita, cuarzo)
- Cuarzo (\pm calcita)
- Calcita

Fracturas

- Fallas
- Zonas fracturadas

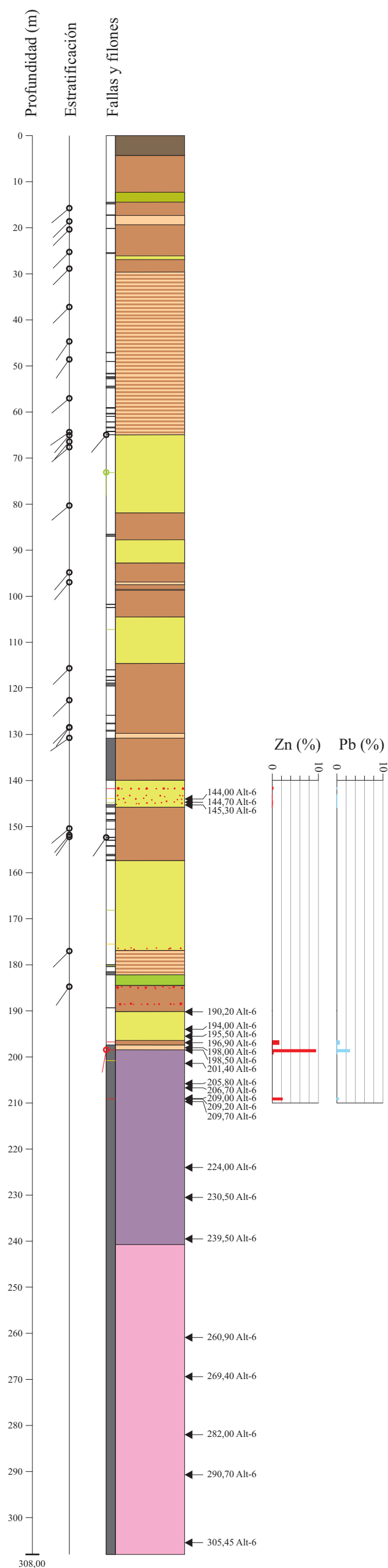
Ángulo respecto al eje del sondeo

- ↗ Estratificación
- ↙ Falla
- ↖ Filón o vena

Altube-6

Inclinación: -34,5°

Dirección respecto al NM: 158°



Leyenda

Materiales

- Suelo
- Calcarenitas
- Calizas
- Margas
- Lutitas
- Alternancia lutitas-areniscas
- Areniscas
- Microconglomerados
- Alteración peridiapírica
- Diapiro

Diseminaciones

- 10 - 20% esfalerita
- 5 - 10% esfalerita
- 1 - 5% esfalerita
- Trazas de esfalerita

Filones o venas

(potencia milimétrica - centimétrica)

- Esfalerita y/o galena (\pm calcita, cuarzo, pirita)
- Pirita (\pm calcita, cuarzo)
- Cuarzo (\pm calcita)
- Calcita

Fracturas

- Fallas
- Zonas fracturadas

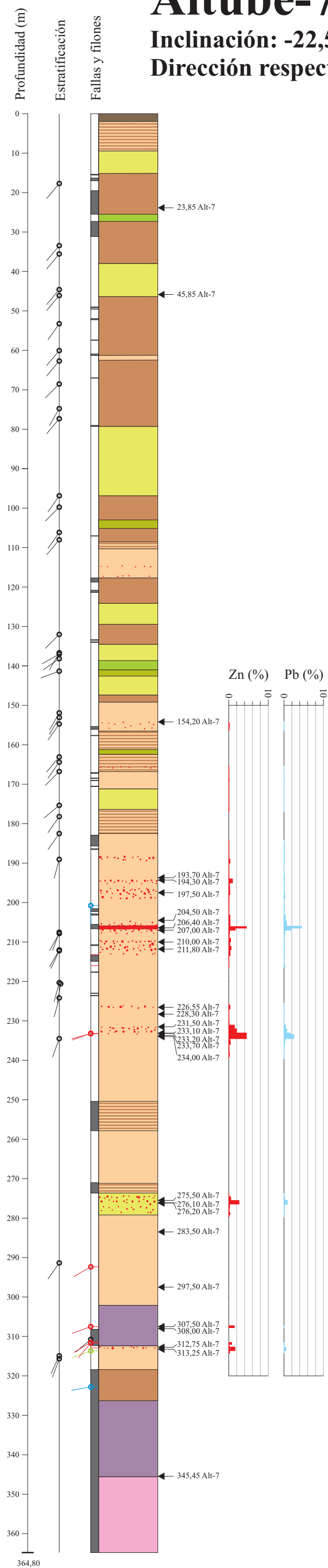
Ángulo respecto al eje del sondeo

- Estratificación
- Falla
- Filón o vena

Altube-7

Inclinación: -22,5°

Dirección respecto al NM: 157°



Leyenda

Materiales

- Suelo
- Calcareitas
- Calizas
- Margas
- Lutitas
- Alternancia lutitas-areniscas
- Areniscas
- Microconglomerados
- Alteración peridiapírica
- Diapiro
- Sulfuros masivos

Diseminaciones

- 10 - 20% esfalerita
- 5 - 10% esfalerita
- 1 - 5% esfalerita
- Trazas de esfalerita

Filones o venas

(potencia milimétrica - centimétrica)

- Esfalerita y/o galena (\pm calcita, cuarzo, pirita)
- Pirita (\pm calcita, cuarzo)
- Cuarzo (\pm calcita)
- Calcita

Fracturas

- Fallas
- Zonas fracturadas

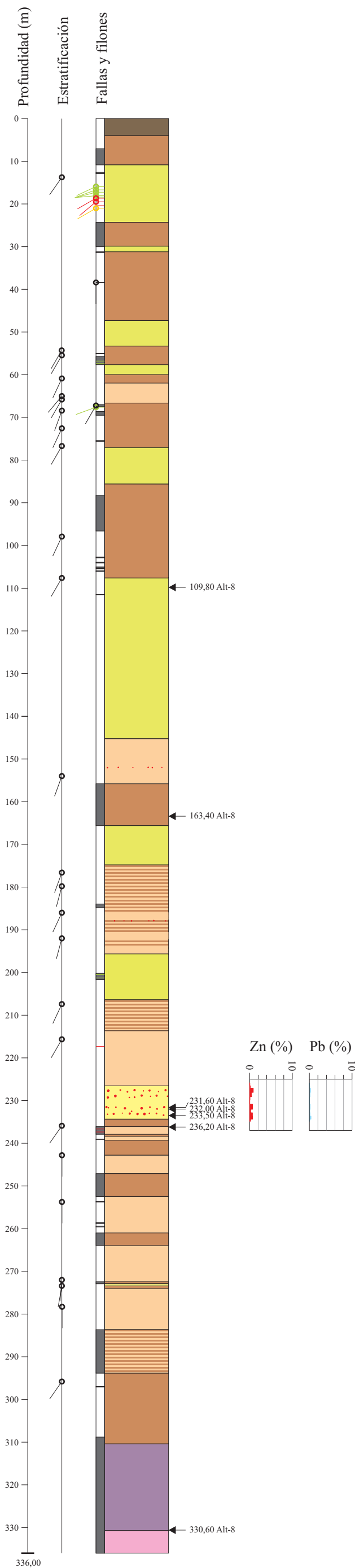
Ángulo respecto al eje del sondeo

- Estratificación
- Falla
- Filón o vena

Altube-8

Inclinación: -69°

Dirección respecto al NM: 142° E



Leyenda

Materiales

- Suelo
- Calcareitas
- Calizas
- Margas
- Lutitas
- Alternancia lutitas-areniscas
- Areniscas
- Microconglomerados
- Alteración peridiapírica
- Diapiro

Diseminaciones

- 10 - 20% esfalerita
- 4,5 - 10% esfalerita
- 1 - 4,5% esfalerita
- Trazas de esfalerita

Filones o venas (potencia milimétrica - centimétrica)

- Esfalerita y/o galena (\pm calcita, cuarzo, pirita)
- Pirita (\pm calcita, cuarzo)
- Cuarzo (\pm calcita)
- Calcita

Fracturas

- Fallas
- Zonas fracturadas

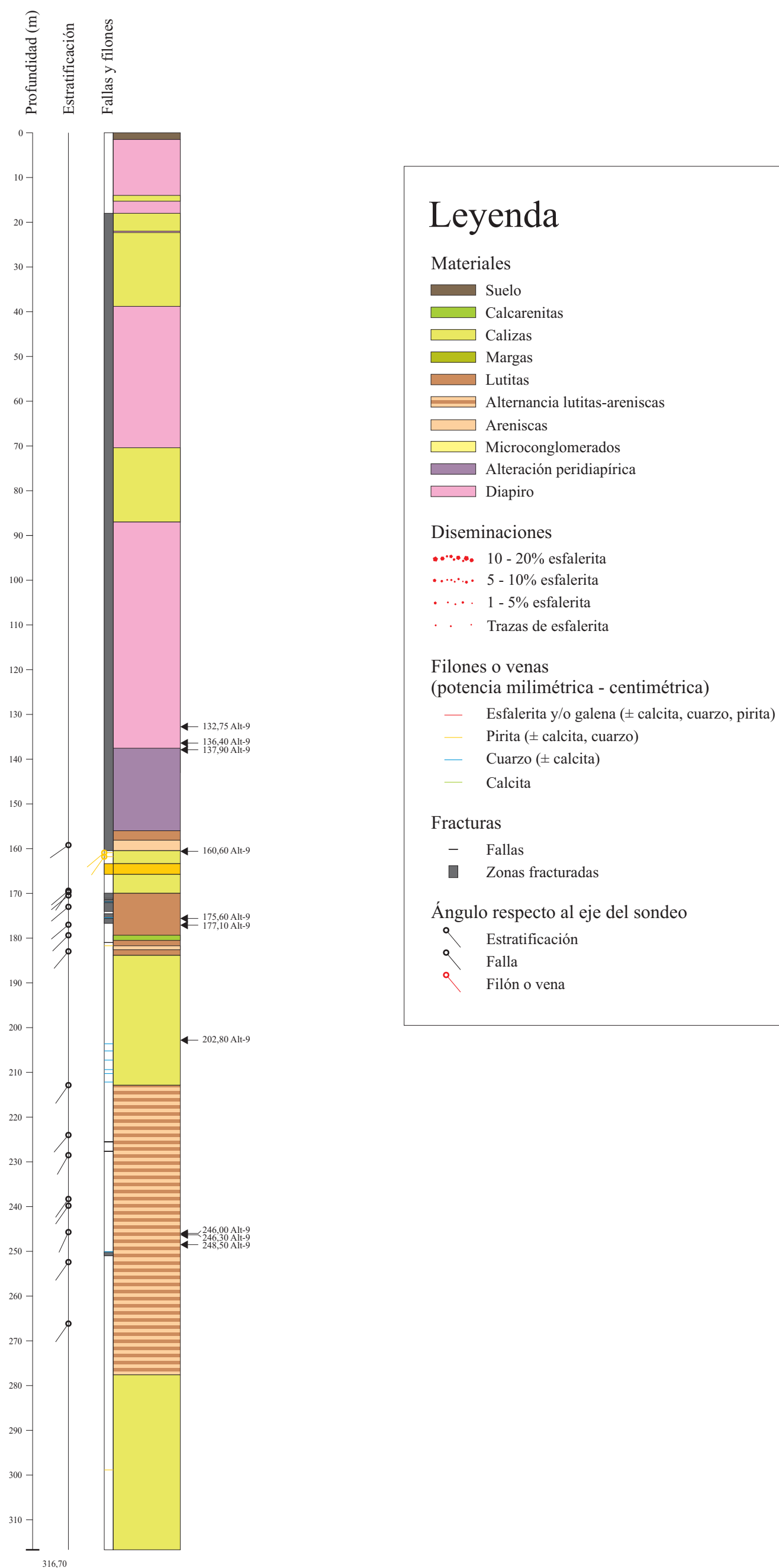
Ángulo respecto al eje del sondeo

- Estratificación
- Falla
- Filón o vena

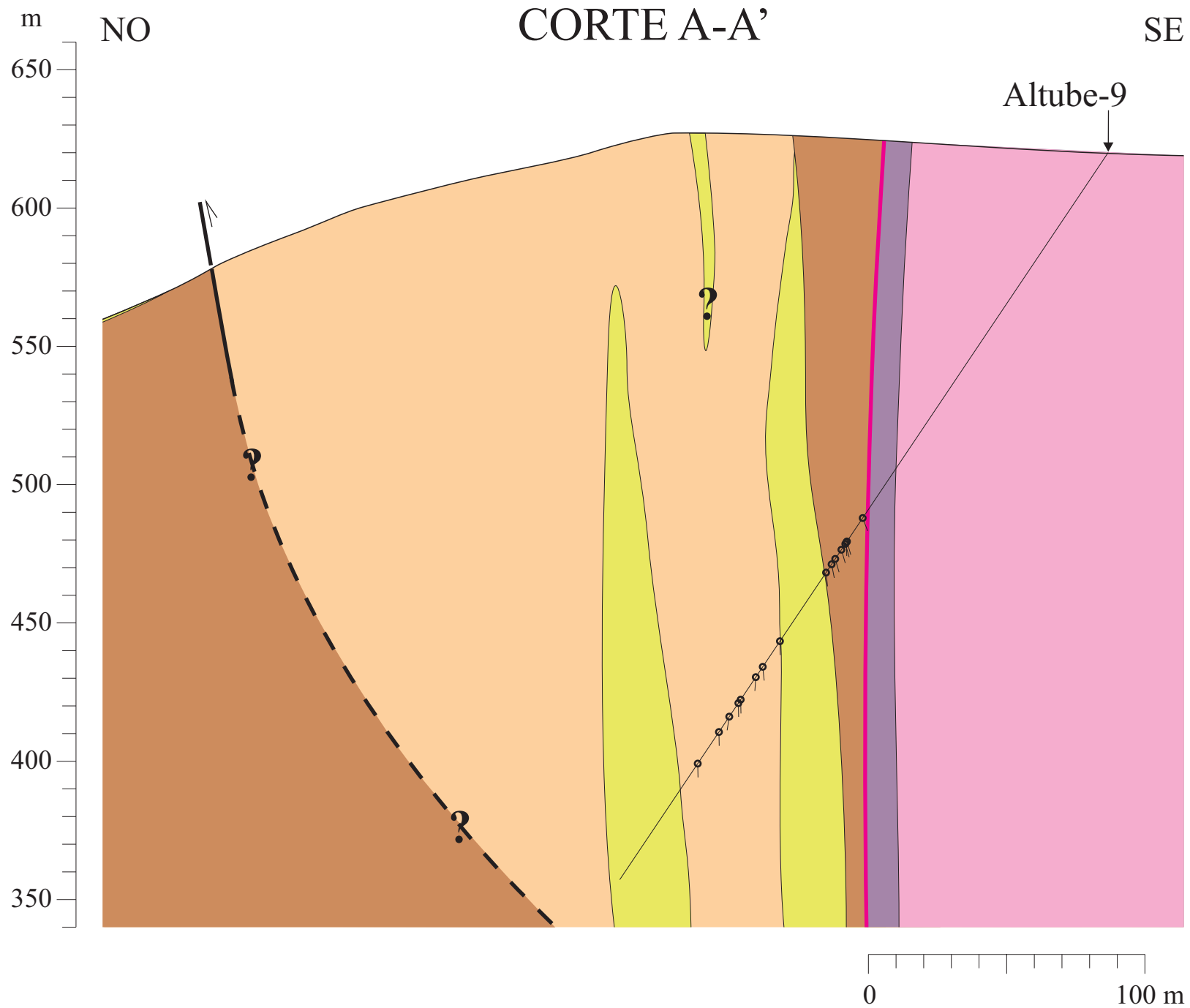
Altube-9

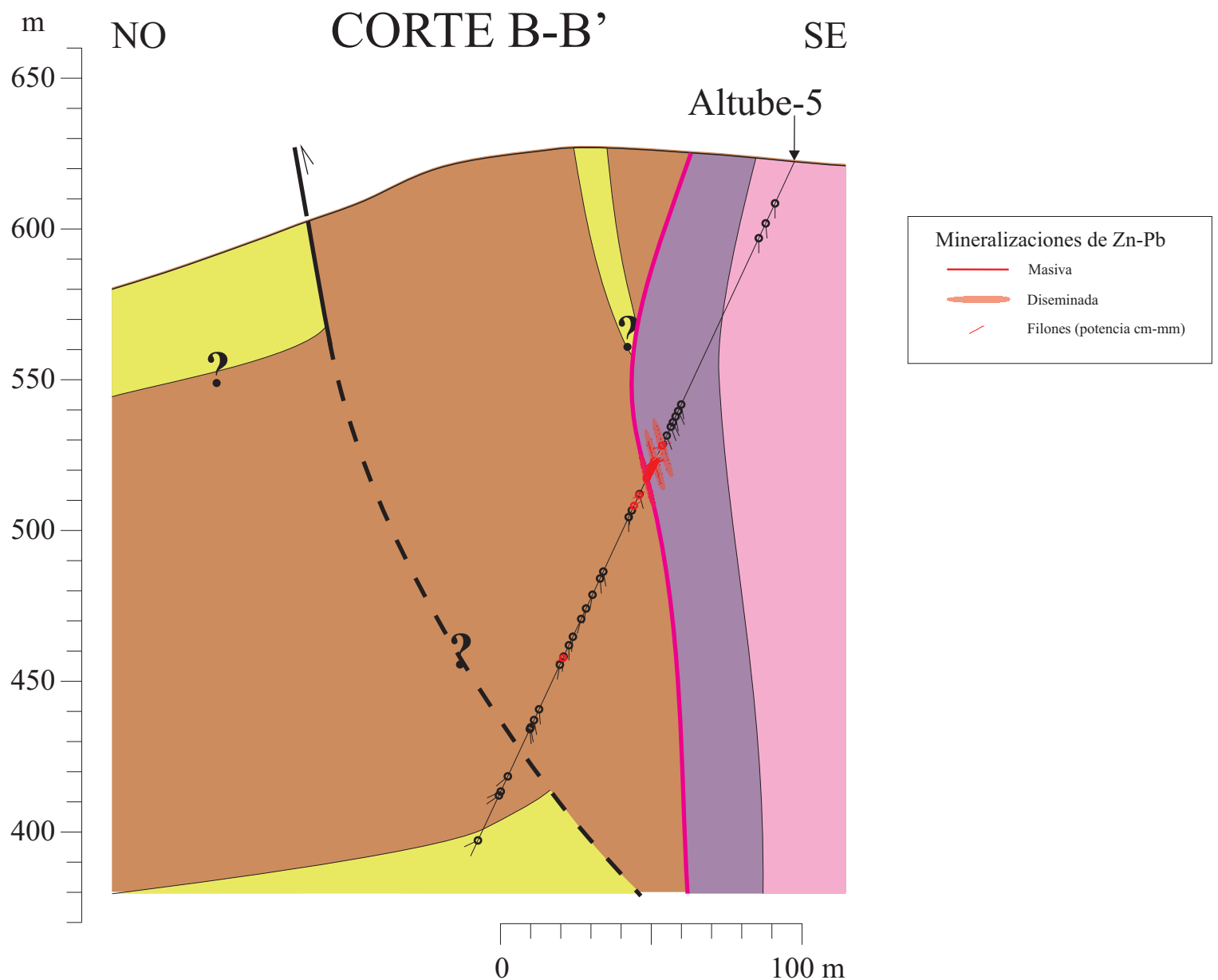
Inclinación: 33,5°

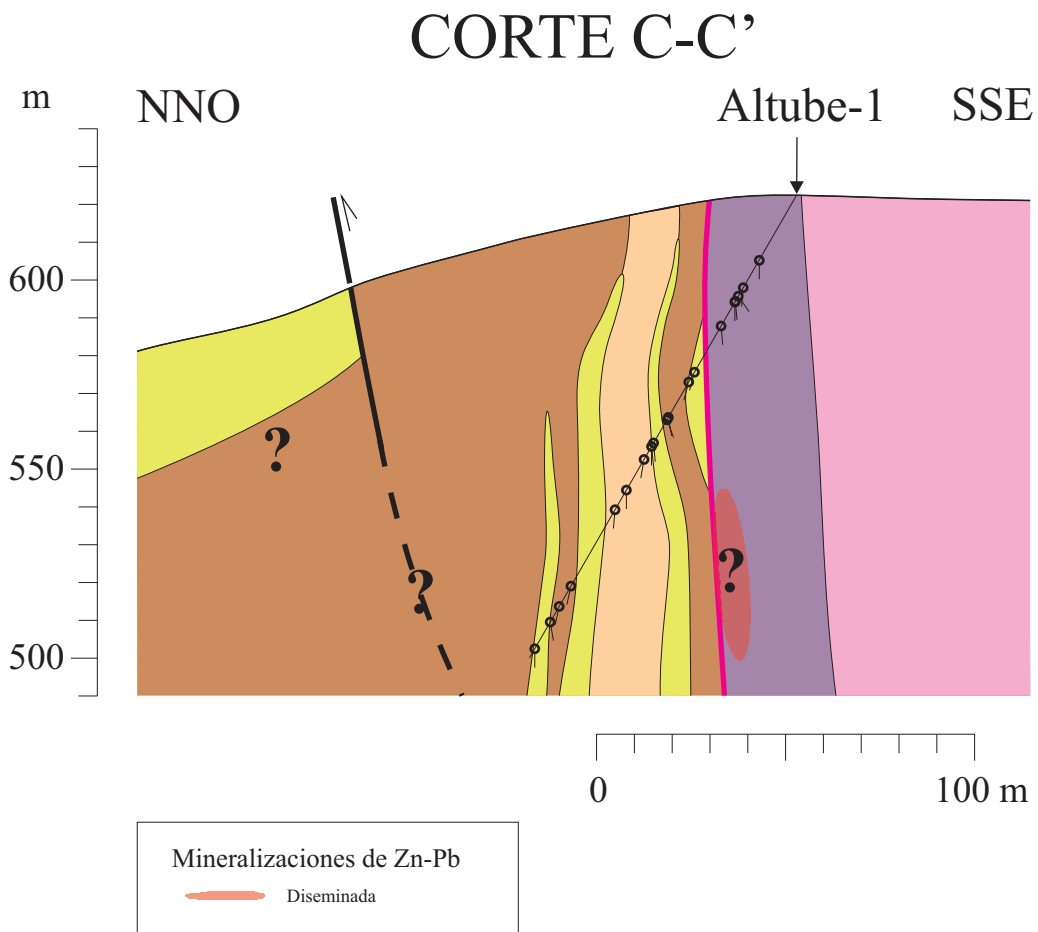
Dirección respecto al NM: 333°

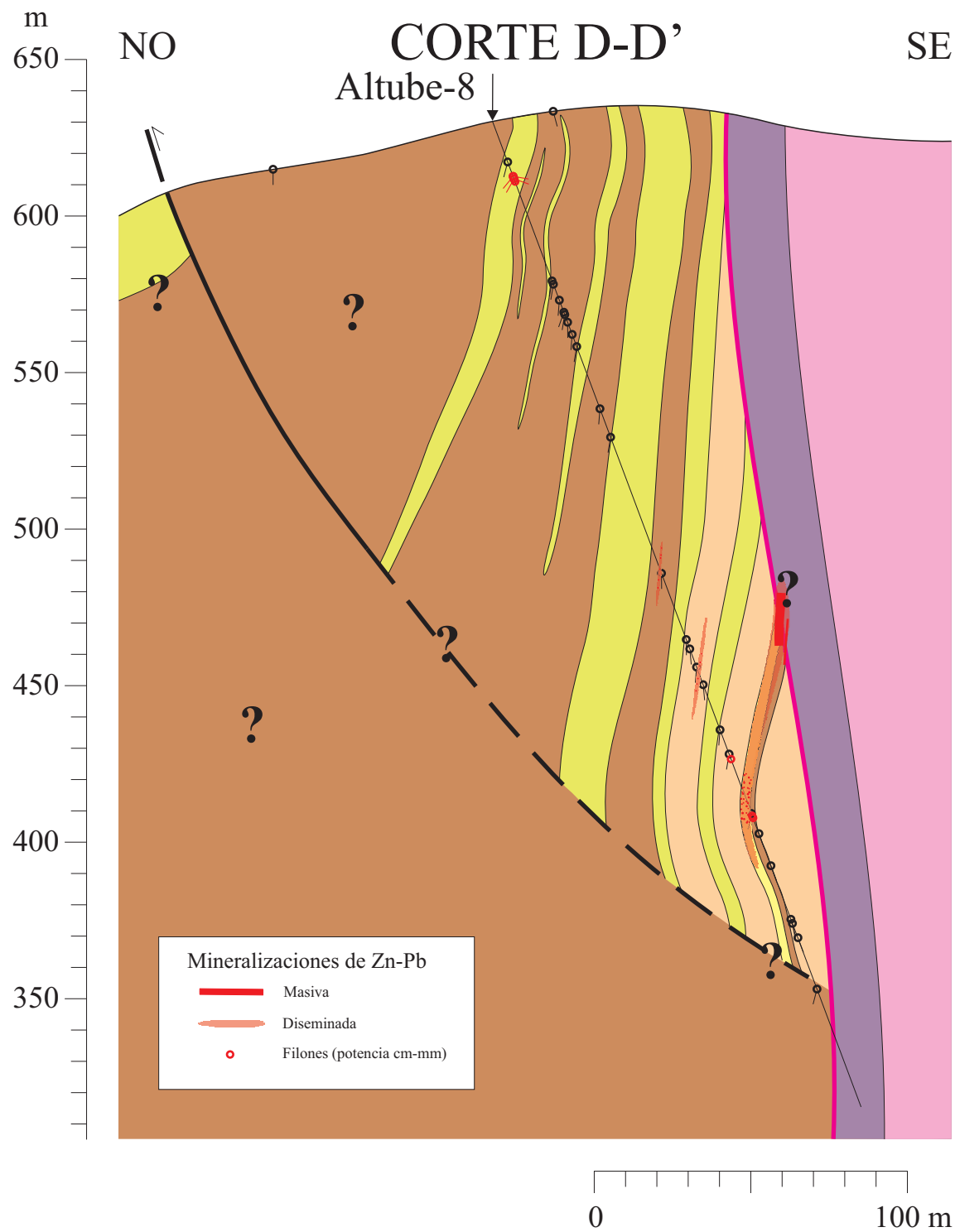


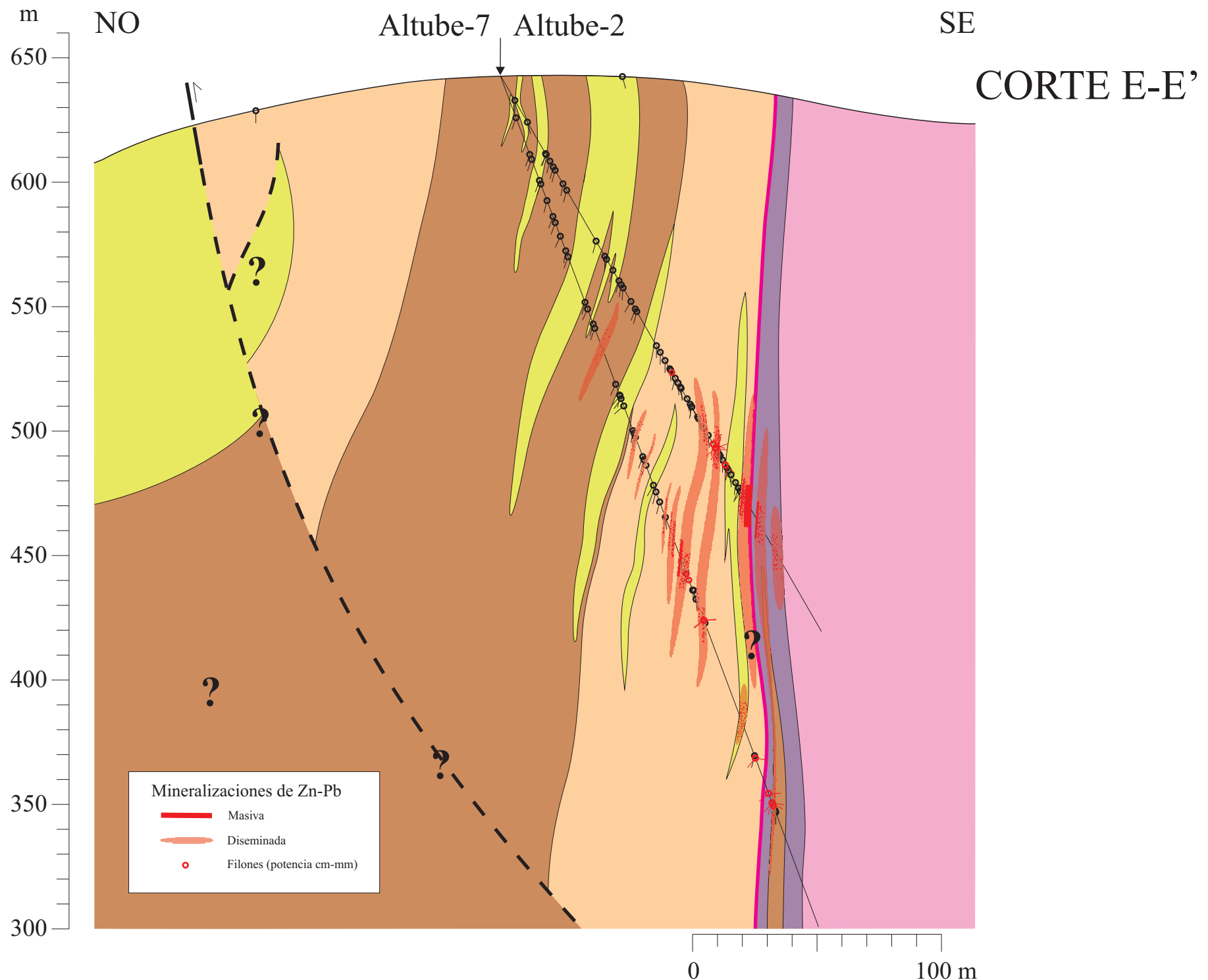
Cortes esquemáticos - Altube



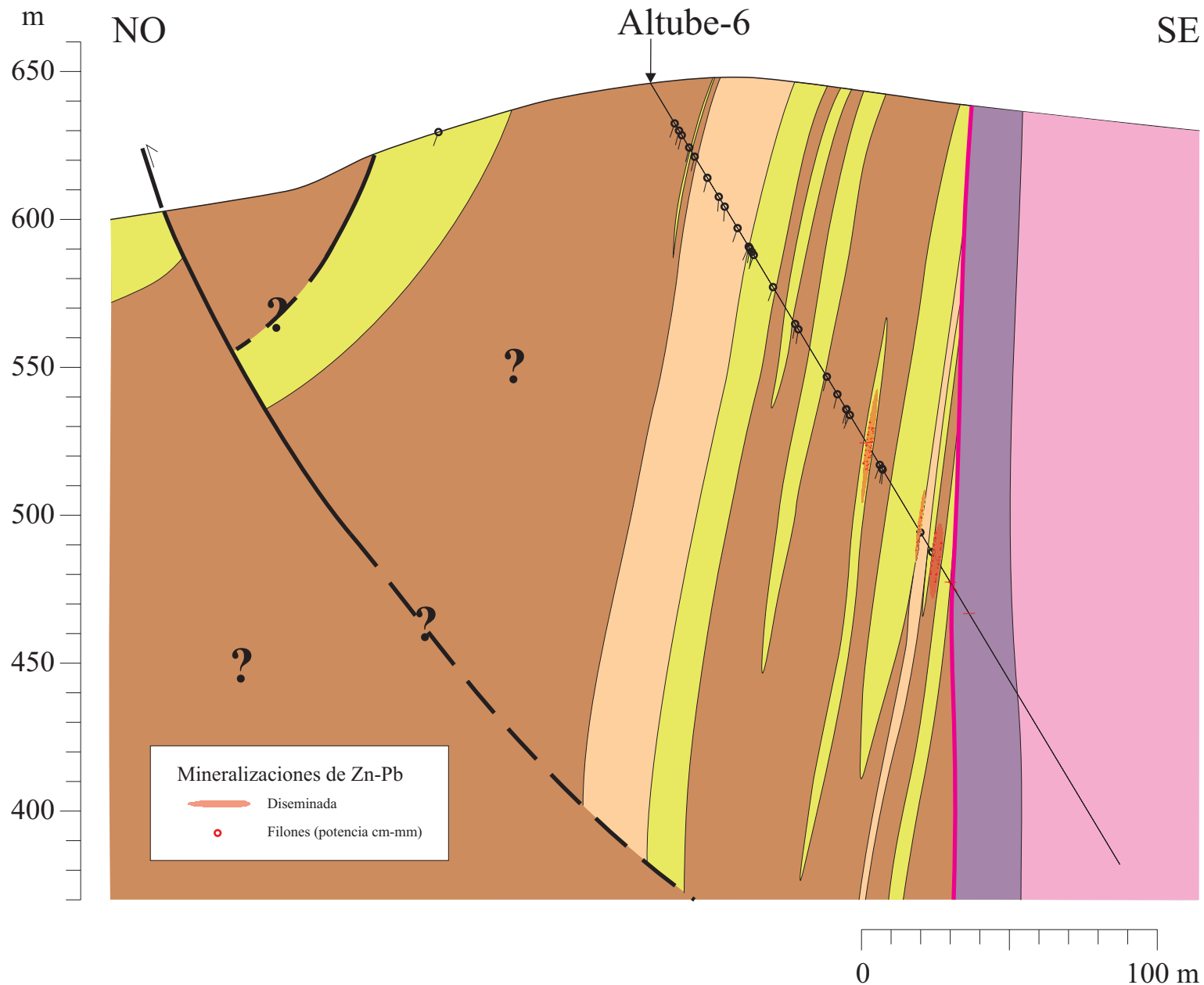








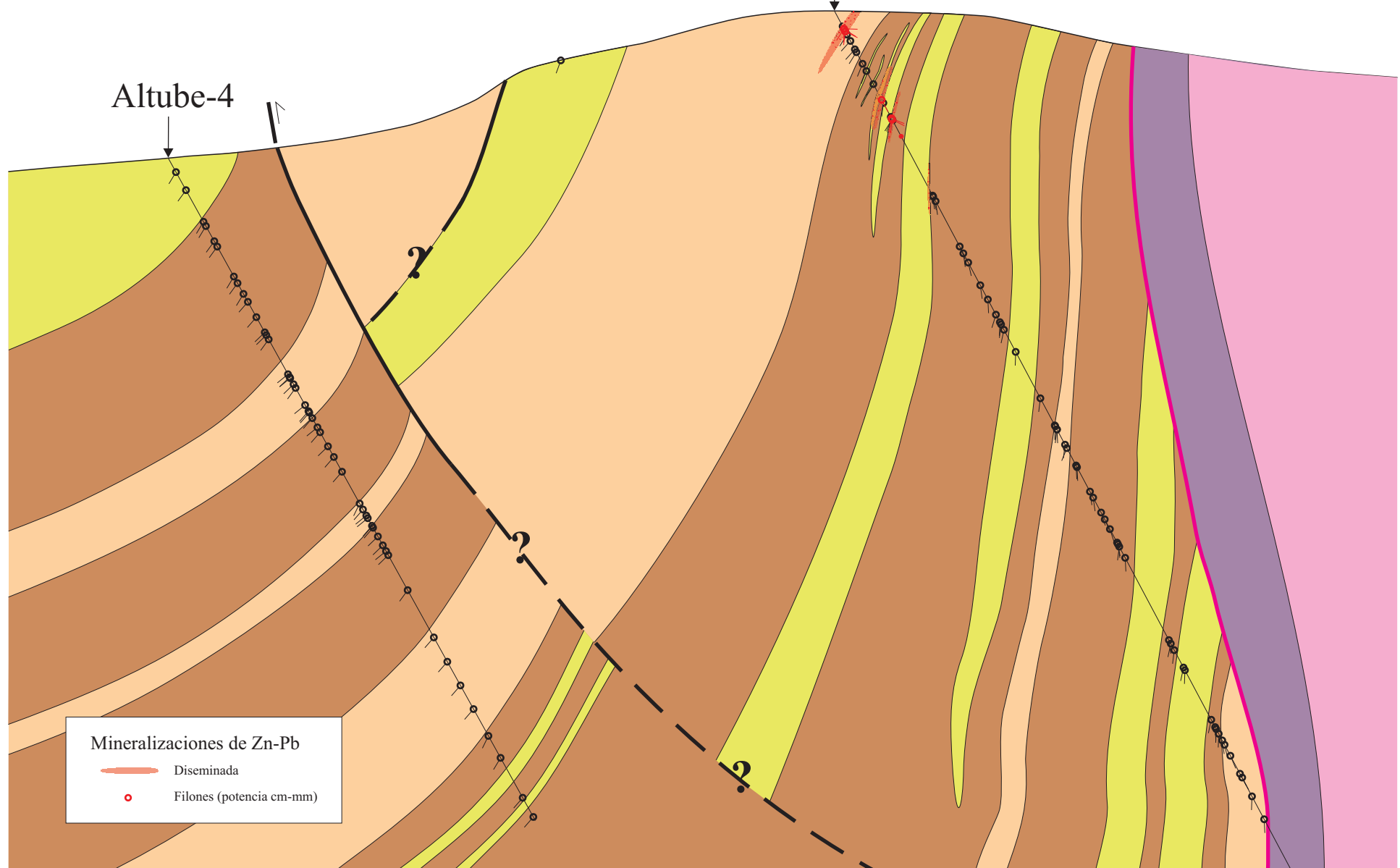
CORTE F-F'



CORTE G-G' Altube-3

NO

SE



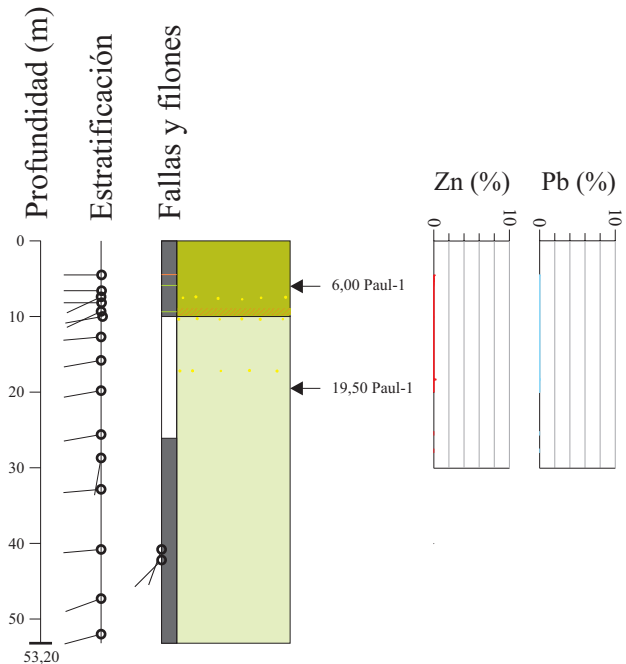
0 100 m

Sondeos – Paúl

Paul-1

Inclinación: 90°

Dirección respecto al NM: 0°



Leyenda

Materiales

- Calizas
- Margocalizas
- Margas
- Zona oxidada

Diseminaciones

- 10 - 20% pirita
- 5 - 10% pirita
- 1 - 5% pirita
- Trazas de pirita

Filones o venas

(potencia milimétrica - centimétrica)

- Óxidos
- Pirita (\pm calcita, cuarzo)
- Cuarzo (\pm calcita)
- Calcita

Fracturas

- Fallas
- Zonas fracturadas

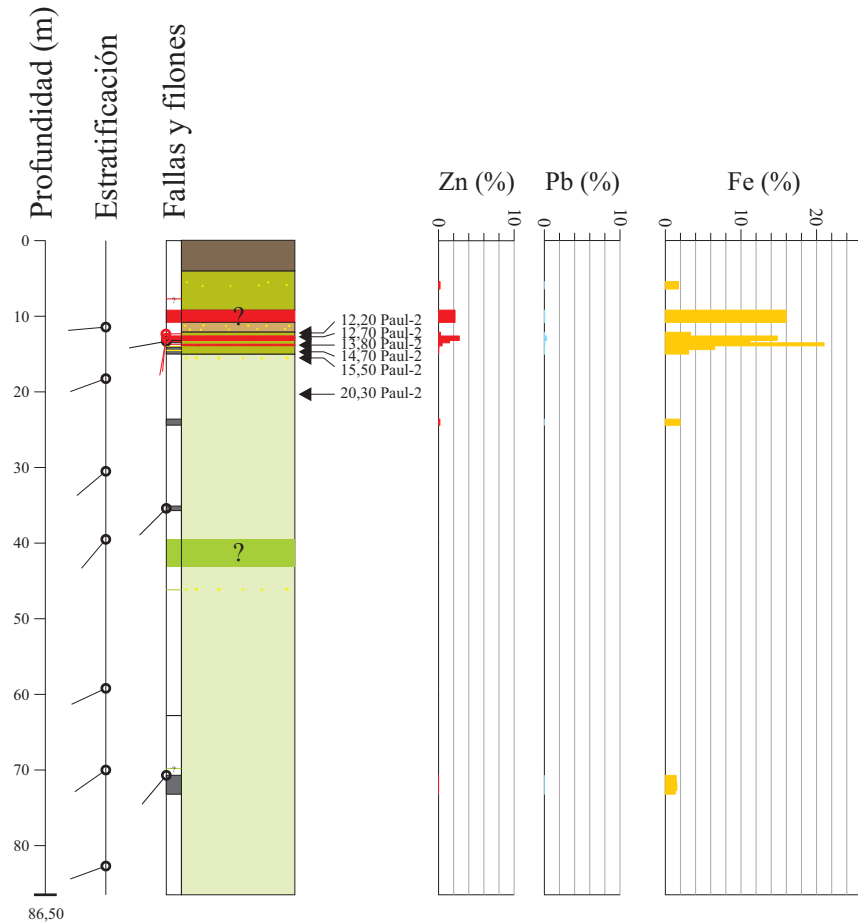
Ángulo respecto al eje del sondeo

- ↙ Estratificación
- ↖ Falla
- ↗ Filón o vena

Paul-2

Inclinación: -60°

Dirección respecto al NM: 30°



Leyenda

Materiales

- Calizas (Yellow)
- Margocalizas (Light Green)
- Margas (Medium Green)
- Sulfuros masivos (Red)

Diseminaciones

- | | |
|------------------|----------------------|
| 10 - 20% pirita | 10 - 20% esfalerita |
| 5 - 10% pirita | 5 - 10% esfalerita |
| 1 - 5% pirita | 1 - 5% esfalerita |
| Trazas de pirita | Trazas de esfalerita |

Filones o venas

- | Potencia milimétrica - centímetrica | Potencia decimétrica - métrica |
|-------------------------------------|---------------------------------|
| Óxidos | Pirita + esfalerita + calcita |
| Pirita (\pm calcita, cuarzo) | Pirita (\pm calcita, cuarzo) |
| Cuarzo (\pm calcita) | Cuarzo (\pm calcita) |
| Calcita | Calcita |

Fracturas

- Fallas
- Zonas fracturadas

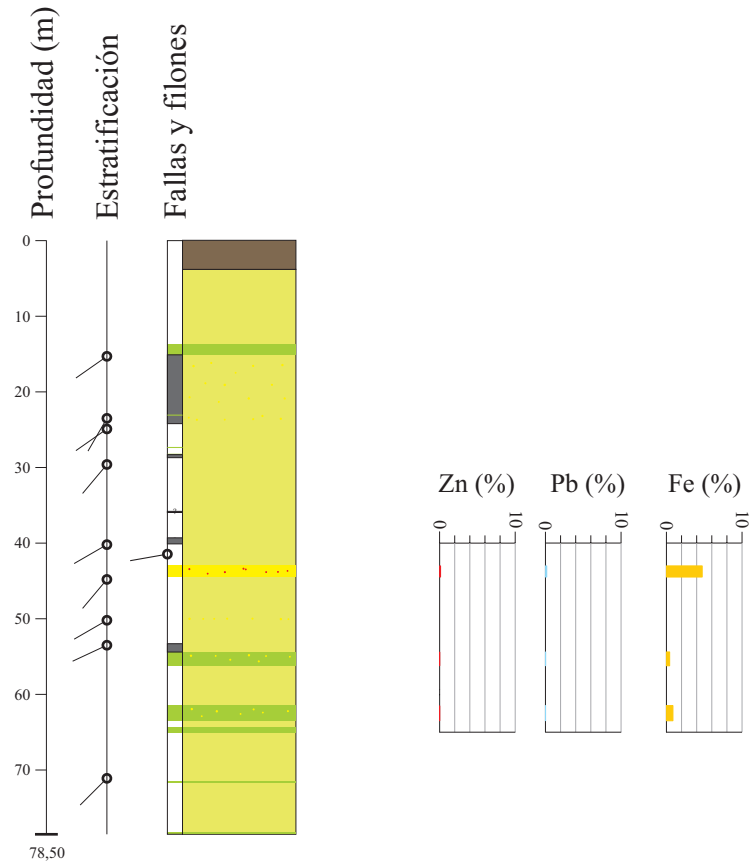
Ángulo respecto al eje del sondeo

- Estratificación
- Falla
- Filón o vena

Paul-3

Inclinación: 32°

Dirección respecto al NM: 26°



Leyenda

Materiales

- Calizas
- Margocalizas
- Margas

Diseminaciones

- | | |
|------------------|----------------------|
| 10 - 20% pirita | 10 - 20% esfalerita |
| 5 - 10% pirita | 5 - 10% esfalerita |
| 1 - 5% pirita | 1 - 5% esfalerita |
| Trazas de pirita | Trazas de esfalerita |

Filones o venas

- | Potencia milimétrica - centímetrica | Potencia decimétrica - métrica |
|-------------------------------------|---------------------------------|
| Óxidos | |
| Pirita (\pm calcita, cuarzo) | Pirita (\pm calcita, cuarzo) |
| Cuarzo (\pm calcita) | Cuarzo (\pm calcita) |
| Calcita | Calcita |

Fracturas

- Fallas
- Zonas fracturadas

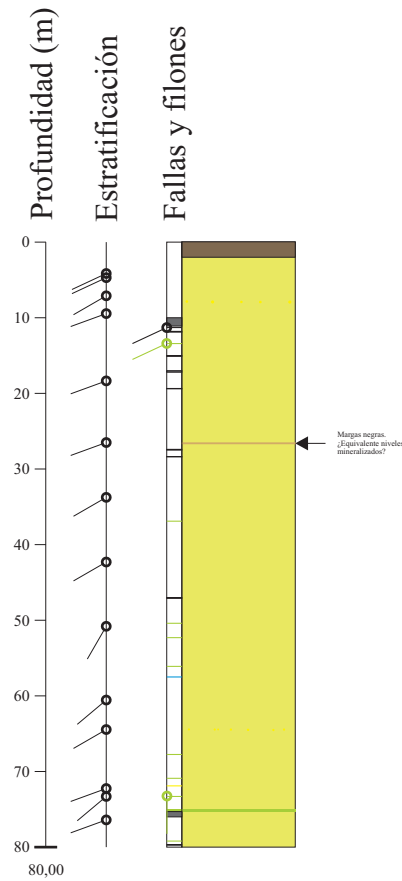
Ángulo respecto al eje del sondeo

- Estratificación
- Falla
- — Filón o vena

Paul-4

Inclinación: 30°

Dirección respecto al NM: 23°



Leyenda

Materiales

- Calizas
- Margocalizas
- Margas

Diseminaciones

- | | |
|------------------|----------------------|
| 10 - 20% pirita | 10 - 20% esfalerita |
| 5 - 10% pirita | 5 - 10% esfalerita |
| 1 - 5% pirita | 1 - 5% esfalerita |
| Trazas de pirita | Trazas de esfalerita |

Filones o venas

- | Potencia milimétrica - centímetrica | Potencia decimétrica - métrica |
|-------------------------------------|---------------------------------|
| Óxidos | |
| Pirita (\pm calcita, cuarzo) | Pirita (\pm calcita, cuarzo) |
| Cuarzo (\pm calcita) | Cuarzo (\pm calcita) |
| Calcita | Calcita |

Fracturas

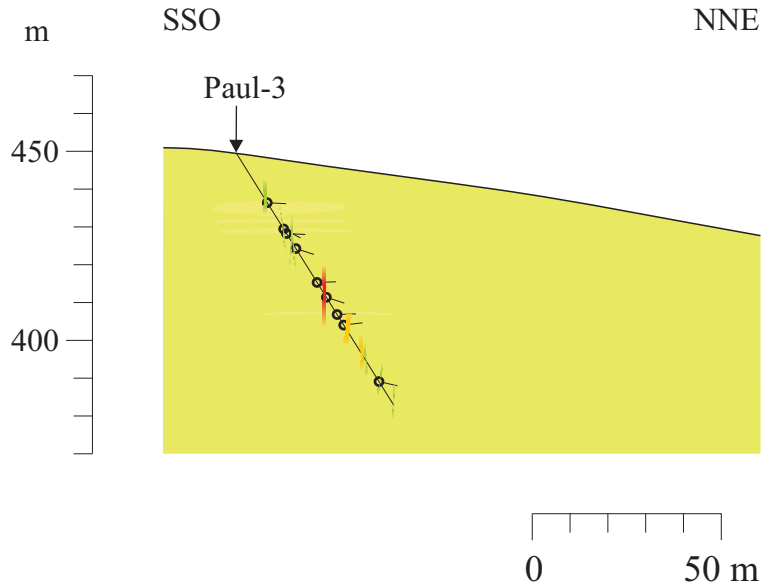
- Fallas
- Zonas fracturadas

Ángulo respecto al eje del sondeo

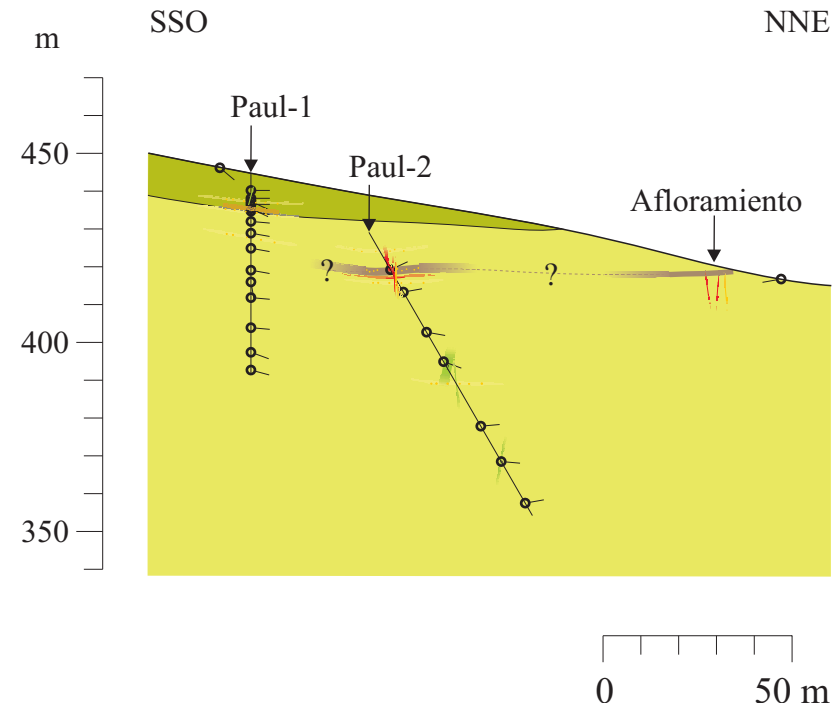
- Estratificación
- Falla
- — Filón o vena

Cortes esquemáticos - Paúl

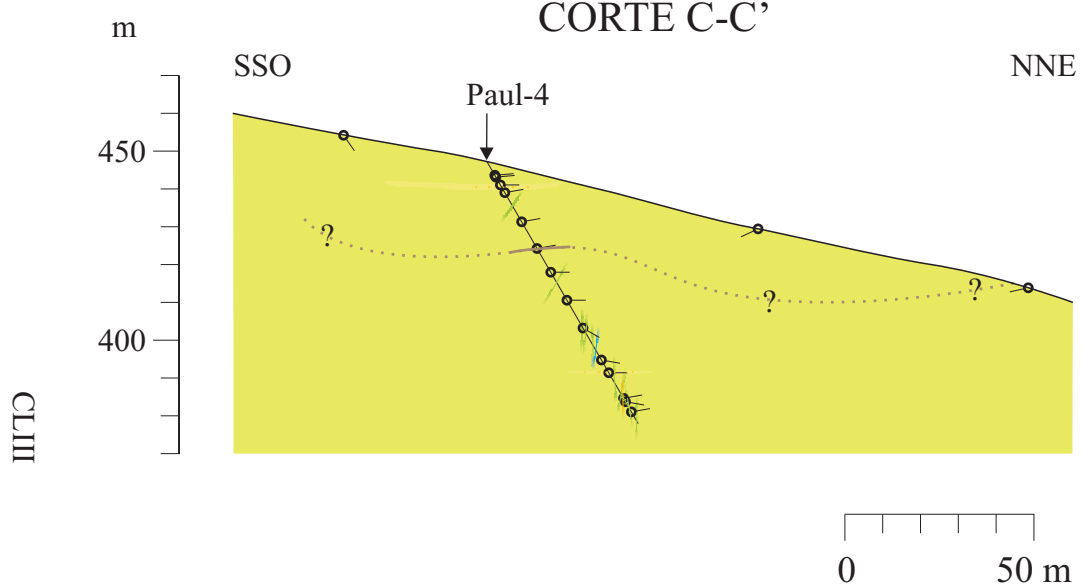
CORTE A-A'



CORTE B-B'



CORTE C-C'



Leyenda

Lutitas negras

Sulfuros masivos (pirita + esfalerita)

Niveles de pirita diseminada

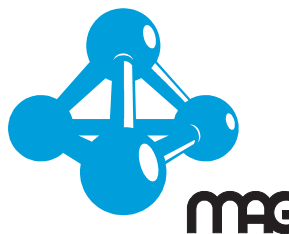
Filones:

Calcita y/o dolomita

Pirita + carbonatos

Cuarzo (\pm calcita)

Esfalerita + pirita + carbonatos



Grup de
MINERALOGIA APLICADA
I GEOQUÍMICA DE FLUIDS



idaea Institut de
Diagnòstic Ambiental
i Estudis de l'Aigua

<http://www.ub.edu/minegeo/>